

การกำจัดฮาร์โมนิกที่ไม่ต้องการของดิจิทัลคอมบ์ฟิลเตอร์
โดยโมเมนต์ของราก

SPECIFIED HARMONIC REMOVAL OF DIGITAL COMB FILTER BY ROOT
MOMENTS

เพ็ญฤดี ตังสมารพงษ์

PENRUEDEE THANGSOMVORAPONG

วิทยานิพนธ์นี้เป็นส่วนหนึ่งของการศึกษาค้นคว้าเพื่อสำเร็จปริญญาวิทยาศาสตรมหาบัณฑิต
สาขาวิชาวิศวกรรมการวัดคุม
บัณฑิตวิทยาลัย

สถาบันเทคโนโลยีพระจอมเกล้าเจ้าคุณทหารลาดกระบัง

พ.ศ. ๒๕๔๖

ISBN 974-824-783-5

การกำจัดฮาร์โมนิกที่ไม่ต้องการของดิจิทัลคอมบ์ฟิลเตอร์โดยโมเมนต์ของราก

SPECIFIED HARMONIC REMOVAL OF DIGITAL COMB FILTER BY ROOT
MOMENTS



เพ็ญฤดี ตั้งสมวรพงษ์

PENRUEDEE THANGSOMVORAPONG

เลขหมู่.....
เลขทะเบียน 48386
วัน, เดือน, ปี 24 มี.ค. 2546

| |
|---------|
| .b..... |
| .i..... |

วิทยานิพนธ์นี้เป็นส่วนหนึ่งของการศึกษาตามหลักสูตรปริญญาวิศวกรรมศาสตรมหาบัณฑิต

สาขาวิชาวิศวกรรมการวัดคุม

บัณฑิตวิทยาลัย

สถาบันเทคโนโลยีพระจอมเกล้าเจ้าคุณทหารลาดกระบัง

พ.ศ. 2546

ISBN 974-324-733-5

**SPECIFIED HARMONIC REMOVAL OF DIGITAL COMB FILTER BY ROOT
MOMENTS**

PENRUEDEE THANGSOMVORAPONG

**A THESIS SUBMITTED IN PARTIAL FULFILLMENT
OF THE REQUIREMENTS FOR THE DEGREE OF
MASTER OF ENGINEERING IN INSTRUMENTATION ENGINEERING
SCHOOL OF GRADUATE STUDIES
KING MONGKUT'S INSTITUTE OF TECHNOLOGY LADKRABANG**

2003

ISBN 974-324-733-5

COPYRIGHT 2003

SCHOOL OF GRADUATE STUDIES

KING MONGKUT'S INSTITUTE OF TECHNOLOGY LADKRABANG

บัณฑิตวิทยาลัย
สถาบันเทคโนโลยีพระจอมเกล้าเจ้าคุณทหารลาดกระบัง
ใบรับรองวิทยานิพนธ์

หัวข้อวิทยานิพนธ์ การกำจัดฮาร์โมนิกที่ไม่ต้องการของดิจิทัลคอมบ์ฟิลเตอร์โดยโมเมนต์ของราก
SPECIFIED HARMONIC REMOVAL OF DIGITAL COMB FILTER BY
ROOT MOMENTS
ชื่อนักศึกษา นางสาวเพ็ญฤดี ตั้งสมรพงษ์
รหัสประจำตัว 43061405
ปริญญา วิศวกรรมศาสตรมหาบัณฑิต
สาขาวิชา วิศวกรรมการวัดคุม
อาจารย์ผู้ควบคุมวิทยานิพนธ์ รศ.ดร.ฟูศักดิ์ ชิวสุวิทย์

| คณะกรรมการสอบวิทยานิพนธ์ | | ลายมือชื่อ |
|--------------------------|----------------|------------|
| รศ.วิทยา | ทิพย์สุวรรณพร | |
| ผศ.ดร.ธนิตย์ | ตรีสุวรรณวัฒน์ | |
| รศ.พิพัฒน์ | เลาหงคราม | |
| รศ.ดร.กอบชัย | เดชหาญ | |
| รศ.ดร.ฟูศักดิ์ | ชิวสุวิทย์ | |

วัน/เดือน/ปี ที่สอบ 29 กรกฎาคม 2546 เวลา 14.00-16.00 น.

สถานที่สอบ ณ อาคาร 12 ชั้น ชั้น 4 (ห้อง E12-403)

บัณฑิตวิทยาลัยรับรองแล้ว

(รศ.ดร.บุญวัฒน์ อัทชู)
คณบดีบัณฑิตวิทยาลัย

วันที่.....1.....เดือน.....กุมภาพันธ์.....พ.ศ.....๒546.....

| | |
|-----------------------------|---|
| หัวข้อวิทยานิพนธ์ | การกำจัดฮาร์โมนิกที่ไม่ต้องการของดิจิทัลคอมบ์ฟิลเตอร์โดย โมเมนต์ของราก |
| นักศึกษา | นางสาวเพ็ญฤดี ตั้งสมรพงษ์ |
| รหัสประจำตัว | 43061405 |
| ปริญญา | วิศวกรรมศาสตรมหาบัณฑิต |
| พ.ศ. | 2546 |
| สาขาวิชา | วิศวกรรมการวัดคุม |
| อาจารย์ผู้ควบคุมวิทยานิพนธ์ | รศ.ดร. พุศศักดิ์ ชีวสุวิทย์ |

บทคัดย่อ

ในปัจจุบันการประมวลผลสัญญาณดิจิทัลได้รับความนิยมมากขึ้น การออกแบบดิจิทัลฟิลเตอร์ก็ได้พัฒนาขึ้นอย่างรวดเร็วเช่นกันเนื่องจากเป็นองค์ประกอบหลักของงานดังกล่าว ดิจิทัลคอมบ์ฟิลเตอร์ก็เป็นดิจิทัลฟิลเตอร์ประเภทหนึ่งซึ่งได้ถูกนำมาใช้อย่างแพร่หลายเนื่องจากทำหน้าที่คัดกรองและแยกสัญญาณที่มีลักษณะที่เป็นฮาร์โมนิก ดังนั้นจึงมีความจำเป็นอย่างยิ่งที่จะต้องพัฒนาวิธีการและปรับปรุงการออกแบบฟิลเตอร์ประเภทนี้เพื่อให้สามารถใช้งานอย่างมีประสิทธิภาพมากขึ้น

งานวิจัยนี้จึงนำเสนอการออกแบบสัมประสิทธิ์ของดิจิทัลคอมบ์ฟิลเตอร์ซึ่งนำความถี่บางฮาร์โมนิกที่ไม่ต้องการออกไป โดยได้นำวิธีการหาโมเมนต์ของรากเพื่อสร้างสัมประสิทธิ์ที่ต้องการของคอมบ์ฟิลเตอร์ วิธีที่นำเสนอนี้เหมาะสมที่จะใช้ในกรณีความสัมพันธ์ของ 2π และความถี่ฮาร์โมนิกหลักมูลเป็นเศษส่วน

| | |
|-----------------------|---|
| Thesis Title | Specified Harmonic Removal of Digital Comb Filter by Root Moments |
| Student | Miss Penruedee Thangsomvorapong |
| Student ID. | 43061405 |
| Degree | Master of Engineering |
| Programme | Instrumentation Engineering |
| Year | 2003 |
| Thesis Advisor | Assoc. Prof. Dr. Fusak Cheevasuvit |

ABSTRACT

Nowadays, digital signal processing is more and more popular. So, the design algorithm of digital filter is rapidly improved, since it is the main part of the work. Digital comb filter is one kind of digital filter, which is widely used for filtering or separating the desired harmonic frequencies out of interference signals. Therefore, the desired algorithm of filter is essentially improved and developed for higher efficiency.

This thesis, we presents a design algorithm for comb filter coefficients in order to remove some desired harmonic frequencies. The root moment method is used to generate the coefficients of desired comb filter. The proposed method is quite suitable when the relation of 2π and fundamental frequency ω_0 is fractional.

กิตติกรรมประกาศ

วิทยานิพนธ์ฉบับนี้สำเร็จลุล่วงได้ด้วยคำแนะนำและคำปรึกษาเกี่ยวกับงานวิจัยจาก รศ.ดร.พุศกดี ชิวสุวิทย์ ซึ่งเป็นอาจารย์ผู้ควบคุมวิทยานิพนธ์ ผู้วิจัยรู้สึกซาบซึ้งในความอนุเคราะห์จากท่าน และขอกราบขอบพระคุณเป็นอย่างสูง

ขอขอบคุณ รศ. สักกริยา ชิตวงษ์ และเพื่อนๆ ผู้ให้คำแนะนำที่ดีต่อผู้วิจัยเสมอมา

ขอขอบคุณบิดามารดาของผู้วิจัย ผู้ที่เป็นผู้ให้ตลอดชีวิตของท่านและเป็นกำลังใจที่สำคัญของผู้วิจัย

ขอขอบคุณ นายชนะธิป ชำรงวิทยภาคย์ ที่คอยผลักดัน และเป็นพี่ปรึกษาที่ดี

คุณค่าและคุณประโยชน์อันพึงมีจากวิทยานิพนธ์ฉบับนี้ ผู้วิจัยขอมอบแด่ผู้มีพระคุณทุกท่าน

นางสาวเพ็ญฤดี ตั้งสมรพงษ์

สารบัญ

| | หน้า |
|---|------|
| บทคัดย่อภาษาไทย..... | I |
| บทคัดย่อภาษาอังกฤษ..... | II |
| กิตติกรรมประกาศ..... | III |
| สารบัญ..... | IV |
| สารบัญรูป..... | VII |
| บทที่ 1 บทนำ..... | 1 |
| 1.1 ความเป็นมาและความสำคัญของปัญหา..... | 1 |
| 1.2 วัตถุประสงค์ของการศึกษา..... | 1 |
| 1.3 ขั้นตอนของการศึกษา..... | 1 |
| บทที่ 2 การออกแบบดิจิทัลคอมบ์ฟิลเตอร์..... | 3 |
| 2.1 บทนำ..... | 3 |
| 2.2 การออกแบบดิจิทัลคอมบ์ฟิลเตอร์โดยวิธีการวางโพลและซีโร่..... | 3 |
| 2.3 การออกแบบดิจิทัลคอมบ์ฟิลเตอร์โดยการออกแบบตัวหน่วงเวลาเป็น เศษส่วน..... | 6 |
| 2.3.1 การออกแบบโดยใช้ FIR ฟิลเตอร์(FIR:Finite Impulse Response)... | 8 |
| 2.3.2 การออกแบบโดยใช้ออลพาสฟิลเตอร์..... | 11 |
| 2.4 การประยุกต์ใช้..... | 14 |
| 2.4.1 การประยุกต์ใช้ในการบันทึกสัญญาณเสียง..... | 15 |
| 2.4.2 การกำจัดสัญญาณฮาร์โมนิกในการวัดสัญญาณ อิเล็กทรอนิกส์ แกรม..... | 15 |
| บทที่ 3 การหาโมเมนต์ของราก..... | 18 |
| 3.1 บทนำ..... | 18 |
| 3.2 การประมาณค่าโมเมนต์ของรากโดยกระบวนการวนซ้ำ..... | 19 |
| 3.2.1 ข้อสังเกตและผลลัพธ์..... | 21 |
| 3.3 โมเมนต์ของรากและการรวมสัญญาณ..... | 23 |
| 3.4 การประยุกต์ใช้..... | 24 |

สารบัญ(ต่อ)

| | | หน้า |
|---------|---|------|
| | 3.4.1 การหาค่าตัวประกอบเฟสน้อยที่สุด และมากที่สุดของสัญญาณ โดย ไม่ ต้องหาค่ารากของสัญญาณ [2] | 24 |
| | 3.4.2 การแปลงทรานสเฟอ์ฟังก์ชัน..... | 30 |
| | 3.4.3 การตรวจจับการเปลี่ยนแปลงในทันทีของสัญญาณ..... | 32 |
| บทที่ 4 | การกำจัดฮาร์โมนิกที่ไม่ต้องการของดิจิตอลคอมบ์ฟิลเตอร์..... | 34 |
| | 4.1 บทนำ..... | 34 |
| | 4.2 การกำจัดฮาร์โมนิกที่ไม่ต้องการของดิจิตอลคอมบ์ฟิลเตอร์..... | 34 |
| | 4.2.1 การกำจัดฮาร์โมนิกที่ไม่ต้องการของดิจิตอลคอมบ์ฟิลเตอร์เมื่อ D เป็นจำนวนเต็ม..... | 35 |
| | 4.2.2 การกำจัดฮาร์โมนิกที่ไม่ต้องการของดิจิตอลคอมบ์ฟิลเตอร์เมื่อ D ไม่เป็นจำนวนเต็ม..... | 35 |
| | 4.3 การกำจัดฮาร์โมนิกที่ต้องการของดิจิตอลคอมบ์ฟิลเตอร์โดยใช้โมเมนต์ ของราก..... | 36 |
| | 4.4 ผลการทดลอง..... | 39 |
| | 4.4.1 ผลการจำลองการทำงานโดยใช้โปรแกรม MatLab | 39 |
| | 4.4.2 ผลการทดลองโดยใช้ตัวประมวลผลสัญญาณดิจิตอล..... | 43 |
| | 4.5 สรุปผลการทดลอง..... | 48 |
| บทที่ 5 | การประยุกต์ใช้ในงานประเภทอื่นๆ..... | 49 |
| | 5.1 การออกแบบออลพาสฟิลเตอร์ที่มีเฟสดีเลย์ตามต้องการ..... | 49 |
| | 5.2 เอฟเฟกของสัญญาณเสียงดิจิตอล..... | 51 |
| | 5.3 การวิเคราะห์ สัณเคราะห์สัญญาณเสียงจากเครื่องดนตรี..... | 53 |
| | 5.4 การปรับแต่งเอฟไออาร์คอมบ์ฟิลเตอร์..... | 57 |
| บทที่ 6 | สรุปผลการวิจัยและข้อเสนอแนะ..... | 60 |
| | 6.1 สรุปผลการวิจัย..... | 60 |
| | 6.2 ข้อเสนอแนะ..... | 60 |

สารบัญ(ต่อ)

| | หน้า |
|--|------|
| เอกสารอ้างอิง..... | 61 |
| ภาคผนวก..... | 63 |
| ก. บทความที่ได้รับการตีพิมพ์ | 63 |
| ข. โปรแกรมการจำลองผลการทำงาน โดยใช้ Matlab | 68 |
| ค. โปรแกรมการคำนวณสัมประสิทธิ์และฟิลเตอร์ (TMS320C31)..... | 77 |
| ประวัติผู้เขียน..... | 91 |

สารบัญรูป

| รูปที่ | หน้า |
|--|------|
| 2.1 แสดงการวางโพลและซีโรของการออกแบบคอมบ์ฟิลเตอร์โดยวิธีการวางโพล และซีโร..... | 3 |
| 2.2 แสดงผลตอบสนองความถี่ในกรณีที่ $r > R$ | 4 |
| 2.3 แสดงผลตอบสนองความถี่ในกรณีที่ $R > r$ | 4 |
| 2.4 แสดงผลตอบสนองความถี่ของคอมบ์ฟิลเตอร์ที่ออกแบบโดยวิธีการวางโพลและซีโร ($\omega_0 = 0.2\pi, D = 10, R = 0.999$) | 6 |
| 2.5 แสดงผลตอบสนองความถี่ของดิจิทัลคอมบ์ฟิลเตอร์ $H(z) = 1 - z^{-D}$ (เส้นประ) และผลตอบสนองที่ต้องการ $H_d(\omega)$ (เส้นทึบ) โดยที่ $\omega_0 = 0.22\pi$ และ $M = 4$ | 7 |
| 2.6 แสดงผลตอบสนองความถี่ของคอมบ์ฟิลเตอร์ของ $H_c(z)$ โดย $\omega_0 = 0.22\pi$ และ $R = 0.99$ | 8 |
| 2.7 แสดงผลตอบสนองความถี่ของคอมบ์ฟิลเตอร์ออกแบบ z^{-D} โดยใช้วิธีลากรางอินเตอร์โพลแซน..... | 9 |
| 2.8 แสดงผลตอบสนองความถี่ของดิจิทัลคอมบ์ฟิลเตอร์ที่ออกแบบโดยวิธีการออกแบบเอฟไออาร์ฟิลเตอร์ ($\omega_0 = 0.22\pi, R = 0.999, N = 16$)..... | 11 |
| 2.9 แสดงผลตอบสนองความถี่ของดิจิทัลคอมบ์ฟิลเตอร์ที่ออกแบบโดยใช้ฮอลพาสฟิลเตอร์..... | 12 |
| 2.10 แสดงผลตอบสนองความถี่ของดิจิทัลคอมบ์ฟิลเตอร์ออกแบบโดยใช้ฮอลพาสฟิลเตอร์ ($\omega_0 = 0.22\pi, \rho = 0.999, N = 9$) | 14 |
| 2.11 แสดง สัญญาณอิเล็กทรอนิกส์โทรคาร์ดิโอแกรม..... | 15 |
| 2.12 แสดงสัญญาณอิเล็กทรอนิกส์โทรคาร์ดิโอแกรมภายใน 1 คาบเวลา..... | 16 |
| 2.13 แสดงสัญญาณอิเล็กทรอนิกส์โทรคาร์ดิโอแกรม ที่ถูกรบกวน โดยสัญญาณความถี่ไฟเลี้ยง..... | 16 |
| 2.14 แสดงสัญญาณอิเล็กทรอนิกส์โทรคาร์ดิโอแกรม ที่ผ่านการกรองเพื่อกำจัดสัญญาณรบกวน..... | 17 |
| 3.1 แสดงส่วนประกอบเฟสน้อยที่สุด..... | 29 |
| 3.2 แสดงส่วนประกอบเฟสมากที่สุด..... | 30 |
| 3.3 ผลลัพธ์ของสัญญาณเสียงพูด..... | 32 |
| 3.4 แสดง โมเมนต์ของรากของสัญญาณ..... | 33 |
| 4.1 ผลตอบสนองขนาดของดิจิทัลคอมบ์ฟิลเตอร์ซึ่ง $\omega_0 = 0.11\pi$ และ $R = 0.999$ | 39 |
| 4.2 ผลตอบสนองเฟสของดิจิทัลคอมบ์ฟิลเตอร์ซึ่ง $\omega_0 = 0.11\pi$ และ $R = 0.999$ | 39 |

สารบัญรูป(ต่อ)

| รูปที่ | หน้า |
|--|------|
| 4.3 ผลตอบสนองขนาดของคิจิตอลนอร์ชฟิลเตอร์ซึ่ง $\omega_0 = 0.11\pi$ และ $R = 0.999$ | 40 |
| 4.4 แสดงผลตอบสนองขนาดของคิจิตอลคอมบ์ฟิลเตอร์ซึ่ง $\omega_0 = 0.11\pi$ และ $R = 0.999$ และกำจัด ฮาร์โมนิกคู่..... | 40 |
| 4.5 แสดงผลตอบสนองขนาดของคิจิตอลคอมบ์ฟิลเตอร์ซึ่ง $\omega_0 = 0.11\pi$ และ $R = 0.999$ และกำจัด ฮาร์โมนิกคี่..... | 41 |
| 4.6 แสดงผลตอบสนองขนาดของคิจิตอลคอมบ์ฟิลเตอร์ซึ่ง $\omega_0 = 0.11\pi$ และ $R = 0.999$ และกำจัดฮาร์โมนิกที่ 8..... | 42 |
| 4.7 แสดงรูปแบบในการสร้างไอโออาร์ฟิลเตอร์ (Direct Form-I) | 44 |
| 4.8 แสดงพลชาทการคำนวณสัมประสิทธิ์โดยใช้ตัวประมวลผลสัญญาณคิจิตอล..... | 45 |
| 4.9 แสดงผลตอบสนองขนาดของคิจิตอลคอมบ์ฟิลเตอร์เมื่อกำหนดให้ $F_s = 5863$ Hz และ $\omega_0 = 0.11\pi$ (322.5 Hz) | 46 |
| 4.10 แสดงผลตอบสนองเฟสของคิจิตอลคอมบ์ฟิลเตอร์เมื่อกำหนดให้ $F_s = 5863$ Hz และ $\omega_0 = 0.11\pi$ (322.5 Hz) | 46 |
| 4.11 แสดงผลตอบขนาดของคิจิตอลคอมบ์ฟิลเตอร์ที่ตำแหน่งฮาร์โมนิกหลักมูลเมื่อกำ หนดให้ $F_s = 5863$ Hz และ $\omega_0 = 0.11\pi$ (322.5 Hz) | 46 |
| 4.12 แสดงผลตอบเฟสของคิจิตอลคอมบ์ฟิลเตอร์ที่ตำแหน่งฮาร์โมนิกหลักมูลเมื่อกำหนด ให้ $F_s = 5863$ Hz และ $\omega_0 = 0.11\pi$ (322.5 Hz) | 47 |
| 4.13 แสดงผลตอบสนองขนาดของคิจิตอลคอมบ์ฟิลเตอร์เมื่อกำหนดให้ $F_s = 5863$ Hz และ $\omega_0 = 0.11\pi$ (322.5 Hz) และกำจัดฮาร์โมนิกคู่..... | 47 |
| 4.14 แสดงผลตอบสนองขนาดของคิจิตอลคอมบ์ฟิลเตอร์เมื่อกำหนดให้ $F_s = 5863$ Hz และ $\omega_0 = 0.11\pi$ (322.5 Hz) และกำจัดฮาร์โมนิกคี่..... | 47 |
| 4.15 แสดงผลตอบสนองขนาดของคิจิตอลคอมบ์ฟิลเตอร์เมื่อกำหนดให้ $F_s = 5863$ Hz และ $\omega_0 = 0.11\pi$ (3202.5 Hz) และกำจัดฮาร์โมนิกที่ 8..... | 48 |
| 5.1 แสดงผลตอบสนองขนาดของคอมบ์ฟิลเตอร์เมื่อ $\omega_0 = 0.055\pi, R = 0.999$ | 50 |
| 5.2 แสดงผลตอบสนองขนาดของอลพาสฟิลเตอร์เมื่อ $\omega_0 = 0.055\pi, R = 0.999$ | 50 |
| 5.3 แสดงผลตอบสนองเฟสดีเลย์ของอลพาสฟิลเตอร์เมื่อ $\omega_0 = 0.055\pi, R =$ 0.999 | 51 |

สารบัญรูป(ต่อ)

| รูปที่ | หน้า |
|---|------|
| 5.4 แสดงผลตอบสนองเฟสดีเลย์ของออลพาสฟิลเตอร์เมื่อ $R = 0.999$ และกำจัด ฮาร์โมนิกที่..... | 51 |
| 5.5 แสดงผลตอบสนองเฟสดีเลย์ของออลพาสฟิลเตอร์เมื่อ $\omega_0 = 0.055\pi$, $R = 0.999$ ที่เหลือฮาร์โมนิกที่ 4, 8, 12, 16 | 51 |
| 5.6 แสดงระบบการประมวลผลสัญญาณเสียง..... | 52 |
| 5.7 แสดงการสร้าง เอฟเฟกเฟสพิทดัง..... | 52 |
| 5.8 แสดงผลตอบสนองเฟส ณ ตำแหน่งของซี..... | 52 |
| 5.9 แสดงสัญญาณไซน์ที่มีการซัพเพลสไปด้วยค่าต่างๆ a. สัญญาณไซน์ b. สัญญาณไซน์ซัพเพลสไป $\pi/2$ c. สัญญาณไซน์ซัพเพลสไป π d. สัญญาณไซน์ซัพเพลสไป $3\pi/2$ | 53 |
| 5.10 แสดงฟังก์ชันขอบเขตของสัญญาณเสียงจากเครื่องดนตรี a. เซลโล(Cello) b. กีตาร์ (Classical guitar) c. ฟลูต (Flute)d. เฟรนช์ฮอร์น (French horn) | 54 |
| 5.11 แสดงรูปคลื่นที่เกิดจากเครื่องดนตรีชนิดต่างๆ เมื่อเล่นโน้ต A เป็นเวลา 10 มิลลิวินาที a. เซลโล(Cello) b. กีตาร์(Classical guitar) c. ฟลูต (Flute)d. เฟรนช์ฮอร์น (French horn) | 54 |
| 5.12 แสดงโครงสร้างฮาร์โมนิกเมื่อเล่นโน้ต A เป็นเวลา 186 มิลลิวินาที a. เซลโล(Cello) b. กีตาร์(Classical guitar) c. ฟลูต (Flute)d. เฟรนช์ฮอร์น (French horn)..... | 55 |
| 5.13 แสดงสเปกตรัมของเฟรนช์ฮอร์น(8192 จุด) | 56 |
| 5.14 แสดงรูปคลื่นของเฟรนช์ฮอร์น โดยรูป a ไม่มีกรรองฮาร์โมนิกใดๆ รูป b กรรองทุกฮาร์โมนิก รูป c ไม่กรรองฮาร์โมนิกที่ 1 รูป d ไม่กรรองฮาร์โมนิกที่ 2 เมื่อกำหนดให้ ($\omega_0 = 0.02\pi$, $R = 0.999$)..... | 56 |
| 5.15 แสดงตำแหน่งของซีโร่เมื่อต้องการแปลงเป็นฟิลเตอร์อื่นๆ..... | 57 |
| 5.16 แสดงตำแหน่งของซีโร่เมื่อต้องการแปลงเป็นตัวกรองความถี่ต่ำผ่าน เมื่อ $\omega_0 = 0.22\pi$ | 58 |
| 5.17 แสดงตำแหน่งของซีโร่เมื่อต้องการแปลงเป็นตัวกรองความถี่สูงผ่าน เมื่อ $\omega_0 = 0.22\pi$ | 58 |
| 5.18 แสดงตำแหน่งของซีโร่เมื่อต้องการแปลงเป็นตัวกรองความถี่ช่วงความถี่ผ่าน เมื่อ $\omega_0 = 0.22\pi$ | 58 |

บทที่ 1

บทนำ

1.1 ความเป็นมาและความสำคัญของปัญหา

เนื่องจากความสำคัญของดิจิทัลคอมบ์ฟิลเตอร์ ซึ่งนำมาใช้ในการประมวลผลสัญญาณดิจิทัลในงานประเภทต่างๆ เป็นต้นว่าใช้ในการกำจัดสัญญาณรบกวนที่เป็นฮาร์โมนิก การแยกสัญญาณที่มีความถี่แตกต่างกันสองสัญญาณออกจากกัน หรืออาจเป็นส่วนหนึ่งของการจัดการสัญญาณที่มีโครงสร้างเป็นฮาร์โมนิก

ด้วยเหตุนี้จึงมีผู้นำเสนอและศึกษาวิธีการออกแบบดิจิทัลคอมบ์ฟิลเตอร์ชนิดต่างๆ อย่างเช่น เอฟไออาร์(Finite Impulse Response) คอมบ์ฟิลเตอร์ ไอไออาร์(Infinite Impulse Response)คอมบ์ฟิลเตอร์ อแคททิพคอมบ์ฟิลเตอร์ แต่ในวิทยานิพนธ์นี้ได้มุ่งเน้นถึงปัญหาในการออกแบบไอไออาร์คอมบ์ฟิลเตอร์ โดยศึกษาและปรับปรุงการออกแบบและการกำจัดฮาร์โมนิกที่ต้องการ การคำนวณสัมประสิทธิ์ของดิจิทัลไอไออาร์คอมบ์ฟิลเตอร์ในกรณีที่ D ไม่เป็นจำนวนเต็ม (เมื่อ $D = 2\pi / \omega_0$) ซึ่งจากการศึกษาดังกล่าวจะช่วยให้การคำนวณหาสัมประสิทธิ์มีประสิทธิภาพ มีความเหมาะสมในการนำไปสร้างบนตัวประมวลผลสัญญาณดิจิทัล และสะดวกในการแปลงเป็นดิจิทัลฟิลเตอร์ประเภทอื่นๆ

1.2 วัตถุประสงค์ของการศึกษา

1. ศึกษาการออกแบบดิจิทัลคอมบ์ฟิลเตอร์(ไอไออาร์คอมบ์ฟิลเตอร์) วิธีต่างๆ ศึกษาถึงความสัมพันธ์ของการออกแบบแต่ละวิธี
2. ปรับปรุงวิธีการออกแบบ การคำนวณสัมประสิทธิ์ในกรณีต้องการกำจัดฮาร์โมนิกที่ต้องการของดิจิทัลคอมบ์ฟิลเตอร์
3. ศึกษาการนำไปประยุกต์ใช้ในงานต่างๆ

1.3 ขั้นตอนของการศึกษา

มีลำดับขั้นตอนของการศึกษาและรายละเอียดในแต่ละบทดังต่อไปนี้
บทที่ 1 บทนำ

บทที่ 2 การออกแบบดิจิทัลคอมบ์ฟิลเตอร์ กล่าวถึงวิธีการออกแบบดิจิทัลคอมบ์ฟิลเตอร์ (ไอไออาร์คอมบ์ฟิลเตอร์) โดยวิธีต่างๆ และความสัมพันธ์ของแต่ละวิธี

บทที่ 3 การหาโมเมนต์ของราก กล่าวถึงความหมาย การคำนวณหาโมเมนต์ของรากและการนำไปประยุกต์ใช้ในกรณีต่างๆ

บทที่ 4 การกำจัดฮาร์โมนิกที่ไม่ต้องการของดิจิตอลคอมบ์ฟิลเตอร์โดยวิธีโมเมนต์ของราก คือ การปรับปรุงวิธีคำนวณสัมประสิทธิ์ของไอโออาร์ฟิลเตอร์ในการกำจัดฮาร์โมนิกที่ไม่ต้องการ ผลการจำลองการทำงาน และผลการทดลองโดยตัวประมวลผลสัญญาณดิจิตอล

บทที่ 5 การประยุกต์ใช้ กล่าวถึงการนำวิธีดังกล่าวไปประยุกต์ใช้ในงานประเภทต่างๆ

บทที่ 6 สรุปผลการวิจัยและข้อเสนอแนะ กล่าวถึงสรุปผลการวิจัย และข้อเสนอแนะในการนำไปประยุกต์ใช้ในงานประเภทอื่นๆต่อไป

บทที่ 2

การออกแบบดิจิตอลคอมบ์ฟิลเตอร์

2.1 บทนำ

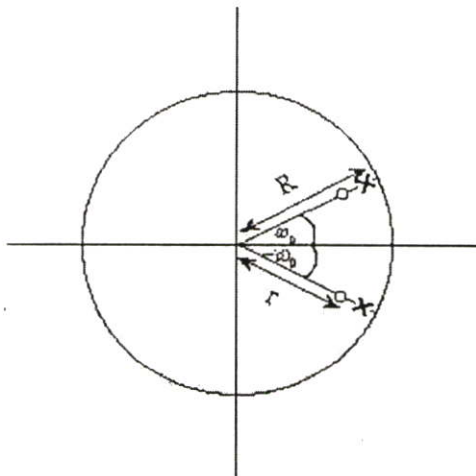
ดิจิตอลคอมบ์ฟิลเตอร์เป็นฟิลเตอร์ประเภทหนึ่งที่ถูกนำไปใช้ในการกรองสัญญาณรบกวนที่มีลักษณะเป็นฮาร์โมนิกหรือนำไปใช้ในการแยกสัญญาณ 2 สัญญาณออกจากกัน โดยที่สัญญาณมีลักษณะเป็นแบนด์แคปๆ

การออกแบบดิจิตอลคอมบ์ฟิลเตอร์สามารถกระทำได้หลายวิธี เช่น วิธีการออกแบบโดยการกำหนดตำแหน่งของโพลและซีโร และวิธีการออกแบบคอมบ์ฟิลเตอร์โดยการออกแบบ z^{-D} แต่ไม่ว่าเป็นการออกแบบโดยวิธีใดๆ ก็ตามจุดสำคัญของการออกแบบก็คือต้องการผลตอบสนองความถี่ของฟิลเตอร์ที่มีผลตอบสนองขนาด (Magnitude Response) ที่ความถี่ฮาร์โมนิกหรือ ความถี่ที่ต้องการกำจัด และอัตราการลดทอน ณ ตำแหน่งของความถี่นั้นต้องมีอัตราการลดทอนที่ต่ำมากหรือขนาดของผลตอบสนองเป็น 0

2.2 การออกแบบดิจิตอลคอมบ์ฟิลเตอร์โดยวิธีการวางโพลและซีโร [1]

เป็นวิธีการออกแบบดิจิตอลคอมบ์ฟิลเตอร์ ที่สามารถออกแบบได้ง่าย ให้ผลตอบสนองความถี่ที่ดี

พิจารณาดำแหน่งของโพลและซีโรของวงกลม 1 หน่วย ดังรูป



รูปที่ 2.1 แสดงการวางโพลและซีโรของการออกแบบคอมบ์ฟิลเตอร์โดยวิธีการวางโพล (X)และซีโร(O)

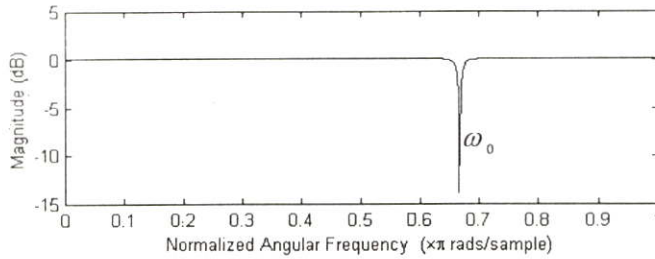
เมื่อ $p_1 = Re^{j\omega_0}$ (2.1)

$$\zeta_2 = re^{j\omega_0} \quad (2.2)$$

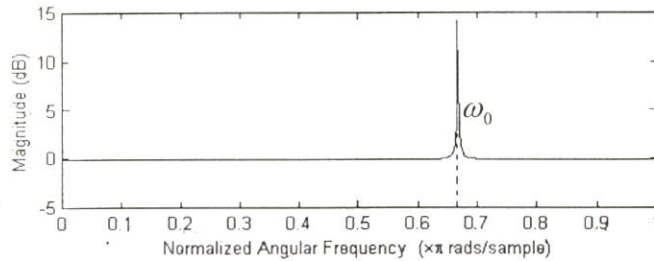
R คือขนาดของโพล

r คือขนาดของซีโร

จากวิธีการดังรูปที่ 2.1 จะให้ผลตอบสนองดังรูปที่ 2.2 ถ้า $r > R$ (โดยทั่วไปให้ $r = 1$) และถ้า $R > r$ (เมื่อ $R \neq 1$) ให้ผลตอบสนองดังรูปที่ 2.3



รูปที่ 2.2 แสดงผลตอบสนองความถี่ในกรณีที่ $r > R$



รูปที่ 2.3 แสดงผลตอบสนองความถี่ในกรณีที่ $R > r$

จากรูปที่ 2.2 ทรานสเฟอ์ฟังก์ชันของวงจรรองเมื่อ $r = 1$ คือ

$$H(z) = \frac{(1 - e^{j\omega_0} z^{-1})(1 - e^{-j\omega_0} z^{-1})}{(1 - Re^{j\omega_0} z^{-1})(1 - Re^{-j\omega_0} z^{-1})} = \frac{1 + b_1 z^{-1} + b_2 z^{-2}}{1 + Rb_1 z^{-1} + R^2 b_2 z^{-2}} \quad (2.3)$$

$$= \frac{N(z)}{N(R^{-1}z)}$$

เมื่อ b_n คือสัมประสิทธิ์ของโพลิโนเมียลของทรานสเฟอ์ฟังก์ชัน

ฉะนั้นเมื่อต้องการสร้างคอมบ์ฟิลเตอร์ที่มีผลตอบสนองขนาดทุกๆ ω_i เพื่อกำจัดสัญญาณที่เป็นฮาร์โมนิก

$$N(z) = \prod_{i=1}^M (1 - e^{j\omega_i} z^{-1}) \quad (2.4)$$

$$P(z) = N(R^{-1} z^{-1}) \quad (2.5)$$

เมื่อ $P(z)$ คือ ส่วนของทรานสเฟอร์ฟังก์ชัน

$$P(z) = \prod_{i=1}^M (1 - R e^{j\omega_i} z^{-1}) \quad (2.6)$$

หรือทรานสเฟอร์ฟังก์ชันของวงจรรองคือ

$$H(z) = \frac{N(z)}{N(R^{-1} z)} \quad (2.7)$$

$$= \frac{1 + b_1 z^{-1} + b_2 z^{-2} + \dots + b_M z^{-M}}{1 + R b_1 z^{-1} + R^2 b_2 z^{-2} + \dots + R^M b_M z^{-M}}$$

$$= \frac{1 + b_1 z^{-1} + b_2 z^{-2} + \dots + b_M z^{-M}}{1 + a_1 z^{-1} + a_2 z^{-2} + \dots + a_M z^{-M}}$$

เมื่อ $a_i = R^i b_i$, $i = 1, 2, \dots, M$

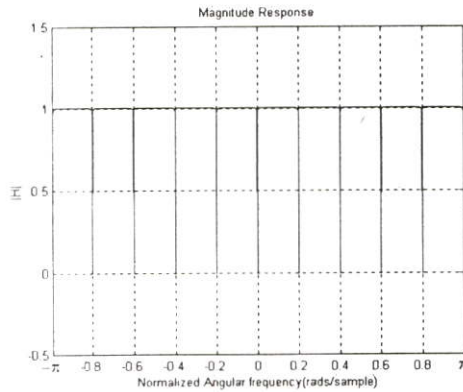
กำหนดให้ $D = 2\pi / \omega_i$ เมื่อ $\omega_i = 2\pi f_i / F_s$ (f_i คือความถี่ฮาร์โมนิก, F_s คือความถี่แซมปลิง) พบว่าเมื่อ D เป็นจำนวนเต็มแล้วทรานสเฟอร์ฟังก์ชันจะอยู่ในรูปแบบดังนี้

$$H(z) = \frac{1 - z^{-D}}{1 - R^D z^{-D}} \quad (2.8)$$

เช่น กำหนดให้ $\omega_0 = 0.2\pi$, $D = 10$ ทรานสเฟอร์ฟังก์ชันของมันคือ

$$H(z) = \frac{1 - z^{-10}}{1 - R^{10} z^{-10}} \quad (2.9)$$

กำหนดให้ $R = 0.999$ ให้ผลตอบสนองดังรูป



รูปที่ 2.4 แสดงผลตอบสนองความถี่ของคอมบ์ฟิลเตอร์ที่ออกแบบโดยวิธีการวางโพลและซีโร
($\omega_0 = 0.2\pi$, $D = 10$, $R = 0.999$)

2.3 การออกแบบดิจิทัลคอมบ์ฟิลเตอร์โดยการออกแบบตัวหน่วงเวลาเป็นเศษส่วน [2]
โดยทั่วไปแล้ว สัญญาณอินพุทของคอมบ์ฟิลเตอร์มีรูปแบบดังนี้

$$\begin{aligned} x(n) &= s(n) + \sum_{k=0}^M A_k \sin(k\omega_0 n + \phi_k) \\ &= s(n) + I(n) \end{aligned} \quad (2.10)$$

เมื่อ $s(n)$ คือสัญญาณที่ต้องการและ $I(n)$ คือสัญญาณรบกวนที่มีลักษณะเป็นฮาร์โมนิกที่มีความถี่ฮาร์โมนิกหลักมูล ω_0 (Fundamental Harmonic Frequency) ในการที่จะแยกสัญญาณ $s(n)$ จากสัญญาณ $x(n)$ โดยไม่เกิดการลทอนซึ่งต้องใช้คอมบ์ฟิลเตอร์ที่มีคุณสมบัติดังนี้

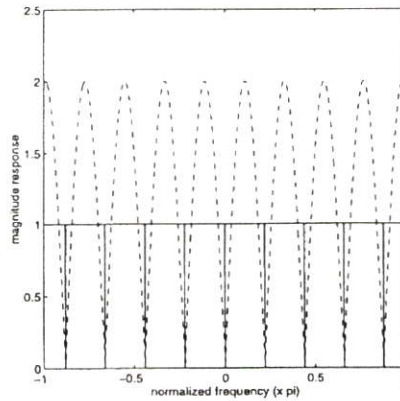
$$H_d(\omega) = \begin{cases} 0 & \omega = k\omega_0 \quad k=0,1,\dots,M \\ 1 & \text{อื่น ๆ} \end{cases} \quad (2.11)$$

เมื่อกำหนดให้ $D = 2\pi / \omega_0$ ซึ่งเป็นคาบของสัญญาณ $I(n)$ จะได้

$$\begin{aligned} I(n-D) &= \sum_{k=0}^M A_k \sin[k\omega_0(n-D) + \phi_k] \\ &= \sum_{k=0}^M A_k \sin[k\omega_0 n + \phi_k + 2k\pi] \\ &= I(n) \end{aligned} \quad (2.12)$$

ซึ่งแสดงให้เห็นว่า $I(n)$ จะเท่ากับ $I(n)$ ที่หน่วงเวลาไป D หรือ $I(n) = I(n-D)$ ฉะนั้นเมื่อกรองสัญญาณ $x(n)$ ด้วยฟิลเตอร์ $H(z)$ ซึ่งเท่ากับ $1-z^{-D}$ แล้วเอาที่พุด $y(n)$ คือ

$$\begin{aligned} y(n) &= x(n) - x(n-D) \\ &= [s(n) + I(n)] - [s(n-D) + I(n-D)] \\ &= s(n) - s(n-D) \end{aligned} \quad (2.13)$$



รูปที่ 2.5 แสดงผลตอบสนองความถี่ของดิจิทัลคอมบ์ฟิลเตอร์ $H(z) = 1 - z^{-D}$ (เส้นประ) และผลตอบสนองที่ต้องการ $H_d(\omega)$ (เส้นทึบ) โดยที่ $\omega_0 = 0.22\pi$ และ $M = 4$

ซึ่งแสดงให้เห็นอย่างชัดเจนว่า สัญญาณรบกวนที่เป็นฮาร์โมนิกถูกกำจัดออกจากเอาต์พุต $y(n)$ อย่างไรก็ตาม $y(n)$ ก็ยังไม่เท่ากับ $s(n)$ พบว่า $y(n)$ นั้นถูกลดทอนลงไป เพื่ออธิบายปรากฏการณ์นี้ พิจารณารูปที่ 2.5 ซึ่งแสดงผลตอบสนองความถี่ของ $H(z) = 1 - z^{-D}$ และผลตอบสนองความถี่ที่ต้องการ $H_d(\omega)$ เมื่อกำหนดให้ $\omega_0 = 0.22\pi$ และ $M = 4$ ให้สังเกตว่า $M = \pi/\omega_0$ โดยที่ M คือจำนวนเต็มี่มากที่สุดแต่จะน้อยกว่าหรือเท่ากับ π/ω_0 จากรูปที่ 2.5 พบว่าผลตอบสนองทั้งคู่มีตำแหน่งของซีโรตรงกันแต่ความแตกต่างกันในช่วงความถี่ผ่าน ดังนั้นเมื่อนำการลดทอนออกไป จึงต้องทำการชดเชย จากตำแหน่งซีโรของ $H(z) = 1 - z^{-D}$ ดังต่อไปนี้

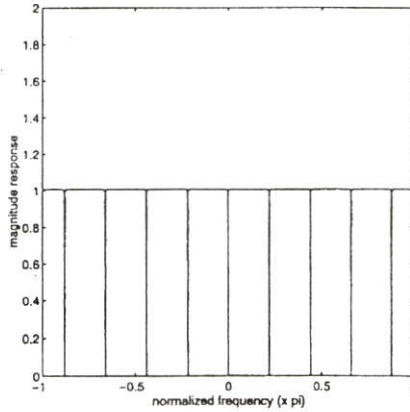
$$z_k = e^{j(2\pi/D)k} \quad \text{เมื่อ } k \text{ คือค่าจำนวนเต็มใดๆ} \quad (2.14)$$

ทุกๆ ซีโร z^k จะเพิ่มโพลที่สอดคล้องเข้าไป

$$p_k = Re^{j(2\pi/D)k} \quad \text{เมื่อ } k \text{ คือค่าจำนวนเต็มใดๆ} \quad (2.15)$$

เพื่อที่จะกำจัดการลดทอนในช่วงความถี่ผ่านของ $H(z) = 1 - z^{-D}$ รัศมีของโพล ρ จะมีค่าอยู่ระหว่าง 0 และ 1 ภายในวงกลม 1 หน่วย หลังจากทำการชดเชยแล้วทรานสเฟอ์ฟังก์ชันใหม่คือ

$$H_c(z) = \frac{1 - z^{-D}}{1 - R^D z^{-D}} \quad (2.16)$$



รูปที่ 2.6 แสดงผลตอบสนองความถี่ของคอมบ์ฟิลเตอร์ของ $H_c(z)$ โดย $\omega_0 = 0.22\pi$ และ $R = 0.99$

รูปที่ 2.6 แสดงผลตอบสนองความถี่ของ $H_c(z)$ เมื่อกำหนดพารามิเตอร์ $\omega_0 = 0.22\pi$, $R = 0.99$ ซึ่ง $H_c(z)$ คือคอมบ์ฟิลเตอร์ตามจินตภาพ เมื่อ ρ มีค่าเข้าใกล้ 1 และถ้า D เป็นจำนวนเต็มแล้วไม่จำเป็นต้องใช้การออกแบบใดๆ แต่ในกรณีที่ D ไม่เป็นจำนวนเต็ม จำเป็นต้องอาศัยการออกแบบตัวหน่วงเวลาเป็นเศษส่วน ซึ่งอาศัยการออกแบบโดยประมาณซึ่งทำได้ 2 วิธีคือ

1. ออกแบบโดยใช้ เอฟไออาร์ฟิลเตอร์(FIR)ความถี่ต่ำผ่าน
2. ออกแบบโดยใช้ฮอลพาสฟิลเตอร์

2.3.1 การออกแบบโดยใช้ FIR ฟิลเตอร์(FIR:Finite Impulse Response)

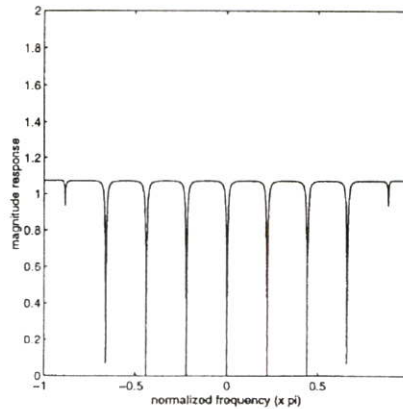
การออกแบบ z^{-D} โดย FIR ฟิลเตอร์นั้นสามารถออกแบบได้หลายวิธี [3] ตัวอย่างเช่น การออกแบบโดยวิธีลากรางอินเทอร์โพลชัน ซึ่ง z^{-D} จะถูกประมาณจาก

$$z^{-D} \approx \sum_{n=0}^N h(n)z^{-N} \quad (2.17)$$

และ $h(n)$ จะหาได้จาก

$$h(n) = \prod_{k=0, k \neq n}^N \frac{D-k}{n-k} \quad n = 0, 1, \dots, N \quad (2.18)$$

แต่พบว่าเมื่อใช้การออกแบบ z^{-D} วิธีใดๆนั้น เมื่อนำค่าของ z^{-D} มาแทนลงในทรานสเฟอร์ฟังก์ชันของดิจิทัลคอมบ์ฟิลเตอร์ พบว่าให้ผลตอบสนองความถี่ได้ไม่ดีเท่าที่ควร ดังเช่นรูปที่ 2.7 แสดงผลตอบสนองความถี่ของดิจิทัลคอมบ์ฟิลเตอร์ซึ่ง $\omega_0 = 0.22\pi$, $R = 0.99$ และ $N = 16$ เมื่อออกแบบ z^{-D} โดยวิธีของลากรางมัลติโพลเลอร์ ฉะนั้นจึงนำไปสู่การออกแบบ z^{-D} โดยเอฟไออาร์ฟิลเตอร์บนพื้นฐานของข้อจำกัดที่ต้องการ



รูปที่ 2.7 แสดงผลตอบสนองความถี่ของคอมบ์ฟิลเตอร์ออกแบบ z^{-D} โดยใช้วิธี Lagrange Interpolation

การออกแบบเอฟไออาร์ฟิลเตอร์แบบมีข้อจำกัด[2]

ทรานสเฟอร์ฟังก์ชันของเอฟไออาร์ฟิลเตอร์ออร์เดอร์ N คือ

$$H(z) = \sum_{i=0}^N h(n)z^{-N} \quad (2.19)$$

ผลตอบสนองความถี่ของเอฟไออาร์ฟิลเตอร์ดังกล่าวคือ

$$H(\omega) = h'e(\omega) = e'(\omega)h \quad (2.20)$$

เมื่อเวกเตอร์ h และ $e(\omega)$ คือ

$$h = [h(0) \quad h(1) \quad \dots \quad h(N)]^T \quad (2.21)$$

$$e(\omega) = [1 \quad e^{-j\omega} \quad \dots \quad e^{-jN\omega}]^T \quad (2.22)$$

เมื่อ $h(n)$ เป็นจำนวนจริง ผลตอบสนองความถี่ $H(\omega)$ จะเป็นค่าสังยุคโดยที่

$$H(-\omega) = H(\omega)^* \quad (2.23)$$

เครื่องหมาย "*" เป็นการบอกว่าฟังก์ชันนั้นเป็นฟังก์ชันสังยุค

ในการออกแบบตัวหน่วงเวลาเป็นเศษส่วน $F_d(\omega)$ โดยมีผลตอบสนองความถี่ที่ต้องการก็คือ $e^{-jD\omega}$ สัมประสิทธิ์ของฟิลเตอร์ $h(n)$ จะได้จากการมิไนไมซ์ตามวิธีของลีสท์สแควร์ดังนี้

$$J(h) = \int_{\omega \in (R^+ \cup R^-)} |H(\omega) - F_d(\omega)|^2 d\omega \quad (2.24)$$

เมื่อช่วงความถี่ $R^+ = [0, \alpha\pi]$ และ $R^- = [-\alpha\pi, 0]$ จากคุณสมบัติสังยุคของ $H(\omega)$ และ $F_d(\omega)$ สามารถเขียน $J(h)$ ในรูปแบบใหม่ได้ดังนี้

$$J(h) = h^T Q h - 2h^T p + C \quad (2.25)$$

เมื่อเมตริกซ์ Q เวกเตอร์ p และสเกลาร์ C เป็นจำนวนจริงและคำนวณจากสมการต่อไปนี้

$$Q = 2 \int_{\omega \in R^+} \text{Re}[e(\omega)e^h(\omega)] d\omega \quad (2.26)$$

$$p = 2 \int_{\omega \in R^+} \text{Re}[F_d(\omega)e^*(\omega)] d\omega \quad (2.27)$$

$$C = 2 \int_{\omega \in R^+} \text{Re}[F_d(\omega) \times F_d(\omega)] d\omega = 2\alpha\pi$$

(2.28)

เมื่อ h คือตัวกระทำเฮอรัมิเซียนคอนจูเกตทรานสโพส และ $\text{Re}(\bullet)$ คือส่วนจริงของจำนวนเชิงซ้อน และเพื่อให้ได้จุดลอคอมบ์ฟิลเตอร์มีค่า 0 ที่ความถี่ฮาร์โมนิก $k\omega_0$ ต้องกำหนดข้อจำกัดเหล่านี้ในการออกแบบ

$$H(k\omega_0) = e^{-jDk\omega_0}, k = 0, 1, \dots, M \quad (2.29)$$

เมื่อ $\text{Im}(\cdot)$ และข้อจำกัดสามารถเขียนอยู่ในรูปแบบเมตริกซ์คือ $Ch = f$ เมื่อเมตริกซ์ C และเวกเตอร์ f คือ

$$C = \{\text{Re}[e(0)], \text{Re}[e(\omega_0)], \text{Im}[e(\omega_0)], \dots, \text{Re}[e(M\omega_0)], \text{Im}[e(M\omega_0)]\}' \quad (2.30)$$

$$f = [1, \cos(D\omega_0), -\sin(D\omega_0), \dots, \cos(DM\omega_0), -\sin(DM\omega_0)]' \quad (2.31)$$

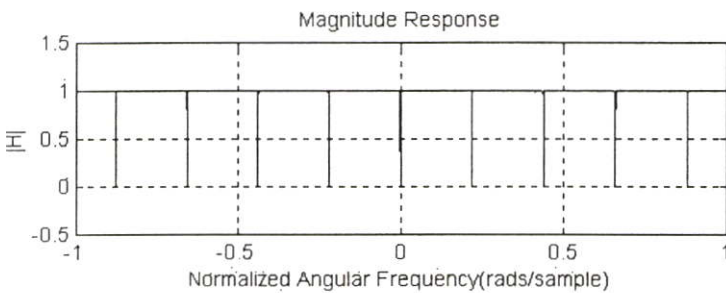
โดย $\text{Im}[\]$ คือส่วนจินตภาพของจำนวนเชิงซ้อนจากรายละเอียดที่กล่าวมา ปัญหาของการออกแบบกลายเป็น

$$\begin{array}{ll} \text{Minimize} & h'Qh - 2h'p + C \\ \text{Subject} & Ch = f \end{array} \quad (2.32)$$

เมื่อใช้วิธีของลาگرانมัลติพลีเออร์ โขลู่ชั้นที่ดีที่สุดของระบบคือ

$$h = Q^{-1}p - Q^{-1}C'(CQ^{-1}C')^{-1}[CQ^{-1}p - f] \quad (2.33)$$

ในกรณีที่กำหนดค่าของพารามิเตอร์คือ $\omega_0 = 0.22\pi, R = 0.999, N = 16$ จะได้ผลตอบสนองความถี่ของฟิลเตอร์ $H_c(z)$ ที่ออกแบบโดยพารามิเตอร์ดังกล่าวและผลตอบสนองที่ความถี่ $k\omega_0$ มีค่าเป็น 0 ดังรูปที่ 2.8



รูปที่ 2.8 แสดงผลตอบสนองความถี่ของดิจิทัลคอมบ์ฟิลเตอร์ที่ออกแบบโดยวิธีการออกแบบเอพไอร่าฟิลเตอร์ ($\omega_0 = 0.22\pi, R = 0.999, N = 16$)

2.3.2 การออกแบบโดยใช้อลฟาฟิลเตอร์

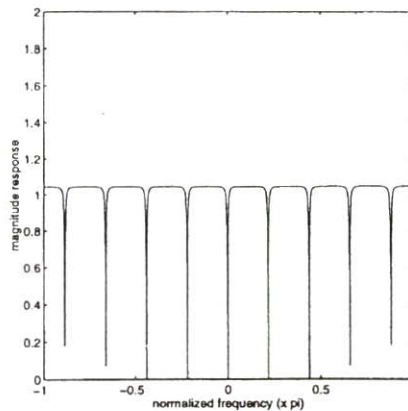
สามารถออกแบบ z^{-D} โดยใช้อลฟาฟิลเตอร์ด้วยสมการการประมาณดังต่อไปนี้

$$z^{-D} \approx \frac{a_N + a_{N-1}z^{-1} + \dots + a_1z^{-(N-1)} + z^{-N}}{1 + a_1z^{-1} + \dots + a_{N-1}z^{-(N-1)} + a_Nz^{-N}} \quad (2.34)$$

เมื่อจำนวนจริงบวก D เท่ากับค่าจำนวนเต็ม N บวกกับค่าเศษ d หรือ $D = N + d$ แล้วสัมประสิทธิ์ของฟิลเตอร์ a_k คำนวณได้จาก

$$a_k = (-1)^k C_k^N \prod_{n=0}^N \frac{D - N + n}{D - N + k + n} \quad (2.35)$$

โดยที่ $C_k^N = N! / k!(N-k)!$ คือสัมประสิทธิ์ของไบนอมิเยล รูปที่ 2.9 แสดงผลตอบสนองของดิจิทัลคอมบ์ฟิลเตอร์ที่ออกแบบโดยออลพาสฟิลเตอร์แล้วแทนลงไปนสมการที่ (2.10) พบว่าให้ผลตอบสนองที่ดีเฉพาะความถี่ต่ำๆ ซึ่งพบว่าเมื่อออกแบบออลพาสฟิลเตอร์แล้วแทนลงไปนสมการที่ (2.34) โดยตรงนั้นให้ผลตอบสนองความถี่ที่ไม่ดีเท่าที่ควร ฉะนั้นจึงต้องใช้การออกแบบออลพาสฟิลเตอร์ร่วมกับการออกแบบไมซ์เซชันดังจะกล่าวต่อไป



รูปที่ 2.9 แสดงผลตอบสนองความถี่ของดิจิทัลคอมบ์ฟิลเตอร์ที่ออกแบบโดยใช้ออลพาสฟิลเตอร์

การออกแบบคอมบ์ฟิลเตอร์ (การออกแบบออลพาสฟิลเตอร์ (แบบมีข้อจำกัด))

จากสมการที่ (2.34) ผลตอบสนองเฟสของออลพาสฟิลเตอร์คือ

$$\theta_A(\omega) = -N\omega + 2 \arctan \left[\frac{\sum_{k=1}^N a_k \sin(k\omega)}{1 + \sum_{k=1}^N a_k \cos(k\omega)} \right] \quad (2.36)$$

จุดประสงค์ของการออกแบบคือการประมาณค่า $\theta_A(\omega)$ ให้เท่ากับ $-D(\omega)$ ซึ่งเป็นค่าที่กำหนดไว้แล้วคือ

$$\theta_A(\omega) = -D\omega \quad \omega \in [0, \alpha\pi] \quad (2.37)$$

นำสมการที่ (2.36) แทนลงไปในสมการที่ (2.37)

$$\sum_{k=1}^N a_k \sin[\beta(\omega) + k(\omega)] = -\sin[\beta(\omega)] \quad (2.38)$$

เมื่อ $\beta(\omega) = -\frac{1}{2}(-D\omega + N\omega)$ กำหนดเวกเตอร์ 2 เวกเตอร์ดังนี้

$$a = [a_1 \quad a_2 \quad \dots \quad a_N]' \quad (2.39)$$

$$b(\omega) = \{\sin[\beta(\omega) + \omega] \quad \sin[\beta(\omega) + 2\omega] \quad \dots \quad \sin[\beta(\omega) + N\omega]\}' \quad (2.40)$$

สามารถเขียนสมการที่ 2.38 ใหม่ ได้ดังนี้

$$a'b(\omega) = -\sin(\beta(\omega)) \quad (2.41)$$

และทำการออพติไมซ์โดยวิธีลีสท์สแควร์เพื่อให้ได้ค่าที่ดีที่สุดของสัมประสิทธิ์ a ดังนี้

$$\begin{aligned} J(a) &= \int_0^{\alpha\pi} [a'b(\omega) + \sin[\beta(\omega)]]^2 d \sin[\beta(\omega) + \omega] d\omega \\ &= a'Qa - 2p'a + C \end{aligned} \quad (2.42)$$

เมื่อเมตริกซ์ Q เวกเตอร์ p และสเกลลาร์ C คือ

$$Q = \int_0^{2\pi} b(\omega)b(\omega)' d\omega \quad (2.43)$$

$$p = -\int_0^{2\pi} b(\omega)\sin[\beta(\omega)]d\omega \quad (2.44)$$

$$C = \int_0^{2\pi} \sin[\beta(\omega)]^2 d\omega \quad (2.45)$$

เพื่อสร้างให้คอมบ์ฟิลเตอร์มีค่าเป็น 0 ที่ความถี่ฮาร์โมนิก $k\omega_0$ จึงต้องเพิ่มข้อจำกัดเหล่านี้ในการออกแบบ

$$a'b(k\omega_0) = -\sin[\beta(k\omega_0)] \quad , k = 1, 2, \dots, M \quad (2.46)$$

เมื่อ $M = \lfloor \pi/\omega_0 \rfloor$ และข้อจำกัดสามารถเขียนอยู่ในรูปแบบ $Ca = f$ เมื่อเมตริกซ์ C และ f คือ

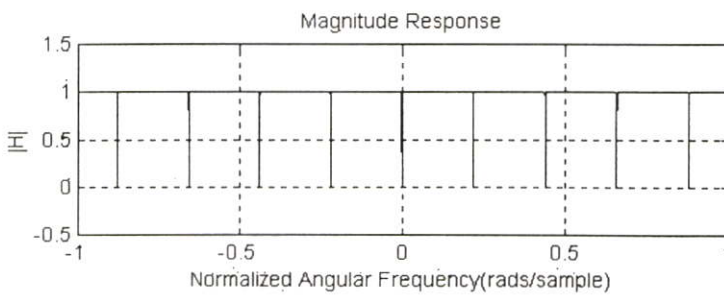
$$C = [b(\omega_0), b(2\omega_0), \dots, b(N\omega_0)]' \quad (2.47)$$

$$f = \{-\sin[\beta(\omega_0)], -\sin[\beta(2\omega_0)], \dots, -\sin[\beta(N\omega_0)]\}' \quad (2.48)$$

ใช้วิธีของลากรางมัลติพลีเออร์จะได้ค่าที่ดีที่สุดของสัมประสิทธิ์คือ

$$a = Q^{-1}p - Q^{-1}C'(CQ^{-1}C')^{-1}(CQ^{-1}p - f) \quad (2.49)$$

และในกรณีที่กำหนดพารามิเตอร์ในการออกแบบคือ $\omega_0 = 0.22\pi, R = 0.999$ และค่าของ $N = 2\pi/\omega_0 = 9$ ซึ่งได้ผลตอบสนองความถี่ดังรูปที่ 2.9 วิธีการออกแบบโดยวิธีนี้จะให้ผลตอบสนองเหมือนกับการออกแบบโดยใช้ FIR ฟิลเตอร์ แต่ให้ออเจอร์ของฟิลเตอร์ที่ต่ำกว่า



รูปที่ 2.10 แสดงผลตอบสนองความถี่ของคิจิตอลคอมบ์ฟิลเตอร์ออกแบบโดยใช้ฮอลพาสฟิลเตอร์ ($\omega_0 = 0.22\pi, \rho = 0.999, N = 9$)

2.4 การประยุกต์ใช้

คิจิตอลคอมบ์ฟิลเตอร์มีบทบาทในการนำไปใช้ในงานหลายประเภท การประยุกต์ใช้หลักๆ ของคิจิตอลคอมบ์ฟิลเตอร์จะเกี่ยวกับการกำจัดสัญญาณรบกวนที่เป็นฮาร์โมนิก การประมวลผล

สัญญาณเสียง ซึ่งพบในระบบบิตดิจิตอลวีดีโอดิस्क เครื่องรับสัญญาณของโทรทัศน์สี และระบบ HDTV หรือใช้ในการแยกสัญญาณบางประเภทที่มีสองความถี่ออกจากกัน ดังได้ยกตัวอย่างโดยสังเขปดังต่อไปนี้

2.4.1 การประยุกต์ใช้ในการบันทึกสัญญาณเสียง [1]

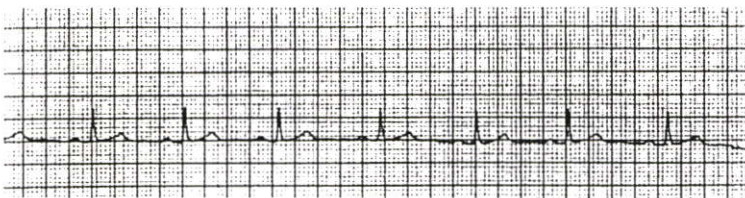
วงจรการประมวลผลสัญญาณที่จำเป็นต้องใช้ในการบันทึกสัญญาณเสียงประกอบไปด้วย

1. คอมเพรสเซอร์ และ ลิมิตเตอร์(Compressors, Limiters)
2. เอ็กซ์แพนเดอร์ และ นอยซ์เกต(Expander, Noise Gates)
3. อีควอลไลเซอร์ และ ฟิวเตอร์(Equalizer, Filters)
4. ระบบการลดสัญญาณรบกวน(Noise Reduction System)
5. ระบบหน่วงและระบบสะท้อน(Delay Systems, Reverberation Systems)
6. วงจรสำหรับเอฟเฟกพิเศษ(Special Effects)

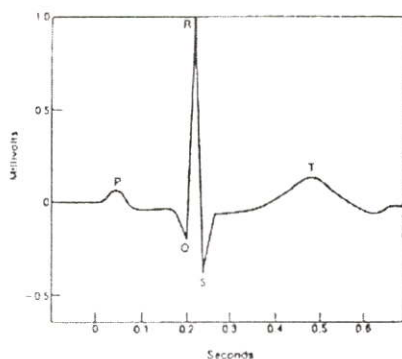
การประยุกต์ใช้คอมบีฟิลเตอร์จะเป็นส่วนหนึ่งของระบบฟิลเตอร์ซึ่งเป็นส่วนหนึ่งของระบบการบันทึกเสียงในกรณีที่ต้องการลดทอนความถี่บางส่วนที่มีช่วงแคบ โดยไม่กระทบกระเทือนส่วนอื่นๆ นอกจากนี้ยังเป็นส่วนหนึ่งในการสร้างเอฟเฟกพิเศษในการเปลี่ยนแปลงเฟส ณ ตำแหน่งของฮาร์โมนิกที่ต้องการดังจะกล่าวรายละเอียดในหัวข้อที่ 5.3

2.4.2.การกำจัดสัญญาณฮาร์โมนิกในการวัดสัญญาณ อิเล็กทรอนิกส์ดิโอแกรม [1],[4]

คือการนำดิจิตอลคอมบีฟิลเตอร์เพื่อกำจัดสัญญาณรบกวนที่เป็นฮาร์โมนิก อันเกิดจากการรบกวนของสัญญาณไฟเลี้ยง โดยความถี่ขึ้นอยู่กับระบบไฟฟ้าของประเทศนั้นๆ ปัญหาดังกล่าวพบมากในการบันทึกสัญญาณของเครื่องมือทางการแพทย์ เช่น การบันทึกสัญญาณอิเล็กทรอนิกส์ดิโอแกรม หรือเครื่องมือที่ไม่มีการป้องกันสัญญาณรบกวนที่ดีพอ



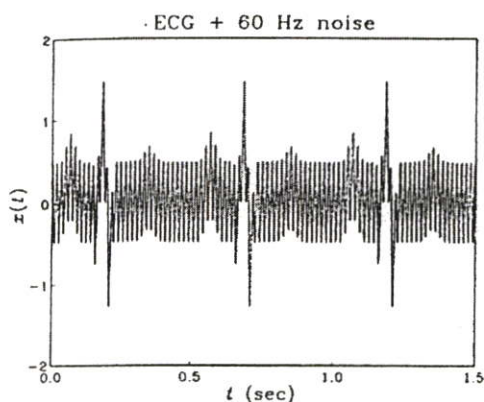
รูปที่ 2.11 แสดงสัญญาณอิเล็กทรอนิกส์ดิโอแกรม



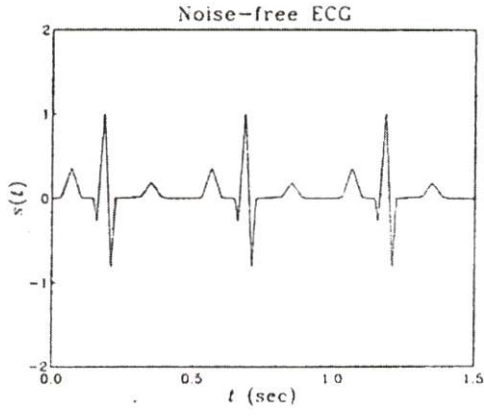
รูปที่ 2.12 แสดงสัญญาณอิเล็กทรอนิกส์โทรคาร์ดิโอแกรมภายใน 1 คาบเวลา

จากรูปที่ 2.11 แสดงสัญญาณอิเล็กทรอนิกส์โทรคาร์ดิโอแกรม ซึ่งเป็นสัญญาณไฟฟ้าที่เกิดจากการวัดจังหวะการสูบฉีดโลหิตของหัวใจ โดยสัญญาณนี้มีลักษณะเป็นคาบ โดยสัญญาณใน 1 คาบแสดงดังรูปที่ 2.12 แต่ละส่วนของกราฟสัญญาณอิเล็กทรอนิกส์โทรคาร์ดิโอแกรม แสดงถึงขั้นตอนการทำงานของหัวใจ และจากกราฟดังกล่าวจึงแสดงสภาวะทางกายภาพของหัวใจดังเช่น ขนาดและเวลาของ p และ QRS แสดงถึงสภาวะของมวลของกล้ามเนื้อคาร์ดิแอคถ้าขนาดมีค่าน้อยหรือหายไปแสดงถึงความเสียหายของกล้ามเนื้อ หรือขนาดที่เพิ่มขึ้นแสดงถึงอัตราการเต้นของหัวใจที่ผิดปกติ เป็นต้น ซึ่งแพทย์จะรักษาอาการผิดปกติเหล่านี้โดยยาต่างๆ และตรวจสอบสัญญาณอิเล็กทรอนิกส์โทรคาร์ดิโอแกรมภายหลังคนไข้ได้รับการรักษาโดยยานั้นเพื่อตรวจสอบถึงประสิทธิภาพของยาและการรักษา

ในทางปฏิบัติแล้วมีสัญญาณรบกวนจากภายนอกที่แทรกเข้ามาในสัญญาณอิเล็กทรอนิกส์โทรคาร์ดิโอแกรม ซึ่งถ้าไม่กำจัดสัญญาณเหล่านี้ออกไปแล้ว ก็ไม่สามารถอ่านสัญญาณที่แท้จริงได้ แหล่งสัญญาณรบกวนที่พบบ่อยก็คือสัญญาณที่เกิดจากสัญญาณไฟเลี้ยง ซึ่งรบกวนเข้ามาโดยการคลีปลิงของประจุไฟฟ้า หรือการเหนี่ยวนำของสนามแม่เหล็ก รูปที่ 2.13 แสดงสัญญาณอิเล็กทรอนิกส์โทรคาร์ดิโอแกรมที่ถูกรบกวนโดยสัญญาณไฟเลี้ยง และรูปที่ 2.14 แสดงสัญญาณอิเล็กทรอนิกส์โทรคาร์ดิโอแกรม ภายหลังจากการกรองโดยใช้ดิจิทัลคอมบ์ฟิลเตอร์ซึ่งมีอัตราการลดทอนที่ความถี่ไฟเลี้ยงสูงมาก



รูปที่ 2.13 แสดงสัญญาณอิเล็กทรอนิกส์โทรคาร์ดิโอแกรม ที่ถูกรบกวนโดยสัญญาณความถี่ไฟเลี้ยง



รูปที่ 2.14 แสดงสัญญาณอิเล็กทรอนิกส์โทรคาร์ดิโอแกรม ที่ผ่านการกรองเพื่อกำจัดสัญญาณรบกวน

บทที่ 3

การหาโมเมนต์ของราก

3.1. บทนำ

โมเมนต์ของราก[5]คือทฤษฎีที่เกี่ยวกับการจัดรูปแบบของสัญญาณซึ่งขึ้นอยู่กับคุณสมบัติทางพีชคณิตของสัญญาณ โดยใช้การวิเคราะห์โพลีโนเมียลในโดเมนเชิงซ้อน สามารถนำไปแก้ไขปัญหาคำคัญหลายประการในงานประมวลผลสัญญาณ[6]

พิจารณาสัญญาณ $\{x(k)\}$ ที่อยู่ในลักษณะของลำดับสัญญาณที่ไม่ต่อเนื่อง(Signal Sequence) เมื่อ $k = 0, 1, \dots, n$ หรือสัญญาณเรขาคณิตที่ไม่ทราบค่าจำนวน $n+1$ แซมเปิ้ล สามารถพิจารณาโดยใช้การแปลง z ที่ค่าคงที่ n ดังนี้

$$X(z) = x(0)z^n + x(1)z^{n-1} + x(2)z^{n-2} + \dots + x(n) \quad (3.1)$$

ทำการนอร์มอลไลซ์โดยเทียบกับ $x(0)$ ได้ดังสมการต่อไปนี้

$$f(z) = z^n + p_1 z^{n-1} + p_2 z^{n-2} + \dots + p_n \quad (3.2)$$

$$\text{เมื่อ} \quad f(z) = X(z) / x(0) \quad (3.3)$$

$$p_i = x(i) / x(0), i = 1, \dots, n \quad (3.4)$$

การนอร์มอลไลซ์นี้ไม่ใช่ส่วนที่สำคัญของทฤษฎีแต่ทำให้สามารถจัดการทางพีชคณิตบางส่วนได้ง่ายขึ้น และสามารถเขียน $f(z)$ ได้ดังนี้

$$f(z) = \prod_{i=1}^n (z - r_i) \quad (3.5)$$

เมื่อ r_j คือรากของโพลีโนเมียล $f(z)$

และจะใช้สัญลักษณ์ต่อไปนี้

1. $r_j = r_{jin}$ ถ้าราก r_j เป็นรากที่อยู่ภายในวงกลม 1 หน่วย
2. $r_j = r_{jout}$ ถ้าราก r_j เป็นรากที่อยู่ภายนอกวงกลม 1 หน่วย
3. $r_j = r_{jo}$ ถ้าราก r_j เป็นรากที่อยู่บนในวงกลม 1 หน่วย

เขียน $f(z)$ ในรูปแบบความสัมพัทธ์ของ r_{jm}, r_{jout} และ r_{jo} ได้ดังนี้

$$f(z) = \prod_{i=1}^n (z - r_i) = \left[\prod_j (z - r_{jm}) \right] \left[\prod_j (z - r_{jout}) \right] \left[\prod_j (z - r_{jo}) \right] \quad (3.6)$$

$$\text{หรือ} \quad f(z) = f_{\min}(z) f_{\max}(z) f_o(z) \quad (3.7)$$

เมื่อ $f_{\min}(z)$ คือตัวประกอบที่มีเฟสน้อยที่สุดของ $f(z)$ $f_{\max}(z)$ คือตัวประกอบที่มีเฟสมากที่สุดของ $f(z)$ และ $f_o(z)$ คือตัวประกอบที่มีรากอยู่บนวงกลม 1 หน่วย จากสมการที่ (3.2) นิวตันได้กำหนดเซตของพารามิเตอร์ดังต่อไปนี้

$$S_m = r_1^m + r_2^m + \dots + r_n^m = \sum_{i=1}^n r_i^m \quad (3.8)$$

เมื่อ r_i คือรากที่ i ตามสมการที่ 3.2

ถึงแม้ว่าจากสมการที่ (3.8) ประกอบไปด้วยรากจากสมการที่ (3.2) แต่ก็ไม่จำเป็นต้องคำนวณ S_m โดยตรง สามารถคำนวณ S_m ได้โดยใช้สัมประสิทธิ์ p_i ซึ่ง S_m ก็คือโมเมนต์ของรากของโพลิโนเมียล $f(z)$ S_m ได้ถูกนำไปใช้งานในการประมวลผลสัญญาณหลายประเภท โดยเฉพาะที่สำคัญคือการหาอนุพันธ์ของเซพสตรัม[3,4]

3.2 การประมาณค่าโมเมนต์ของรากโดยกระบวนการวนซ้ำ

เมื่อเขียนโพลิโนเมียลตามสมการที่ 3.2 ในรูปแบบของการคูณกันของตัวประกอบแล้ว สามารถเขียน $f'(z)$ ได้ดังนี้

$$f'(z) = \sum_{i=1}^n \frac{f(z)}{z - r_i} \quad (3.9)$$

และเมื่อ $f(r_i) = 0$ จะได้

$$f'(z) = nz^{n-1} + (S_1 + np_1)z^{n-2} + (S_2 + p_1S_1 + np_2)z^{n-3} + (S_m + p_1S_{m-1} + p_2S_{m-2} + \dots + np_m)z^{n-m-1} + \dots \quad (3.10)$$

ทำการหาอนุพันธ์ของสมการที่ 3.2 ได้ดังนี้

$$f'(z) = nz^{n-1} + (n-1)p_1z^{n-2} + (n-2)p_2z^{n-3} + \dots + (n-m)p_mz^{n-m-1} + \dots \quad (3.11)$$

จากสมการที่ 3.10 และ 3.11 จะได้สมการความสัมพันธ์ของนิเวศน์ไอเดนติตี้ดังนี้

$$S_1 + np_1 = (n-1)p_1 \quad \text{หรือ} \quad S_1 + p_1 = 0 \quad (3.12)$$

$$S_2 + p_1S_1 + np_2 = (n-2)p_2 \quad \text{หรือ} \quad S_2 + p_1S_1 + 2p_2 = 0 \quad (3.13)$$

หรือในรูปแบบทั่วไปคือ

$$S_m + p_1S_{m-1} + p_2S_{m-2} + \dots + np_m = (n-m)p_m \quad \text{หรือ} \quad (3.14)$$

$$S_m + p_1S_{m-1} + p_2S_{m-2} + \dots + mp_m = 0 \quad (3.15)$$

ถ้าสัญญานมีความยาวเป็นอนันต์ สมการที่ (3.15) จะถูกใช้ซ้ำๆ เพื่อคำนวณค่าของโมเมนต์ของราก หรืออีกกรณีหนึ่งถ้าสัญญานนั้นมีความยาวจำกัด ซึ่งกรณีนี้ที่ค่าของ $m > n$ จะได้ว่า

$$S_m + p_1S_{m-1} + p_2S_{m-2} + \dots + p_nS_{m-n} = 0 \quad (3.16)$$

ความสัมพันธ์ข้างต้นสามารถใช้คำนวณ S_m สำหรับ $m < 0$ โดยแทนค่า $m = n-1, n-2, n-3$ ให้สังเกตว่าค่าของ S_m ไม่ว่า m จะเป็นบวกหรือลบจะสามารถคำนวณได้จากสัมประสิทธิ์ในสมการที่ (3.2)

กระบวนการวนซ้ำตามสมการที่ (3.12) ถึง สมการที่ (3.15) โดย n มีค่าไม่จำกัดจะเป็นอะไรก็ได้ มันสามารถนำไปประยุกต์ใช้กับสัญญานที่มีความยาวไม่จำกัด ถ้าสามารถสมมติให้สัมประสิทธิ์ $\{p_i\}$ คือสัญญานที่สุ่มขึ้นมา (นอร์มอลไลซ์แล้ว) และเป็นการเพียงพอที่จะพิสูจน์ว่าสัญญานที่มีความยาวจำกัดและไม่จำกัดเมื่อแปลงให้อยู่ในรูปของฟังก์ชันยกกำลังแล้ว (โดยการแปลง z) สามารถเขียนให้อยู่ในรูปความสัมพันธ์ของโพลิโนเมียลและนิเวศน์ไอเดนติตี้ได้

3.2.1 ข้อสังเกตและผลลัพธ์

พบว่าสมการที่ (3.12) ถึง สมการที่ (3.15) ก็คือการแปลงสัมประสิทธิ์ $\{p_r\}$ ไปยังเซตของพารามิเตอร์ $\{S_m\}$ ซึ่งเป็นการแปลงแบบ 1 ต่อ 1 และให้ผลลัพธ์ดังนี้

ผลข้อที่ 1 เมื่อมีเซตของสัมประสิทธิ์ $\{p_r\}$ ของโพลิโนเมียล n ตามสมการที่ (3.2) ซึ่งมีค่าราก $\{r_i\}$ $i=1,2,\dots,n$ ย่อมมีเซตของพารามิเตอร์ $m=1,\dots,n$ $S_0 = n$ ดังนี้

$$S_m = \sum_{i=1}^n r_i^m \quad (3.17)$$

ซึ่งแสดงดังสมการที่ (3.12) ถึงสมการที่ (3.15)

ผลข้อที่ 2 ในทางตรงกันข้าม เมื่อมีเซตของโมเมนต์ของราก $\{S_m\}$ ย่อมมีเซตของสัมประสิทธิ์ $\{p_i\}$ $r=1,\dots,n$ ดังโพลิโนเมียลในสมการ (3.2) ซึ่งสามารถคำนวณย้อนกลับโดยใช้สมการที่ (3.12) ถึงสมการที่ (3.15)

จะใช้โมเมนต์ของรากเพื่ออธิบายถึงคุณสมบัติของโพลิโนเมียลที่ต้องการ ซึ่งคุณสมบัติของพารามิเตอร์เหล่านี้ให้ข้อมูลที่ควรพิจารณาตามทฤษฎีต่อไปนี้

ทฤษฎีที่ 1 ถ้า r_1, r_2, r_3, \dots คือรากของโพลิโนเมียลและ $\{S_m\}$ ได้จากสมการที่ (3.12) ถึงสมการที่ (3.15)

และจะพบพฤติกรรมต่อไปนี้

1. ถ้า r_{\max} เป็นรากที่เป็นจำนวนจริงและมีขนาดใหญ่มากที่สุดใน $\{r_i\}$, $i=1,2,\dots,n$ แล้ว

$$r_{\max} = \lim_{m \rightarrow \infty} \left\{ \frac{S_{m+1}}{S_m} \right\} \quad (3.18)$$

2. ถ้า r_i, r_j เป็นค่ารากที่มีขนาดที่ใหญ่ที่สุดใน $\{r_i\}$ $i=1,2,\dots,n$ แล้ว

$$r_i r_j = \lim_{m \rightarrow \infty} \left\{ \frac{S_m S_{m+2} - S_{m+1}^2}{S_{m-1} S_{m+1} - S_m^2} \right\} \quad (3.19)$$

$$r_i + r_j = \lim_{m \rightarrow \infty} \left\{ \frac{S_m S_{m+3} - S_{m+1} S_{m+2}}{S_m S_{m+2} - S_{m+1}^2} \right\} \quad (3.20)$$

พิสูจน์ ในข้อ 1 แสดงให้เห็นอย่างเด่นชัดว่ารากที่ใหญ่ที่สุดมีผลอย่างมากต่อโมเมนต์ของรากและสำหรับส่วนที่ 2 จะพิสูจน์ดังต่อไปนี้

$$\begin{aligned}
S_m S_{m+2} &= \left[r_i^m + r_j^m + \sum_{\substack{p \\ p \neq i \\ p \neq j}} r_p^m r_p^2 \right] \\
&\times \left[r_i^m r_i^2 + r_j^m r_j^2 + \sum_{\substack{p \\ p \neq i \\ p \neq j}} r_p^m r_p^2 \right] \\
&= r_i^{2m} r_i^2 + r_j^{2m} r_j^2 + r_i^{m+2} r_j^m + r_i^m r_j^{m+2} + r_i^m \sum_{\substack{p \\ p \neq i \\ p \neq j}} r_p^m r_p^2 + r_j^m \sum_{\substack{p \\ p \neq i \\ p \neq j}} r_p^m r_p^2 \\
&\quad + \sum_{\substack{p \\ p \neq i \\ p \neq j}} r_p^m \sum_{\substack{p \\ p \neq i \\ p \neq j}} r_p^m r_p^2 + r_i^{m+2} \sum_{\substack{p \\ p \neq i \\ p \neq j}} r_p^m + r_j^{m+2} \sum_{\substack{p \\ p \neq i \\ p \neq j}} r_p^m
\end{aligned} \tag{3.21}$$

ยิ่งไปกว่านั้นสามารถเขียน

$$\begin{aligned}
(S_{m+1})^2 &= \left[r_i^{m+1} + r_j^{m+1} + \sum_{\substack{p \\ p \neq i \\ p \neq j}} r_p^{m+1} \right]^2 \\
&= r_i^{2m+2} + r_j^{2m+2} + \left[\sum_{\substack{p \\ p \neq i \\ p \neq j}} r_p^{m+1} \right]^2 \\
&\quad + 2r_i^{m+1} r_j^{m+1} \\
&\quad + 2r_i^{m+1} \sum_{\substack{p \\ p \neq i \\ p \neq j}} r_p^{m+1} + 2r_j^{m+1} \sum_{\substack{p \\ p \neq i \\ p \neq j}} r_p^{m+1}
\end{aligned} \tag{3.22}$$

ซึ่งทำได้

$$\lim_{m \rightarrow +\infty} \left(\frac{S_m S_{m+2} - (S_{m+1})^2}{r_i^{m+1} r_j^{m+1}} \right) = \frac{\frac{r_i}{r_j} + \frac{r_j}{r_i} - 2}{\frac{1}{r_i^2} + \frac{1}{r_j^2} - \frac{2}{r_i r_j}} \tag{3.23}$$

และลิมิตที่ 2 ในสมการที่ (3.20) สามารถพิสูจน์ได้โดยใช้วิธีเดียวกัน

ถ้ารากที่ใหญ่ที่สุดเป็นจำนวนเชิงซ้อนแต่โพลิโนเมียลเป็นจำนวนจริงแล้ว $r_i = \rho e^{j\phi}$ และ $r_j = \rho e^{-j\phi}$ ลิมิตจะเป็น ρ^2 และ $2\rho \cos\phi$ ตามลำดับ

ทฤษฎีที่ 2 ถ้า m ในทฤษฎีที่ 1 เข้าสู่ $-\infty$ แล้ว ลิมิตเดียวกันจะใช้กับรากที่มีโมดูลี่น้อยที่สุด

โมเมนต์ของรากและการรวมลัญญาน

3.3.1 การคูณ สมมติให้โมเมนต์ของรากของโพลิโนเมียล $f_1(z)$ คือ $S_m^{f_1(z)}$ และโมเมนต์ของรากของ $f_2(z)$ คือ $S_m^{f_2(z)}$ ฉะนั้นโมเมนต์ของรากของ $f(z) = f_1(z)f_2(z)$ จะเป็น $S_m^{f(z)} = S_m^{f_1(z)} + S_m^{f_2(z)}$

3.3.2 การบวก ต้องการที่จะหาโมเมนต์ของรากของ $f(z) = f_1(z) + f_2(z)$ ในเทอมของโมเมนต์ของรากของ $f_1(z)$ และ $f_2(z)$ ฉะนั้นจึงกำหนดฟังก์ชัน $g_1(z)$ และ $g_2(z)$ ซึ่งไม่ใช่ฟังก์ชันโพลิโนเมียลซึ่ง $f_1(z) = \ln g_1(z)$ และ $f_2(z) = \ln g_2(z)$ ดังนั้น

$$f(z) = f_1(z) + f_2(z) = \ln g_1(z)g_2(z) = \ln g(z) \quad (3.24)$$

เมื่อ $g(z) = g_1(z)g_2(z)$

ในกรณีของ $f(z) = \ln g(z)$ ฉะนั้น $f'(z) = g'(z)/g(z)$ หรือ $f'(z)g(z) = g'(z)$

และถ้า $f(z) = f_0 + f_1z + f_2z^2 + \dots$ และ $g(z) = g_0 + g_1z + g_2z^2 + \dots$ ฉะนั้น $f'(z) = f_1 + 2f_2z + 3f_3z^2 + \dots$ และ $g'(z) = g_1 + 2g_2z + 3g_3z^2 + \dots$

เพราะฉะนั้นเขียนความสัมพันธ์ $f'(z)g(z) = g'(z)$ ได้ดังนี้

$$\begin{aligned} & (f_1 + 2f_2z + 3f_3z^2 + \dots)(g_0 + g_1z + g_2z^2 + \dots) \\ &= (g_1 + 2g_2z + 3g_3z^2 + \dots) \end{aligned} \quad (3.25)$$

เทอมทางด้านซ้ายมืออยู่ในรูปแบบของคอนโวลูชัน จำนวน n เทอมดังนี้

$$\begin{aligned} & g_0(n+1)f_{n+1} + g_1nf_n + g_2(n-1)f_{n-1} + \dots + g_nf_1 \\ &= (n+1)g_{n+1} \end{aligned} \quad (3.26)$$

เมื่อกระจายฟังก์ชัน $g(z)$ จะแสดงให้เห็นความสัมพันธ์ของ $f(z)$ และสัมประสิทธิ์ดังนี้

$$g_{n+1} = g_0 f_{n+1} + \frac{n}{n+1} g_1 f_n + \frac{n-1}{n+1} g_2 f_{n-1} + \dots + \frac{1}{n+1} g_n f_1 \quad (3.27)$$

เมื่อทราบค่า $f(z)$ ก็จะสามารถหาค่า $g(z)$ โดยที่ $f(z) = \ln g(z)$ ยิ่งไปกว่านั้นในกรณีตรงกันข้ามถ้ากำหนด $g(z)$ ก็จะสามารถหาค่า $f(z)$ ได้ดังนี้

$$f_{n+1} = \frac{1}{g_0} \left[g_{n+1} - \left(\frac{n}{n+1} g_1 f_n + \frac{n-1}{n+1} g_2 f_{n-1} + \dots + \frac{1}{n+1} g_n f_1 \right) \right] \quad (3.28)$$

$$g_0 \neq 0, g_0 > 0$$

โดยค่าเริ่มต้นคือ $f_0 = \ln g_0$

ในการบวกของสัญญาณ 2 สัญญาณสามารถใช้การแปลงดังกล่าวทั้งรูปแบบโดยตรงและย้อนกลับเพื่อคำนวณหาผลลัพธ์ได้

3.3.3 การหาร โมเมนต์ของรากของ $f(z) = f_1(z)/f_2(z)$ คือ $S_m^{f(z)} = S_m^{f_1(z)} - S_m^{f_2(z)}$

3.3.4 การลบ การลบจะใช้หลักการเดียวกันกับการบวก

ดังนั้นสามารถใช้วิธีของโมเมนต์ของรากในการจัดการกับสัญญาณในโดเมนใหม่ที่แปลงมาได้

3.4 การประยุกต์ใช้

ในส่วนนี้จะแสดงการนำโมเมนต์ของรากไปประยุกต์ใช้ดังจะกล่าวดังต่อไปนี้

3.4.1 การหาค่าตัวประกอบเฟสที่น้อยที่สุด และมากที่สุดของสัญญาณโดยไม่ต้องหารากของสัญญาณ [2]

การหาค่าตัวประกอบเป็นปัญหาที่พบในงานหลายประเภท ดังเช่น ในงานการออกแบบดิจิทัลฟิลเตอร์ [6], การประมาณค่า [7-12], การประมวลผลสัญญาณแบบอแดปทีฟ [13] และในงานประเภทอื่นๆ แต่สำหรับปัญหาในที่นี้ก็คือความจำเป็นที่จะหาตัวประกอบเฟสที่น้อยที่สุด $f_{\min}(z)$ ตัวประกอบเฟสที่มากที่สุด $f_{\max}(z)$ จากโพลิโนเมียล $f(z)$ โดยที่

$$f(z) = f_{\min}(z) f_{\max}(z) f_0(z) \quad (3.29)$$

เมื่อ $f_0(z)$ คือตัวประกอบที่อยู่บนวงกลมหนึ่งหน่วยสามารถเขียน

$$\frac{f'(z)}{f(z)} = \frac{(f_{\min}(z))'}{f_{\min}(z)} + \frac{(f_{\max}(z))'}{f_{\max}(z)} + \frac{(f_0(z))'}{f_0(z)} \quad (3.30)$$

และเมื่อ $m \geq 0$ และ $C: |z|=1$ แล้ว

$$\oint_C \frac{f'(z)}{f(z)} z^m dz = \oint_C \frac{(f_{\min}(z))'}{f_{\min}(z)} z^m dz + \oint_C \frac{(f_0(z))'}{f_0(z)} z^m dz \quad (3.31)$$

เนื่องจากโพลของตัวประกอบ $f_{\max}(z)$ ไม่มีเศษจะนั้น

$$\frac{1}{2\pi j} \oint_C \frac{f'(z)}{f(z)} z^m dz = S_m^{f_{\min}(z)} + \frac{1}{2} S_m^{f_0(z)} \quad (3.32)$$

ถ้าไม่มีรากบนวงกลม 1 หน่วยแล้ว $f_0(z)=1$ ดังนั้น

$$S_m^{f_{\min}(z)} = \frac{1}{2\pi j} \oint_C \frac{f'(z)}{f(z)} z^m dz \quad (3.33)$$

จากผลลัพธ์แล้วสามารถหาโพลิโนเมียล $f_{\min}(z)$ ได้โดยตรงโดยใช้ความรู้ที่เกี่ยวกับโมเมนต์ของราก

ถ้า $f(z)$ มีซีโรอยู่บนวงกลม 1 หน่วยจะใช้วิธีใดวิธีหนึ่งดังกล่าวต่อไปนี้ โดยที่ $f(z)$ เป็นโพลิโนเมียลที่เป็นจำนวนจริง ดังนั้นมันจะมีซีโรที่เป็นจำนวนเชิงซ้อนที่เป็นคู่คอนจูเกตซึ่งกันและกัน

อัลกอริทึม 1

1. จากสมการ

$$S_m^{f_{\min}(z)} + \frac{1}{2} S_m^{f_0(z)} = \frac{1}{2\pi j} \oint_C \frac{f'(z)}{f(z)} z^m dz \quad (3.34)$$

2. กำหนดให้

$$\tilde{S}_m = 2 \left[S_m^{f_{\min}(z)} + \frac{1}{2} S_m^{f_0} \right] = 2S_m^{f_{\min}} + S_m^{f_0} \quad (3.35)$$

ซึ่งทำให้เกิดโพลิโนเมียล $\tilde{f}(z)$ ที่มีดีกรีดังนี้

$$p = 2S_0^{f_{\min}(z)} + S_0^{f_0(z)} \quad (3.36)$$

จากผลลัพธ์พบว่า $\tilde{f}(z)$ จะสามารถสร้างขึ้นได้จากโมเมนต์ของราก \tilde{S}_m ในรูปของตัวประกอบ Az^q เมื่อ A คือค่าคงที่ และ q คือจำนวนเต็ม โพลิโนเมียล $\tilde{f}(z)$ จะมีซีโรของ $f_{\min}(z)$ ภายใน $C:|z|=1$ โดยที่แต่ละตัวคูณด้วย 2 และซีโรของ $f(z)$ จะอยู่บนเส้นรอบวงของ $C:|z|=1$

3. สร้างโพลิโนเมียล

$$f_1(z) = z^n \tilde{f}(z^{-1}) \quad (3.37)$$

ซึ่งเป็นโพลิโนเมียลที่ไม่มีซีโรอยู่ในวงกลม 1 หน่วย และเฉพาะซีโรของ $f(z)$ จะอยู่บนวงกลม 1 หน่วย ฉะนั้นพารามิเตอร์

$$S_m' = \frac{1}{2\pi j} \oint_C \frac{f_1'(z)}{f_1(z)} z^m dz \quad (3.38)$$

จะสามารถคำนวณได้ และเป็น $\frac{1}{2} S_m^{f_0}$ ของโพลิโนเมียลเดิม

4. นำผลลัพธ์จากข้อ 3 ไปลบจากผลลัพธ์ในข้อ 1 จะได้โมเมนต์ของรากของตัวประกอบเฟสที่น้อยที่สุด และสามารถคำนวณหา $f_{\min}(z)$

5. จากพารามิเตอร์ $\frac{1}{2} S_m^{f_0}$ สร้างโพลิโนเมียล $f_0(z)$

6. นำโมเมนต์ของรากของ $f_{\min}(z)$, $f_0(z)$ ไปลบออกจากโมเมนต์ของรากของ $f(z)$ จะได้โมเมนต์ของรากของส่วนประกอบเฟสที่มากที่สุด $f_{\max}(z)$

จากขั้นตอนที่ 6 สามารถเปลี่ยนแปลงได้โดยสามารถคำนวณได้อีกวิธีหนึ่งคือ

จากข้อ 6 สร้าง $g(z)$ จากโพลิโนเมียล $f(z)$ เดิมคือ

$$z^n f(z^{-1}) = g(z) \quad (3.39)$$

ทำซ้ำขั้นตอนที่ 1 จะได้ดังนี้

$$S_m^{g_{\min}(z)} + \frac{1}{2} S_m^{g_0(z)} \quad (3.40)$$

อย่างไรก็ตาม $S_m^{g_0(z)} = S_m^{f_0(z)}$

และเมื่อพิจารณาขั้นตอนที่ 3 สามารถหา $S_m^{g_{\min}(z)}$ ฉะนั้นสามารถสร้างโพลิโนเมียล $g_{\min}(z)$ ซึ่งซีโรของมันจะเป็นอินเวอร์สของ $f(z)$ ซึ่งอยู่ภายนอก $C: |z|=1$ ซึ่งเป็นอีกวิธีหนึ่งในการคำนวณ $f_{\max}(z)$

อัลกอริทึม 2

กำหนดให้ออเดอร์ของ $f(z)$ เป็น n แล้วสร้าง $g(z) = z^n f(z^{-1})$ รากของ $g(z)$ จะเป็นค่าส่วนกลับกับรากของ $f(z)$ เพราะฉะนั้นเมื่อมีรากของ $f(z)$ อยู่บนวงกลม 1 หน่วยก็จะมีรากของ $g(z)$ ซึ่งอยู่บนวงกลม 1 หน่วยเช่นกัน และถ้า $f(z)$ เป็นจำนวนจริงแล้วตำแหน่งของมันจะอยู่บนตำแหน่งเดียวกัน

ดังนั้น $f(z)$ และ $g(z)$ จึงมีตัวประกอบเหมือนกันถ้าสมมติให้ $f(z)$ ไม่มีค่ารากที่เป็นส่วนกลับซึ่งกันและกันแล้ว $f(z)$ และ $g(z)$ จะมีตัวประกอบร่วมกันคือโพลิโนเมียลที่มีรากอยู่บนวงกลม 1 หน่วย ซึ่งโพลิโนเมียลดังกล่าวสามารถคำนวณโดยใช้อัลกอริทึมของยูคลิด ขั้นตอนต่อไปก็คือการคำนวณหาโมเมนต์ของรากของตัวประกอบร่วมแล้วนำไปลบจากโมเมนต์ของรากที่คำนวณไว้แล้วในสมการที่ 3.33 จะได้ค่าของโพลิโนเมียล $f_0(z)$ และ $f_{\min}(z)$ หลังจากนั้นคำนวณโดยใช้ข้อที่ 6 ของอัลกอริทึมที่ 1

อัลกอริทึมที่ 3

ถ้ามีโพลิโนเมียล $f(z)$ ซึ่งมีออเดอร์ n ซึ่ง $n = n_m + n_{out} + n_0$

$$f(z) = \left(\prod_{i=1}^{n_m} (z - r_{im}) \right) \left(\prod_{i=1}^{n_{out}} (z - r_{io}) \right) \left(\prod_{i=1}^{n_0} (z - r_{i0}) \right) \quad (3.41)$$

เมื่อ $|r_{im}| < 1$, $|r_{io}| > 1$ และ $|r_{i0}| = 1$ รากที่อยู่ภายในวงกลม 1 หน่วยเป็นส่วนที่ไม่สนับสนุน S_m ในขณะที่รากที่อยู่ภายนอกวงกลม 1 หน่วยเป็นส่วนสนับสนุน แต่อย่างไรก็ตามรากทั้ง 2 ประเภทมีความสำคัญอย่างมากในกรณีที่มี m เป็นบวก และในกรณีตรงกันข้ามถ้า m เป็นลบ จะถูกควบคุมโดยรากที่อยู่ภายในวงกลม 1 หน่วย

สำหรับกรณีที่ m เป็นบวก

$$\begin{aligned} S_m &= \sum_{i=1}^{n_{in}} r_{im}^m + \sum_{i=1}^{n_{out}} r_{iout}^m + \sum_{i=1}^{n_o} r_{io}^m \\ &= S_m^{f_{\min}(z)} + S_m^{f_{\max}(z)} + S_m^{f_o(z)} \end{aligned} \quad (3.42)$$

และเมื่อ $S_m^{f_{\min}(z)} \rightarrow 0$, $|S_m^{f_o(z)}| \leq n_o$ เมื่อ $m \rightarrow +\infty$ และ $|S_m^{f_{\max}(z)}|$ เพิ่มขึ้นตาม r_{\max}^m เมื่อ $r_{\max}^m = \max\{r_{iout}\}$ สามารถเขียน

$$S_m \cong S_m^{f_{\max}(z)} \text{ เมื่อ } m \rightarrow \infty \quad (3.43)$$

ในทางปฏิบัติ

$$\begin{aligned} S_m^{f_{\min}(z)} &\leq |S_m^{f_{\min}(z)}| \\ &\leq \sum_{i=1}^{n_{in}} |r_{im}|^m |\exp[jm \arg(r_{im})]| \\ &\leq \sum_{i=1}^{n_{in}} |r_{im}|^m \leq \sum_{i=1}^{n_{in}} 1 = n_{in} \end{aligned} \quad (3.44)$$

$$\begin{aligned} S_m^{f_o(z)} &\leq |S_m^{f_o(z)}| \\ &\leq \sum_{i=1}^{n_o} |\exp[jm \arg(r_{io})]| \leq \sum_{i=1}^{n_o} 1 = n_o \end{aligned}$$

และ

$$S_m^{f_{\min}(z)} + S_m^{f_o(z)} \leq n_{in} + n_o, \forall m \quad (3.45)$$

ถ้าเลือก m ให้มีขนาดใหญ่กว่า $n_{in} + n_o$ จากเซตของ S_m สามารถสร้างโพลีโนเมียล $f_{\max}(z)$ และในกรณีที่คล้ายกัน

$$S_m^{f_{\max}(z)} \rightarrow 0 \text{ และ } |S_m^{f_o(z)}| \leq 0 \text{ ขณะที่ } m \rightarrow -\infty \quad (3.46)$$

และในทางปฏิบัติ

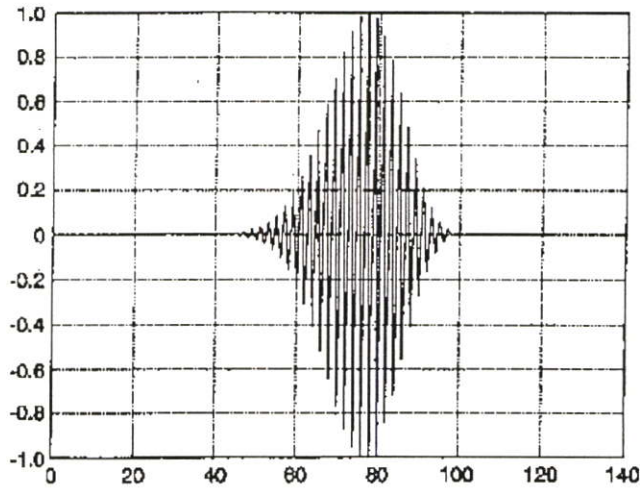
$$S_m^{f_{\max}(z)} + S_m^{f_o(z)} \leq n_{out} + n_o \text{ สำหรับ } m < 0 \quad (3.47)$$

ถ้าเลือกขนาดของ m ให้ใหญ่กว่า $n_{out} + n_o$ จากเซตของ S_{-m} สามารถสร้าง โพลีโนเมียล $f_{min}(z)$ เมื่อทราบค่า $f_{min}(z)$ และ $f_{max}(z)$ สามารถสร้าง $f_o(z)$ จากโมเมนต์ของรากของมันจากสมการต่อไปนี้

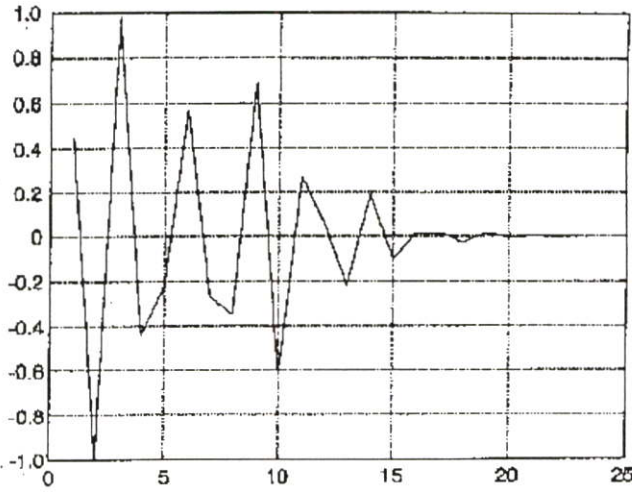
$$S_m^{f_o(z)} = S_m - S_m^{f_{min}(z)} - S_m^{f_{max}(z)} \quad (3.48)$$

อัลกอริทึมที่มีความเหมาะสมจะใช้ในกรณีที่โพลีโนเมียล $f(z)$ ไม่มีซีโรบนวงกลม 1 หน่วยเนื่องจากในกรณีนี้ในการคำนวณหาจำนวนของซีโรในวงกลม 1 หน่วย n_m จะเป็นเรื่องง่ายโดยการอินทิเกรต $\oint_{|z|=1} f'(z)/f(z) dz$ แล้วหา $n_{out} = n = n_m$ หรืออีกนัยหนึ่งคือคำนวณตามขั้นตอนที่ 1 ถึง 3 ของอัลกอริทึม 1 นั่นเอง

รูปที่ 3.1 แสดงสัญญาณซึ่งไม่มีส่วนประกอบเฟสน้อยที่สุด และรูปที่ 3.2 แสดงส่วนประกอบเฟสมากที่สุด



รูปที่ 3.1 แสดงส่วนประกอบเฟสน้อยที่สุด



รูปที่ 3.2 แสดงส่วนประกอบเฟสมากที่สุด

3.4.2 การแปลงทรานสเฟอร์ฟังก์ชัน

การประมาณค่าของการแปลงทรานสเฟอร์ฟังก์ชันเป็นส่วนสำคัญของการประยุกต์ใช้งานหลายประเภท ซึ่งปัญหาดังกล่าวมีรายละเอียดดังต่อไปนี้ ถ้าสัญญาณซึ่งมีเฟสที่น้อยที่สุดซึ่งผ่านการแปลง z จะได้ $f(z)$ โดยฟังก์ชันผกผันของ $f(z)$ คือ $a(z)$ โดยที่

$$f(z)a(z) = z^M \quad (3.49)$$

และ $|f(z)a(z)| = 1$ เมื่อ $|z| = 1$

อย่างไรก็ตามจากความสัมพันธ์ข้างต้นระหว่าง $f(z)$ และ $a(z)$ แสดงถึง

$$S_m^{f(z)} + S_m^{a(z)} = 0 \quad (3.50)$$

ฉะนั้นจึงสามารถคำนวณ $a(z)$ ได้โดยตรงโดยใช้ $S_m^{f(z)}$

แน่นอนว่า เส้นใจดังกล่าวไม่สามารถทำได้โดยตรงในทางปฏิบัติ ฉะนั้นจึงสมมติให้ $f(z)$ เป็นโพลิโนเมียลที่มีอเคอร์ n ดังนี้

$$f(z) = z^n + p_1 z^{n-1} + \dots + p_{n-1} z + p_n \quad (3.51)$$

ถ้า $a(z)$ เป็นโพลิโนเมียลที่มีอเคอร์ p ดังนี้

$$a(z) = z^p + q_1 z^{p-1} + \dots + q_{p-1} z + q_p \quad (3.52)$$

หลังจากนั้นเมื่อใช้สมการที่ (3.49) จะได้โมเมนต์ของรากของโพลิโนเมียลที่ต้องการ

$$S_m^{f(z)} + S_m^{a(z)} = 0 \Rightarrow S_m^{a(z)} = -S_m^{f(z)}, m = 0, \dots, p \quad (3.53)$$

และผลคูณจะได้ดังต่อไปนี้

$$\begin{aligned} f(z)a(z) &= z^{n+p} + \tilde{p}_1 z^{n+p-1} + \dots + \tilde{p}_{n-1} z^{n+1} \\ &+ \tilde{p}_p z^n + \tilde{p}_{n+1} z^{n-1} + \dots \\ &+ \tilde{p}_{n+p-1} z + \tilde{p}_{n+p} \end{aligned} \quad (3.54)$$

และจากคุณสมบัติการเท่ากันของโมเมนต์ของรากทำให้

$$\tilde{p}_1 = \dots = \tilde{p}_p = 0 \quad (3.55)$$

ฉะนั้นผลคูณจากสมการที่ (3.48) จะกลายเป็น

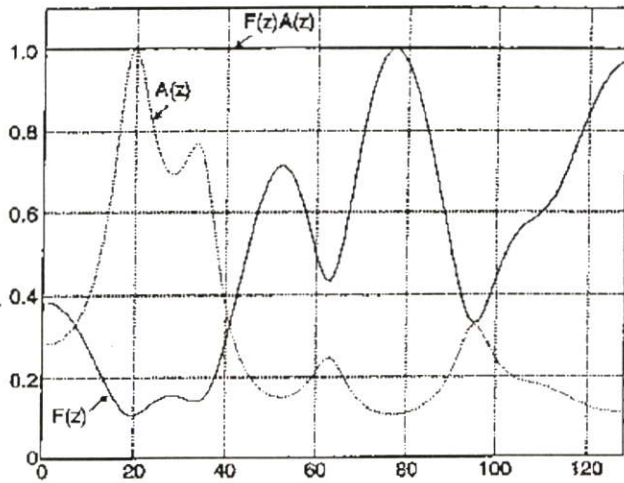
$$f(z)a(z) = z^{n+p} + \tilde{p}_{p+1} z^{n-1} + \dots + \tilde{p}_{n+p-1} z + \tilde{p}_n + p \quad (3.56)$$

จากความสัมพัทธ์ข้างต้นจะได้

$$\begin{aligned} |f(z)a(z)| &= |z^{n+p} + \tilde{p}_{p+1} z^{n-1} + \dots + \tilde{p}_{n+p-1} z + \tilde{p}_n + p| \\ &\leq 1 + |\tilde{p}_p + 1| + \dots + |\tilde{p}_{n+p}| \end{aligned} \quad (3.57)$$

และเนื่องจากเหตุนี้จึงเห็นได้อย่างชัดเจนว่าเมื่อออเดอร์ p ยิ่งมีค่ามาก เงื่อนไขตามสมการที่ (3.48) จะถูกต้องมากขึ้น ซึ่งเป็นการหาค่าของ $a(z)$ ได้โดยตรง

รูปที่ 3.3 แสดงเขตของตัวอย่างของผลลัพธ์ที่ใช้วิธีดังกล่าว เป็นส่วนของสัญญาณเสียงพูด



รูปที่ 3.3 ผลลัพธ์ของสัญญาณเสียงพูด

3.4.3 การตรวจจับการเปลี่ยนแปลงในทันทีของสัญญาณ

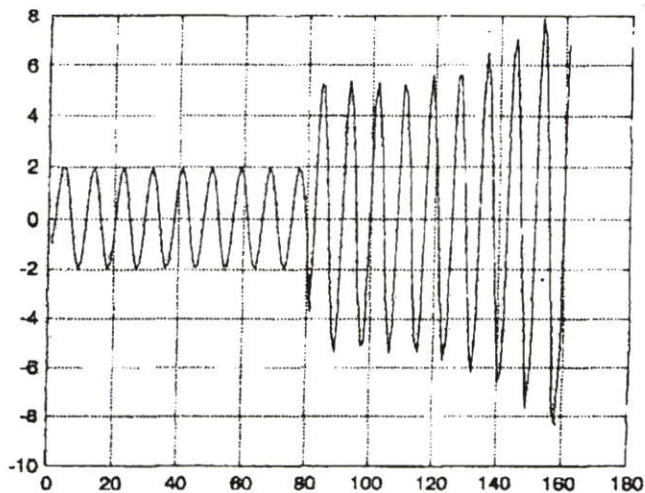
ปัญหาในการตรวจจับการเปลี่ยนแปลงของสัญญาณเป็นปัญหาที่สำคัญประการหนึ่งในการประมวลผลสัญญาณ การเปลี่ยนแปลงดังกล่าวอยู่ในรูปแบบการเปลี่ยนแปลงขนาดของสัญญาณ เช่น เกรเดียนต์ หรือ โควาเรียนซ์ การตรวจจับสัญญาณรบกวนซึ่งไม่สามารถกระทำได้โดยค่าเฉลี่ยมาตรฐาน ปัญหาในการตรวจจับการเปลี่ยนแปลงอย่างทันทีของสัญญาณนี้เป็นลักษณะพื้นฐานของการจัดรูปแบบสัญญาณ การเปลี่ยนแปลงดังกล่าวทำให้เกิดการจัดรูปแบบใหม่ของสัญญาณ การตรวจจับการเปลี่ยนแปลงดังกล่าวสามารถใช้เทคนิคดังเช่น ซิงกูลาร์วาลูดีคอมโพสิชัน (Singular Value Decomposition) หรือ ออโตรีเกรสซีฟโมเดลลิง (Auto Regressive Modeling) ซึ่งต้องใช้อุณหาค่าของเมตริกซ์โควาเรียนซ์ การหาค่าตัวประกอบหรือการแปลงค่า ซึ่งไม่สามารถใช้งานในลักษณะเรียลไทม์ได้

ในทางตรงกันข้าม การใช้วิธีโมเมนต์ของรากดูเหมือนจะตอบสนองต่อการใช้ในลักษณะเรียลไทม์ได้ดีกว่า ถ้าสัญญาณมีการเปลี่ยนแปลงที่ตำแหน่งใดตำแหน่งหนึ่งในเวลา $n-1$ และถ้าค่าออร์มอลโลซ์ของสัญญาณที่ถูกแซมปลิงเป็น $\{p_i\}, i=0, \dots, n-1$ และถ้าให้สัญญาณที่ถูกแซมปลิงหลังจากตำแหน่ง n เป็น $\{\tilde{p}_j\}, j=n, \dots$ จากความสัมพันธ์แบบวนซ้ำ (Newton Identities) ของโมเมนต์ของรากสามารถเขียน

$$\begin{aligned}
 S_{n-1} + p_1 S_{n-2} + p_2 S_{n-3} + \dots + p_{n-2} S_1 + (n-1) p_{n-1} &= 0 \\
 \tilde{S}_n + p_1 S_{n-1} + p_2 S_{n-2} + \dots + p_{n-1} S_1 + n \tilde{p}_n &= 0 \\
 S_n + p_1 S_{n-1} + p_2 S_{n-2} + \dots + p_{n-1} S_1 + n p_n &= 0 \\
 \tilde{S}_n - S_n + n(\tilde{p}_n - p_n) = 0 \Rightarrow \tilde{S}_n - S_n = -n(\tilde{p}_n - p_n) &
 \end{aligned}
 \tag{3.58}$$

เมื่อ \tilde{S}_n คือโมเมนต์ของรากที่เปลี่ยนแปลงหลังจากสัญญาณมีการเปลี่ยนแปลงอย่างทันทีทันใด ถ้าไม่มีค่าของสัญญาณที่ถูกแซมปลิงข้ามไปอย่างเห็นได้ชัด แล้วปริมาณ $(\tilde{p}_n - p_n)$ จะเป็นค่าที่เล็กมาก และจะนั้นจะไม่มี การเปลี่ยนแปลงอย่างทันทีทันใดของโมเมนต์ของราก ณ จุดนั้น แต่ กระนั้นถ้าการเปลี่ยนแปลงมีอยู่ การเปลี่ยนแปลงในค่าใหม่ของพารามิเตอร์จะเพิ่มขึ้นเรื่อยๆ ในแต่ละวงรอบของการวนซ้ำ ซึ่งโมเมนต์ของรากจะมีการเปลี่ยนแปลงที่สูงมาก จากความจริงที่ว่า การเปลี่ยนแปลง ณ จุดที่แน่นอนแสดงให้เห็นว่าสัญญาณ ณ จุดนั้นจะไม่มีเฟสค่าสุด คือมันจะมีซีโรนอกวงกลม 1 หน่วย ซึ่งซีโรเหล่านี้ทำให้เกิดการเพิ่มขึ้นของโมเมนต์ของรากอย่างทันทีทันใด ภายหลังจากสัญญาณเกิดการเปลี่ยนแปลง

ผลลัพธ์ตามรูปที่ 3.5 จะแสดงให้เห็นค่าของโมเมนต์ของรากเพื่อใช้ในการตรวจจับกรณีของสัญญาณไซน์ ซึ่งมีความถี่ออร์มอลไลซ์ 0.11 และเปลี่ยนเป็น 0.115 ณ จุดการเปลี่ยนแปลงที่แซมปลิงที่ 80 ซึ่งแสดงให้เห็นอย่างชัดเจน ณ ตำแหน่งของความถี่ที่มีการเปลี่ยนแปลง



รูปที่ 3.4 แสดงโมเมนต์ของรากของสัญญาณ

การกำจัดฮาร์โมนิกที่ไม่ต้องการของดิจิตอลคอมบ์ฟิลเตอร์

4.1. บทนำ

ดิจิตอลคอมบ์ฟิลเตอร์นั้นถูกออกแบบเพื่อใช้ในการกำจัดฮาร์โมนิกที่ไม่ต้องการออกไป และให้เอาท์พุทเป็นความถี่อื่นๆ และให้เอท์พุทเป็นความถี่อื่นๆที่คงลักษณะเดิม จากลักษณะดังกล่าวได้ถูกนำไปประยุกต์ใช้ในงานหลายประเภท ดังที่กล่าวมาแล้วในบทที่ 2 และนอกจากนี้ในการประยุกต์ใช้ในงานบางประเภทที่มีความต้องการกำจัดความถี่บางฮาร์โมนิกในขณะที่ต้องการรักษาความถี่ฮาร์โมนิกอื่นๆไว้ดังเช่น การประมวลผลสัญญาณบางประเภทที่มีลักษณะโครงสร้างเป็นฮาร์โมนิก อย่างสัญญาณเสียงจากเครื่องดนตรี เอฟเฟลคของสัญญาณเสียง หรือในการกรองสัญญาณรบกวนซึ่งเกิดจากระบบบางประเภทที่มีสัญญาณรบกวนบางช่วง ซึ่งเกิดสัญญาณรบกวนเฉพาะฮาร์โมนิกคือ ดังใน [14] เป็นต้น

ในลำดับต่อไปจะได้กล่าวถึงการกำจัดฮาร์โมนิกที่ไม่ต้องการออกในกรณีที่ $D(D = 2\pi / \omega_0)$ เป็นจำนวนเต็ม และไม่เป็นจำนวนเต็มว่ามีความแตกต่างกันอย่างไร และวิธีการกำจัดฮาร์โมนิกที่ไม่ต้องการของดิจิตอลคอมบ์ฟิลเตอร์โดยวิธีโอมเมนต์ของราก

4.2. การกำจัดฮาร์โมนิกที่ไม่ต้องการของดิจิตอลคอมบ์ฟิลเตอร์

พิจารณาทรานสเฟอร์ฟังก์ชันของดิจิตอลคอมบ์ฟิลเตอร์ในกรณีที่ D เป็นจำนวนเต็มคือ

$$\frac{1 - z^{-D}}{1 - R^D z^{-D}} \quad (4.1)$$

เมื่อ $D = 2\pi / \omega_0$ จะพบว่าจากสมการที่ 4.1 สัมประสิทธิ์ของเทอมเศษและส่วนจะอยู่ในรูปแบบดังนี้

$$\begin{aligned} \text{สัมประสิทธิ์ของเทอมเศษ} & \quad \overbrace{[1 \ 0 \ 0 \ 0 \ \dots \ -1]}^{D+1} \\ \text{สัมประสิทธิ์ของเทอมส่วน} & \quad \overbrace{[1 \ 0 \ 0 \ 0 \ \dots \ -R^D]}^{D+1} \end{aligned} \quad (4.2)$$

และลำดับต่อไปจะพิจารณาทรานสเฟอร์ฟังก์ชันของดิจิตอลคอมบ์ฟิลเตอร์ในกรณีที่ D ไม่เป็นจำนวนเต็มคือ

$$H_c(z) = \frac{b_0 + b_1 z^{-1} + b_2 z^{-2} + \dots + b_N z^{-N}}{a_0 + a_1 z^{-1} + a_2 z^{-2} + \dots + a_N z^{-N}} \quad (4.3)$$

ซึ่งได้จากการออกแบบ z^{-D} เมื่อ D ไม่เป็นจำนวนเต็มแล้วแทนค่าลงในสมการที่ 4.1 และสัมประสิทธิ์ของเทอมเศษและเทอมส่วนจะอยู่ในรูปแบบดังนี้

$$\begin{aligned} \text{สัมประสิทธิ์ของเทอมเศษ} & \quad [b_0 \quad b_1 \quad b_2 \quad \dots \quad b_N] \\ \text{สัมประสิทธิ์ของเทอมส่วน} & \quad [a_0 \quad a_1 \quad a_2 \quad \dots \quad a_N] \end{aligned} \quad (4.4)$$

4.2.1. การกำจัดฮาร์โมนิกที่ไม่ต้องการของดิจิตอลคอมบ์ฟิลเตอร์เมื่อ D เป็นจำนวนเต็ม

จากสมการที่ (4.1) เมื่อต้องการรักษาสัญญาณที่ฮาร์โมนิกที่ k จะได้ทรานสเฟอร์ฟังก์ชันเมื่อต้องการกำจัดฮาร์โมนิกที่ k คือ

$$\begin{aligned} H'_c(z) &= \frac{1 - z^{-D}}{1 - R^D z^{-D}} \times \frac{(1 - Re^{jk\omega_s} z^{-1})(1 - Re^{-jk\omega_s} z^{-1})}{(1 - e^{jk\omega_s} z^{-1})(1 - e^{-jk\omega_s} z^{-1})} \\ &= \frac{1 - z^{-(D-2)}}{1 - R^{D-2} z^{-(D-2)}} \end{aligned} \quad (4.5)$$

หรือจะได้ทรานสเฟอร์ฟังก์ชันใหม่ในกรณีนี้ที่ D เป็นจำนวนเต็มและต้องการกำจัดฮาร์โมนิกจำนวน n ฮาร์โมนิกคือ

$$\frac{1 - z^{-(D-2n)}}{1 - R^{D-2n} z^{-(D-2n)}} \quad (4.6)$$

จะพบว่าในกรณีนี้ที่ D เป็นจำนวนเต็มเมื่อต้องการกำจัดฮาร์โมนิกบางฮาร์โมนิกของดิจิตอลคอมบ์ฟิลเตอร์ออก ค่าสัมประสิทธิ์ของทรานสเฟอร์ฟังก์ชันใหม่จะสามารถคำนวณได้อย่างง่ายดายโดยมีการเปลี่ยนแปลงเฉพาะจำนวนพจน์และค่ายกกำลังของ R เท่านั้น

4.2.2. การกำจัดฮาร์โมนิกที่ไม่ต้องการของดิจิตอลคอมบ์ฟิลเตอร์เมื่อ D ไม่เป็นจำนวนเต็ม

จากสมการที่ (4.3) เมื่อต้องการกำจัดฮาร์โมนิกที่ k จะได้ทรานสเฟอร์ฟังก์ชันของดิจิตอลคอมบ์ฟิลเตอร์ดังนี้

$$H'_c(z) = \frac{b_0 + b_1 z^{-1} + b_2 z^{-2} + \dots + b_N z^{-N}}{a_0 + a_1 z^{-1} + a_2 z^{-2} + \dots + a_N z^{-N}} \times \frac{(1 - \rho e^{jk\omega_c} z^{-1})(1 - \rho e^{-jk\omega_c} z^{-1})}{(1 - e^{jk\omega_c} z^{-1})(1 - e^{-jk\omega_c} z^{-1})} \quad (4.7)$$

$$H'_c(z) = \frac{b_{0_{new}} + b_{1_{new}} z^{-1} + b_{2_{new}} z^{-2} + \dots + b_{N_{new}} z^{-(N-2)}}{a_{0_{new}} + a_{1_{new}} z^{-1} + a_{2_{new}} z^{-2} + \dots + a_{N_{new}} z^{-(N-2)}} \quad (4.8)$$

ถ้าจำนวนฮาร์โมนิกที่ต้องการกำจัดออกคือ p จะได้ออเดิร์ฟของทรานส์เฟอร์ฟังก์ชันกลายเป็น $N-2p$

สัมประสิทธิ์ของทั้งเทอมเศษ และเทอมส่วน นั้นสามารถหาได้จากการแยกส่วนประกอบของโพลีโนเมียลแล้วคูณกลับไปใหม่ และในลำดับต่อไปนี้จะกล่าวถึงการใช้วิธีของการหาโมเมนต์ของรากเพื่อคำนวณค่าของสัมประสิทธิ์ดังกล่าว

4.3. การกำจัดฮาร์โมนิกที่ต้องการของดิจิตอลคอมบ์ฟิลเตอร์โดยใช้โมเมนต์ของราก [15],[16]

จากขั้นตอนการกำจัดฮาร์โมนิกที่ไม่ต้องการของดิจิตอลคอมบ์ฟิลเตอร์ในหัวข้อที่ 4.2 ที่กล่าวมาแล้วนั้นพบว่า การคำนวณค่าสัมประสิทธิ์ของดิจิตอลคอมบ์ฟิลเตอร์ใหม่ภายหลังจากกำจัดฮาร์โมนิกที่ k ออกไป จะได้มาจากกระบวนการการคูณขึ้นใหม่ของตัวประกอบของรากซึ่งมีความซับซ้อน โดยเฉพาะในกรณีที่ค่า N มีค่าสูงและค่าของ k มีค่าต่ำ และในกรณีของการกำจัดฮาร์โมนิกที่ k ใหม่กระทำกับดิจิตอลคอมบ์ฟิลเตอร์เดิมก็จะต้องทำการคูณตัวประกอบของรากขึ้นใหม่ทุกครั้ง ฉะนั้นจึงได้นำวิธีการของการหาโมเมนต์ของรากมาประยุกต์ใช้ในกรณีดังกล่าว เนื่องจากวิธีการหาโมเมนต์ของรากแสดงถึงความสัมพันธ์ของรากและสัมประสิทธิ์ในรูปแบบการคำนวณที่การได้มาซึ่งสัมประสิทธิ์ไม่ต้องคูณตัวประกอบของราก และเมื่อนำมาประยุกต์ใช้กับดิจิตอลคอมบ์ฟิลเตอร์แล้วพบว่าทำให้ขั้นตอนการหาสัมประสิทธิ์มีความเหมาะสมที่จะนำไปประยุกต์ใช้กับตัวประมวลผลสัญญาณดิจิตอลเนื่องจากเปลี่ยนรูปการคำนวณให้อยู่ในรูปแบบการคูณ การบวก และการลบ โดยเฉพาะอย่างยิ่งในกรณีของการกำจัดฮาร์โมนิกอื่นเพิ่มเติมจากที่เคยกำจัดไว้แล้ว เราสามารถนำโมเมนต์ของรากของฮาร์โมนิกที่ต้องการกำจัดเพิ่มไปลบออกจากโมเมนต์ของฟิลเตอร์ที่ได้กำจัดบางฮาร์โมนิกไปแล้ว หลังจากนั้นสัมประสิทธิ์ของทรานส์เฟอร์ฟังก์ชันใหม่สามารถคำนวณได้จากกระบวนการวนซ้ำ

ในขั้นตอนการหาค่าสัมประสิทธิ์ของฟิลเตอร์ เราคำนวณเฉพาะสัมประสิทธิ์ของเทอมเศษเท่านั้นเนื่องจากสัมประสิทธิ์ของเทอมส่วน สามารถคำนวณได้จาก สัมประสิทธิ์ของเทอมเศษ และ R โดยวิธีการหาสัมประสิทธิ์ที่มีขั้นตอนดังนี้

1) จากสมการที่ (3.8) และ(4.7) โมเมนต์ของรอกของ $b_0 + b_1 z^{-1} + b_2 z^{-2} + \dots + b_N z^{-N}$ คำนวณได้ดังนี้

$$S_m^n = 1 + \sum_{i=1}^M 2 \cos(mi\omega_0) \quad (4.9)$$

เมื่อ m คืออันดับ(Order) ของโมเมนต์ของรอกดังนั้นจะได้

$$S_1^n, S_2^n, S_3^n, \dots, S_N^n \quad (4.10)$$

ในกรณีเดียวกันจากสมการที่ (4.7) โมเมนต์ของสัมประสิทธิ์ของรอกของ $(1 - e^{jk\omega_0} z^{-1})(1 - e^{-jk\omega_0} z^{-1})$ คำนวณได้ดังนี้

$$S_m^d = 2 \cos(mk\omega_0) \quad (4.11)$$

เมื่อ k คือฮาร์โมนิกที่ต้องการกำจัดออก

ถ้าเราต้องการกำจัดฮาร์โมนิกที่ k_1, k_2, \dots, k_m โมเมนต์ของรอกจะกลายเป็น

$$S_m^d = 2 \cos(mk_1\omega_0) + 2 \cos(mk_2\omega_0) + \dots + 2 \cos(mk_m\omega_0) \quad (4.12)$$

และในกรณีที่คล้ายกันถ้าต้องการนำส่วนประกอบ DC ออก จะกลายเป็น

$$S_m^d = 1 + 2 \cos(mk_1\omega_0) + 2 \cos(mk_2\omega_0) + \dots + 2 \cos(mk_m\omega_0) \quad (4.13)$$

และเราจะได้โมเมนต์ของรอกดังนี้

$$S_1^d, S_2^d, S_3^d, \dots, S_N^d \quad (4.14)$$

2) เมื่อพิจารณาคูณสมบัติของโมเมนต์ของรอกและการหารของสัญญาณ ฉะนั้น โมเมนต์ของรอกดังในสมการที่ คำนวณได้ดังนี้

$$S_m^n = S_m^n - S_m^d \quad (4.15)$$

จะได้โมเมนต์ของเทอมเศษที่คำนวณใหม่ดังนี้

$$S_1^{n'}, S_2^{n'}, S_3^{n'}, \dots, S_N^{n'} \quad (4.16)$$

3) จากสมการ Newton Identities ดังใน (3.16) สัมประสิทธิ์ของเทอมเศษ ดัง สมการที่ (4.7) สามารถได้ดังนี้

$$b_m = (-S_m^{n'} - b_1 S_{m-1}^{n'} - b_2 S_{m-2}^{n'} - \dots - b_{m-1} S_1^{n'}) / m \quad (4.17)$$

ฉะนั้นเราคำนวณหาสัมประสิทธิ์ของเทอมเศษ ได้จาก

$$a_m = b_m \times \rho^m \quad (4.18)$$

เช่น

$$a_2 = b_2 \times \rho^2 \quad (4.19)$$

และนอกจากนี้จากความสัมพันธ์ของคิจิตอสนอทซ์และคอมบ์ฟิลเตอร์ซึ่งมีลักษณะเป็นฟิลเตอร์ซึ่งเป็นคู่กัน (Complementary) ดังสมการต่อไปนี้

$$H_{notch}(\omega) + H_{comb}(\omega) = 1 \quad (4.20)$$

ฉะนั้นจากสมการที่ 4.20 เมื่อเราหาทรานสเฟอร์ฟังก์ชันของคอมบ์ฟิลเตอร์ซึ่งมีการกำจัดฮาร์โมนิกที่ k ได้คือ

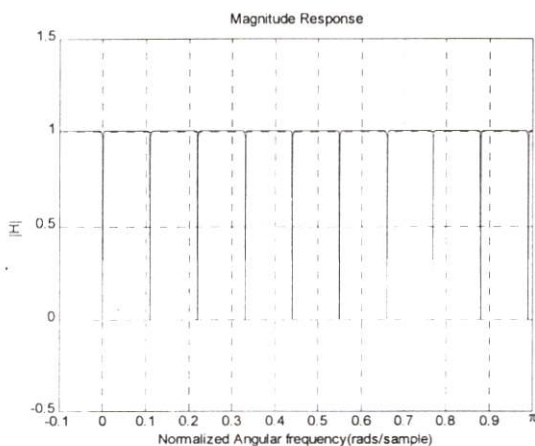
$$H_{comb}(z) = \frac{b(z)}{a(z)} \quad (4.21)$$

จะได้ทรานสเฟอร์ฟังก์ชันของนอทซ์ฟิลเตอร์ที่เป็นคู่กันได้จาก

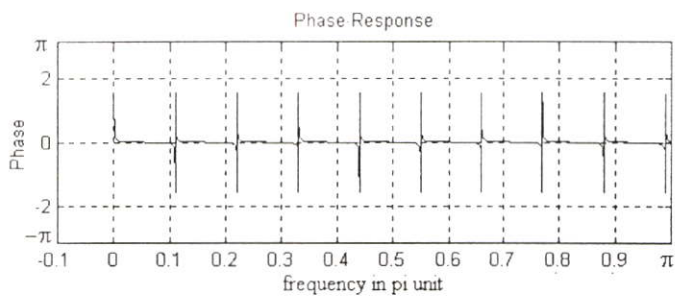
$$H_{notch}(z) = \frac{a(z) - b(z)}{a(z)} \quad (4.22)$$

4.4. ผลการทดลอง

4.4.1 ผลการจำลองการทำงานโดยใช้โปรแกรม MatLab [17],[18],[19]



รูปที่ 4.1 ผลตอบสนองขนาดของคิจิตอลคอมบ์ฟิลเตอร์ซึ่ง $\omega_0 = 0.11\pi$ และ $R = 0.999$

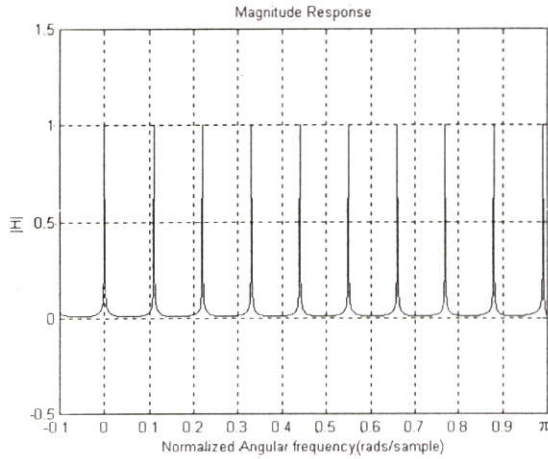


รูปที่ 4.2 ผลตอบสนองเฟสของคิจิตอลคอมบ์ฟิลเตอร์ซึ่ง $\omega_0 = 0.11\pi$ และ $R = 0.999$

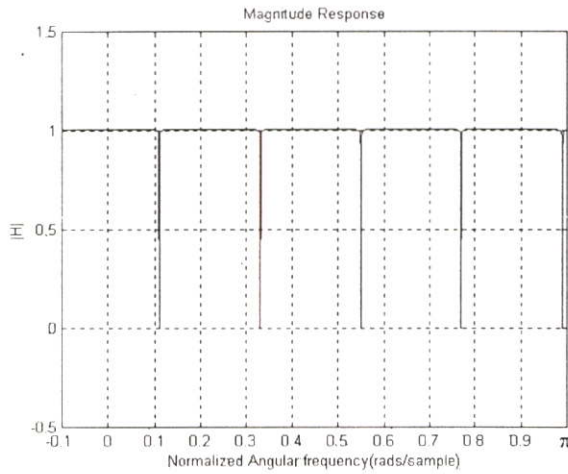
โดยมีค่าสัมประสิทธิ์ของฟิลเตอร์ในรูปที่ 4.1 คือ

$$\begin{aligned}
 b_0 &= -b_{19} = 1.0000e + 0, & b_1 &= -b_{18} = 8.1953e - 1, \\
 b_2 &= -b_{17} = -7.5994e - 2, & b_3 &= -b_{16} = 3.1104e - 2, \\
 b_4 &= -b_{15} = -1.7963e - 2, & b_5 &= -b_{14} = 1.2343e - 2, \\
 b_6 &= -b_{13} = -9.4831e - 3, & b_7 &= -b_{12} = 7.9917e - 3, \\
 b_8 &= -b_{11} = -7.0581e - 3, & b_9 &= -b_{10} = 6.6784e - 3
 \end{aligned}$$

$$\begin{aligned}
 a_0 &= 1.0000e+0, & a_1 &= 8.1871e-1, & a_2 &= -7.5842e-2, \\
 a_3 &= 3.1011e-2, & a_4 &= -1.7891e-2, & a_5 &= 1.2281e-2, \\
 a_6 &= -9.4264e-3, & a_7 &= 7.8565e-3, & a_8 &= -7.0018e-3, \\
 a_9 &= 6.6185e-3, & a_{10} &= -6.6119e-3, & a_{11} &= 6.9808e-3, \\
 a_{12} &= -7.8173e-3, & a_{13} &= 9.3606e-3, & a_{14} &= -1.2171e-2, \\
 a_{15} &= 1.7695e-2, & a_{16} &= -3.0610e-2, & a_{17} &= 7.4713e-2, \\
 a_{18} &= -8.0490e-1, & a_{19} &= -9.8117e-1
 \end{aligned}$$



รูปที่ 4.3 ผลตอบสนองขนาดของดิจิตอลนอร์ซฟิลเตอร์ซึ่ง $\omega_0 = 0.11\pi$ และ $R = 0.999$

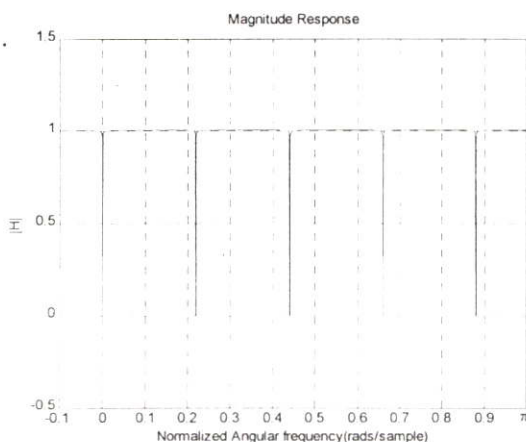


รูปที่ 4.4 แสดงผลตอบสนองขนาดของดิจิตอลคอมบ์ฟิลเตอร์ซึ่ง $\omega_0 = 0.11\pi$ และ $R = 0.999$ และ
กำจัด ฮาร์โมนิกคู่

ซึ่งคำนวณค่าโมเมนต์ของรากและสัมประสิทธิ์ของเทอมเศษในรูปที่ 4.4 ได้ดังนี้

$$\begin{aligned}
S_1'' &= -9.1226e-001, & S_2'' &= 9.2213e-001, & S_3'' &= -9.3991e-001, \\
S_4'' &= 9.6821e-001, & S_5'' &= -1.0125e+000, & S_6'' &= 1.0853e+000, \\
S_7'' &= -1.2234e+000, & S_8'' &= 1.5967e+000, & S_9'' &= -9.8379e+000, \\
S_{10}'' &= -1.1879e-014, & S_{11}'' &= -5.0418e-001, & S_{12}'' &= 6.9616e-001, \\
S_{13}'' &= -8.2898e-001, & S_{14}'' &= 9.5862e-001, & S_{15}'' &= -1.1223e+000, \\
S_{16}'' &= 1.3893e+000, & S_{17}'' &= -2.0371e+000, & S_{18}'' &= 9.3611e+000, \\
S_{19}'' &= 1.1076e+000
\end{aligned}$$

$$\begin{aligned}
b_0 &= b_{10} = 1.0000e+0, & b_1 &= b_9 = 9.1226e-1, \\
b_2 &= b_8 = -4.4954e-2, & b_3 &= b_7 = 1.9226e-2, \\
b_4 &= -b_6 = -1.2944e-2, & b_5 &= 1.1484e-2
\end{aligned}$$

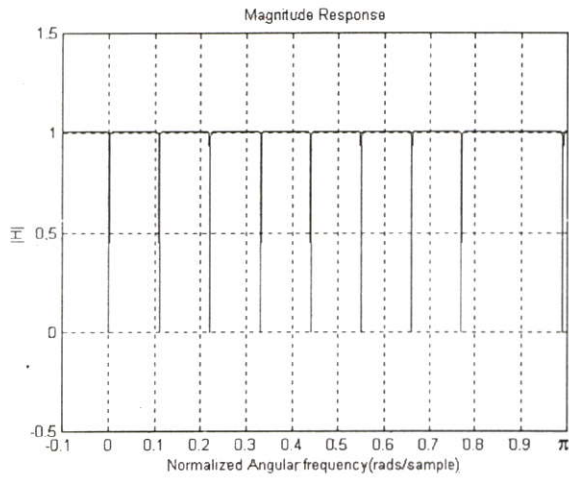


รูปที่ 4.5 แสดงผลตอบสนองขนาดของคิจิตอลคอมบ์ฟิลเตอร์ซึ่ง $\omega_0 = 0.11\pi$ และ $R = 0.999$ และกำจัด ฮาร์โมนิกคือ

ซึ่งคำนวณค่าโมเมนต์ของรากและสัมประสิทธิ์ของเทอมเศษในรูปที่ 4.4 ได้ดังนี้

$$\begin{aligned}
S_1'' &= 9.2729e-2, & S_2'' &= -9.8507e-2, & S_3'' &= 1.0933e-1, \\
S_4'' &= -1.2759e-1, & S_5'' &= 1.5838e-1, & S_6'' &= -2.1383e-1, \\
S_7'' &= 3.2986e-1, & S_8'' &= -6.7556e-1, & S_9'' &= 8.8820e+0, \\
S_{10}'' &= 1.0000e+0, & S_{11}'' &= -5.5267e-1, & S_{12}'' &= 4.3600e-1, \\
S_{13}'' &= -4.0695e-1, & S_{14}'' &= 4.2916e-1, & S_{15}'' &= -5.0953e-1, \\
S_{16}'' &= 7.0376e-1, & S_{17}'' &= -1.2817e+0, & S_{18}'' &= 8.5336e+0, \\
S_{19}'' &= 3.3972e+0
\end{aligned}$$

$$\begin{aligned}
 b_0 &= -b_9 = 1.0000e + 0, & b_1 &= -b_8 = -9.2729e - 2, \\
 b_2 &= -b_8 = 5.3553e - 2, & b_3 &= -b_6 = -4.1145e - 2, \\
 b_4 &= -b_5 = 3.6706e - 2,
 \end{aligned}$$



รูปที่ 4.6 แสดงผลตอบสนองขนาดของคิจิคอลคอมป์ฟิลเตอร์ซึ่ง $\omega_0 = 0.11\pi$ และ $R = 0.999$ และ
 กำจัดฮาร์โมนิกที่ 8

ซึ่งคำนวณค่าโมเมนต์ของรากและสัมประสิทธิ์ของเทอมเศษในรูปที่ 4.5 ได้ดังนี้

$$\begin{aligned}
 S_1^{n'} &= 1.0400e+000 & S_2^{n'} &= -6.3432e-001, & S_3^{n'} &= 2.0986e-002, \\
 S_4^{n'} &= 7.1503e-001, & S_5^{n'} &= -1.4721e+000, & S_6^{n'} &= 2.1463e+000, \\
 S_7^{n'} &= -2.6461e+000, & S_8^{n'} &= 2.9054e+000, & S_9^{n'} &= -2.8931e+000, \\
 S_{10}^{n'} &= 2.6180e+000, & S_{11}^{n'} &= -2.1285e+000, & S_{12}^{n'} &= 1.5069e+000, \\
 S_{13}^{n'} &= -8.6117e-001, & S_{14}^{n'} &= 3.1613e-001, & S_{15}^{n'} &= -1.3818e-002, \\
 S_{16}^{n'} &= 1.5591e-001, & S_{17}^{n'} &= -1.3346e+000, & S_{18}^{n'} &= 1.6142e+001, \\
 S_{19}^{n'} &= 4.3972e+000
 \end{aligned}$$

$$\begin{aligned}
 b_0 &= -b_{17} = 1.0000e + 0, & b_1 &= -b_{16} = -1.0400e + 0, \\
 b_2 &= -b_{15} = 8.5798e - 1, & b_3 &= -b_{14} = -5.2434e - 1, \\
 b_4 &= -b_{13} = 9.9087e - 2, & b_5 &= -b_{12} = 3.5242e - 1, \\
 b_6 &= -b_{11} = -7.6392e - 1, & b_7 &= -b_{10} = 1.0760e + 0, \\
 b_8 &= -b_9 = -1.2441e + 0,
 \end{aligned}$$

4.4.2 ผลการทดลองโดยใช้ตัวประมวลผลสัญญาณดิจิทัล (TMS320C31:Texas Instrument)[20], [21]

การกำหนดตัวแปรต่างๆ

| | |
|------------|---|
| F_s | คือความถี่แซมปลิง |
| Order | คือออเดอร์ของฟิลเตอร์ |
| n | คือจำนวนฮาร์โมนิกที่ต้องการกำจัด |
| k | คือฮาร์โมนิกที่ต้องการกำจัด |
| S_m^n | คือ โมเมนต์ของรากของคอมบ์ฟิลเตอร์ |
| S_m^d | คือ โมเมนต์ของรากของฮาร์โมนิกที่ต้องการกำจัด |
| $S_m^{n'}$ | คือ โมเมนต์ของรากผลลัพท์ |
| NewOrder | คือออเดอร์ของฟิลเตอร์หลังจากกำจัดฮาร์โมนิกที่ไม่ต้องการแล้ว |
| a_n | คือสัมประสิทธิ์ของเทอมส่วน |

การคำนวณความถี่แซมปลิง

$$SCF_{new} = \frac{288(kHz) \times Bw}{3600(Hz)} \quad (4.23)$$

$$TA = \frac{6.25(MHz)}{2 \times SCF_{new}} \quad (4.24)$$

$$TB = \frac{6.25(MHz)}{2 \times TA \times TB} \quad (4.25)$$

เมื่อ SCF_{new} คือค่าความถี่ของสวิทช์คาปาซิเตอร์ฟิลเตอร์

TA คือค่าของรีจิสเตอร์ TA ซึ่งเป็นรีจิสเตอร์ที่ใช้ในการกำหนดความถี่แซมปลิง

TB คือค่าของรีจิสเตอร์ TB ซึ่งเป็นรีจิสเตอร์ที่ใช้ในการกำหนดความถี่แซมปลิง

Bw คือแบนด์วิดท์

กำหนดค่าของแบนด์วิดท์แล้วคำนวณ TA และ TB ตามสมการที่ (4.23)-(4.25)ซึ่งเป็นค่าทศนิยม ประมาณค่าของ TA และ TB ให้เป็นจำนวนเต็มแล้วจึงคำนวณหาค่าของความถี่แซมปลิงจริงจากสมการต่อไปนี้

$$F_s = \frac{MCLK}{2 \times TA \times TB} = \frac{6.25(MHz)}{2 \times TA \times TB} \quad (4.26)$$

ซึ่งในที่นี้ได้กำหนดค่าตัวแปรในการคำนวณความถี่แซมปลิงดังนี้

$$Bw = 2909\text{Hz}$$

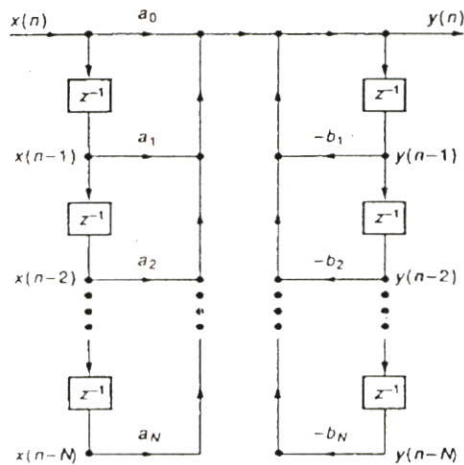
$$TA = 13 = 1A34h$$

$$TB = 41 = 52A6h$$

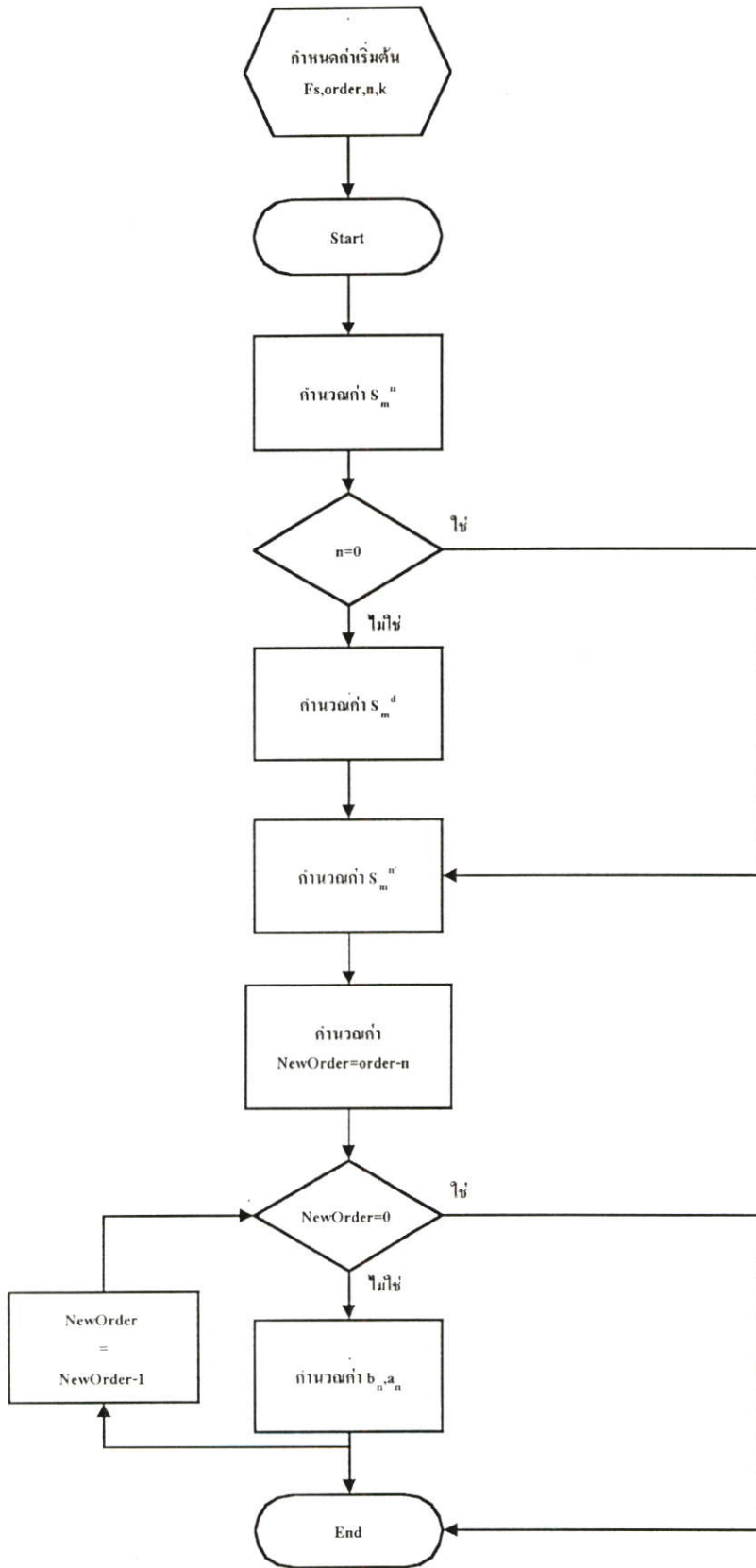
$$F_s(\text{Real}) = 5863\text{Hz}$$

รูปแบบของฟิลเตอร์ที่ใช้ในการสร้าง

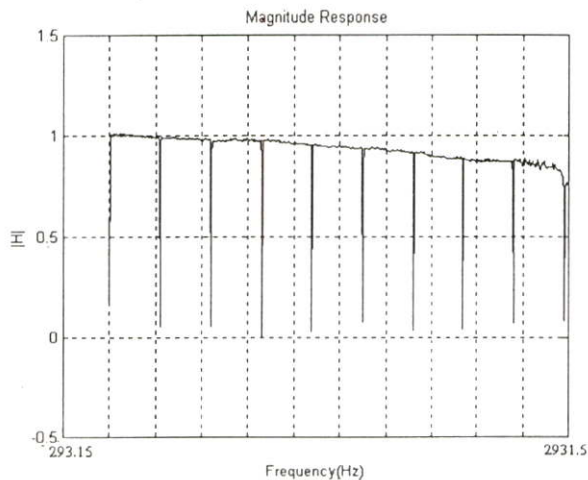
ใช้รูปแบบ Direct-Form I ดังรูป



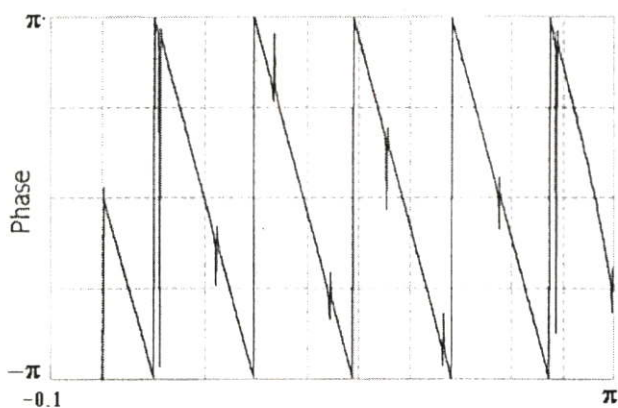
รูปที่ 4.7 แสดงรูปแบบในการสร้างไอโออาร์ฟิลเตอร์ (Direct Form-I)



รูปที่ 4.8 แสดงโฟลชาทการคำนวณสัมประสิทธิ์โดยใช้ตัวประมวลผลสัญญาณดิจิทัล

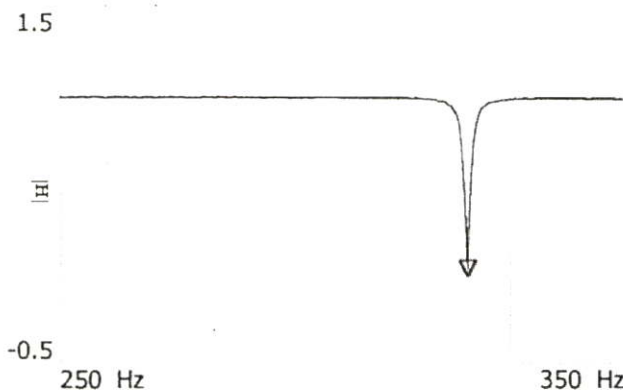


รูปที่ 4.9 แสดงผลตอบสนองขนาดของดิจิทัลคอมบ์ฟิลเตอร์เมื่อกำหนดให้ $F_s=5863$ Hz และ $\omega_0 = 0.11\pi$ (322.5 Hz)

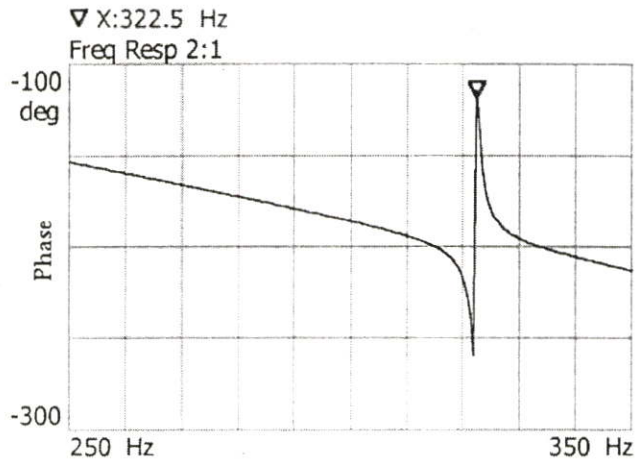


รูปที่ 4.10 แสดงผลตอบสนองเฟสของดิจิทัลคอมบ์ฟิลเตอร์เมื่อกำหนดให้ $F_s=5863$ และ $\omega_0 = 0.11\pi$ (322.5 Hz)

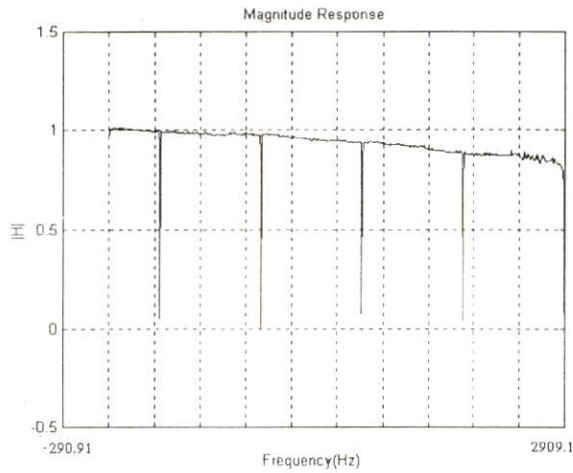
▽ X:322.5 Hz



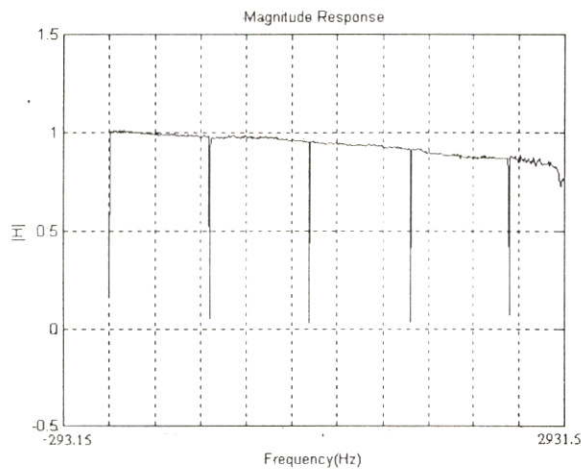
รูปที่ 4.11 แสดงผลตอบสนองขนาดของดิจิทัลคอมบ์ฟิลเตอร์ที่ตำแหน่งฮาร์โมนิกหลักมูลเมื่อกำหนดให้ $F_s=5863$ Hz และ $\omega_0 = 0.11\pi$ (322.5 Hz)



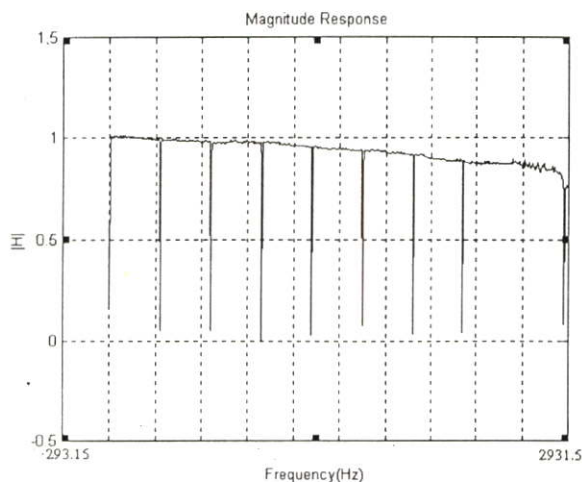
รูปที่ 4.12 แสดงผลตอบเฟสของดิจิตอลคอมบ์ฟิลเตอร์ที่ตำแหน่งฮาร์โมนิกหลักมูลเมื่อกำหนดให้ $F_s=5863$ Hz และ $\omega_0 = 0.11\pi$ (322.5 Hz)



รูปที่ 4.13 แสดงผลตอบสนองขนาดของดิจิตอลคอมบ์ฟิลเตอร์เมื่อกำหนดให้ $F_s=5863$ Hz และ $\omega_0 = 0.11\pi$ (322.5 Hz) และกำจัดฮาร์โมนิกคู่



รูปที่ 4.14 แสดงผลตอบสนองขนาดของดิจิตอลคอมบ์ฟิลเตอร์เมื่อกำหนดให้ $F_s=5863$ Hz และ $\omega_0 = 0.11\pi$ (322.5 Hz) และกำจัดฮาร์โมนิกคี่



รูปที่ 4.15 แสดงผลตอบสนองขนาดของดิจิทัลคอมบ์ฟิลเตอร์เมื่อกำหนดให้ $F_s=5863\text{Hz}$ และ $\omega_0 = 0.11\pi$ (3202.5 Hz) และกําลังฮาร์โมนิกที่ 8

4.5 สรุปผลการทดลอง

จากผลการจำลองการทำงานโดยใช้โปรแกรม MatLab นั้นให้ผลตอบสนองที่ดีคือฟิลเตอร์มีการลดทอนที่ดีทั้งในช่วงความถี่ผ่านและการลดทอน ณ ตำแหน่งของฮาร์โมนิก ซึ่งเมื่อพิจารณาผลการทดลองโดยการสร้างบนตัวประมวลสัญญาณดิจิทัล(TMS320C31:Texas InStrument) แล้วพบว่าผลตอบสนองขนาดให้ผลตอบสนองที่ไม่เป็นไปตามค่าทฤษฎีโดยเฉพาะช่วงความถี่ผ่านในช่วงความถี่สูง ทั้งนี้เนื่องจากข้อจำกัดทางด้านฮาร์ดแวร์หลายประการดังเช่น คุณลักษณะของวงจรแปลงดิจิทัล/อนาลอก และวงจรแปลงอนาลอกเป็นดิจิทัล และนอกจากนี้ยังเกิดความผิดพลาดเนื่องจากการคำนวณค่าของตัวประมวลผลซึ่งแม้ว่าจะสามารถคำนวณในลักษณะของรูปแบบ Floating Point ก็ตาม

บทที่ 5

การประยุกต์ใช้ในงานประเภทอื่นๆ

ในบทนี้กล่าวถึงการประยุกต์ใช้งานของฟิลเตอร์และ การกำจัดฮาร์โมนิกของดิจิตอลคอมบ์ฟิลเตอร์ในบทที่ 4 โดยส่วนใหญ่แล้วการนำไปใช้งานมักจะอยู่ในส่วนของการประยุกต์ใช้กับการวิเคราะห์ สังเคราะห์ ปรับแต่งสัญญาณเสียง โดยเฉพาะสัญญาณเสียงจากเครื่องดนตรีซึ่งมีลักษณะเป็นฮาร์โมนิก ซึ่งในบางครั้งมีความจำเป็นในการกรองเพียงบางฮาร์โมนิกเพื่อสร้างโครงสร้างฮาร์โมนิกที่มีลักษณะตามต้องการ นอกจากนี้สามารถนำไปประยุกต์ใช้ในการออกแบบดิจิตอลฟิลเตอร์ชนิดอื่นดังจะได้อีกกล่าวต่อไป

5.1 การออกแบบออลพาสฟิลเตอร์ที่มีเฟสดีเลิศตามต้องการ

ออลพาสฟิลเตอร์ที่มีเฟสดีเลิศตามต้องการหรือ z^{-D} ได้ถูกนำไปใช้ในการประมวลผลสัญญาณดิจิตอลในงานประเภทต่างๆ ดังเช่น การซิงโครไนซ์ของดิจิตอลโมเด็ม การแปลงอัตราแซมปลิง การสังเคราะห์สัญญาณเสียงเครื่องดนตรี เป็นต้น [1] จาก [2] สามารถออกแบบดิจิตอลคอมบ์ฟิลเตอร์โดยใช้ z^{-D} ดังนั้นในขณะเดียวกันก็สามารถออกแบบ z^{-D} จากดิจิตอลคอมบ์ฟิลเตอร์ได้เช่นเดียวกัน โดยการออกแบบดิจิตอลคอมบ์ฟิลเตอร์โดยใช้โมเมนต์ของรากในบทที่ 4

เมื่อต้องการออกแบบ z^{-D} ซึ่งก็คือออลพาสฟิลเตอร์ที่มีเฟสดีเลิศ D เมื่อ

$$z^{-D} = e^{-j\omega D} \quad (5.1)$$

เฟสของมันสามารถคำนวณได้จาก

$$\angle z^{-D} = -\omega D \quad (5.2)$$

และคำนวณเฟสดีเลิศได้จาก

$$\text{phd}(z^{-D}) = -\frac{\angle z^{-D}}{\omega} = -\frac{\omega D}{\omega} = D = \frac{2\pi}{\omega_0} \quad (5.3)$$

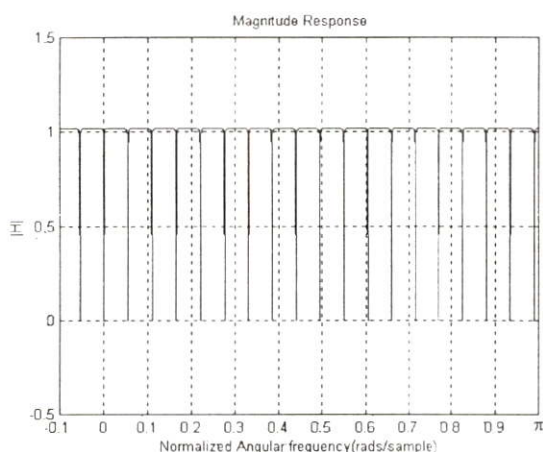
เมื่อทราบสเฟออร์ฟังก์ชันของคอมบ์ฟิลเตอร์ที่ออกแบบโดยวิธีโมเมนต์ของรากคือ

$$H_c(z) = \frac{b(z)}{a(z)} \quad (5.4)$$

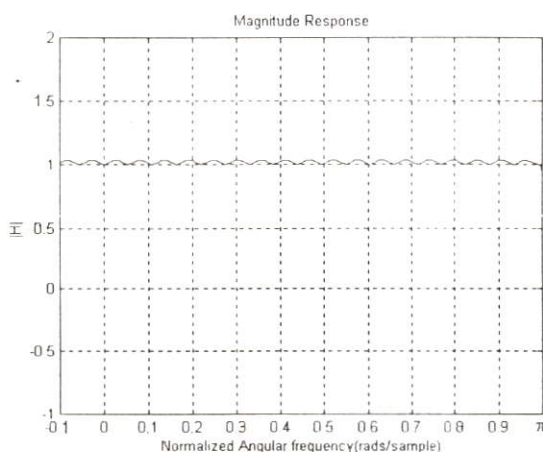
ออลพาสฟิลเตอร์ที่มีเฟสดีเลย์ D คำนวณได้จาก

$$z^{-D} = \frac{b(z) - a(z)}{b(z)R^D - a(z)} \quad (5.5)$$

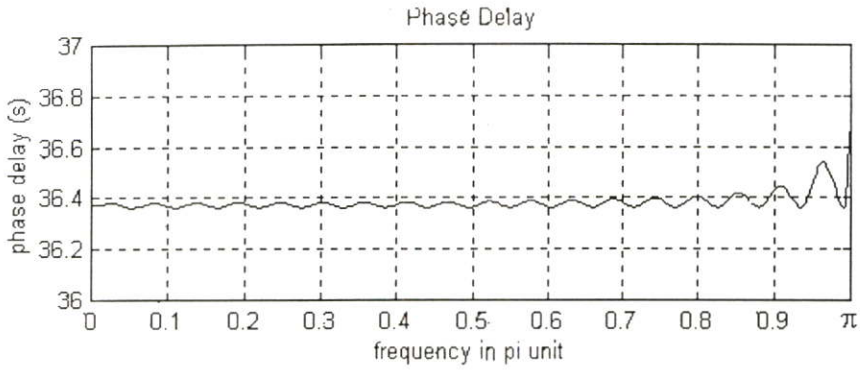
และนอกจากนี้การกำจัดบางฮาร์โมนิกของดิจิทัลคอมบ์ฟิลเตอร์ คือการเปลี่ยนแปลงค่า D ของออลพาสฟิลเตอร์โดยที่ฮาร์โมนิกที่คงเหลือต้องมีช่วงความถี่ที่เท่ากัน ดังเช่นจากรูปที่ 5.1 ซึ่งก็คือคอมบ์ฟิลเตอร์ที่มีค่าของ ω_0 คือ 0.055π และสามารถออกแบบออลพาสฟิลเตอร์ที่มีค่า D เท่ากับ 36.364 ที่มีผลตอบสนองขนาดรูปที่ 5.2 และเฟสดีเลย์ดังรูปที่ 5.3 เมื่อกำจัดฮาร์โมนิกที่จะได้ออลพาสฟิลเตอร์ที่มีค่า D ลดลงเป็นครึ่งหนึ่งดังรูปที่ 5.4 และเมื่อกำจัดฮาร์โมนิกให้เหลือเฉพาะฮาร์โมนิกที่ 4,8,12,16 จะได้ออลพาสฟิลเตอร์ที่มีเฟสดีเลย์ดังรูปที่ 5.5 และในกรณีดังกล่าวเมื่อต้องการกำจัดความถี่ฮาร์โมนิก f_0 เดิมการกำจัดบางฮาร์โมนิกในกรณีข้างต้นก็คือการเปลี่ยนแปลงอัตราการแซมปลิงนั่นเอง



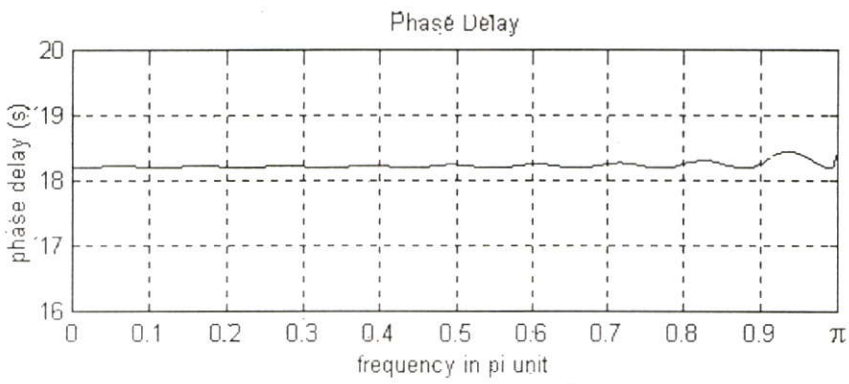
รูปที่ 5.1 แสดงผลตอบสนองขนาดของคอมบ์ฟิลเตอร์เมื่อ $\omega_0 = 0.055\pi$, $R = 0.999$



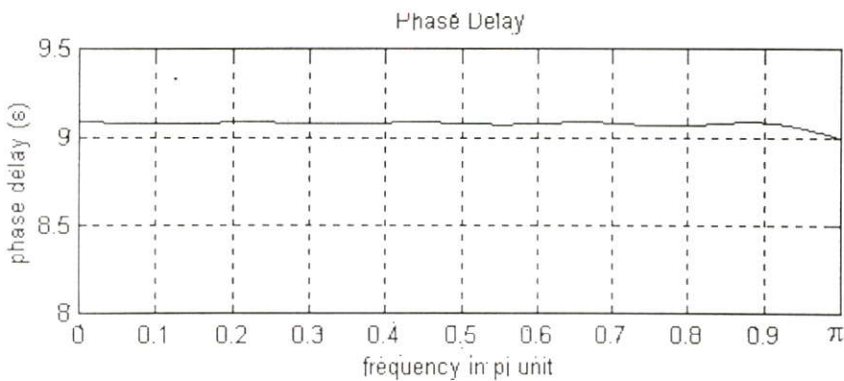
รูปที่ 5.2 แสดงผลตอบสนองขนาดของออลพาสฟิลเตอร์เมื่อ $\omega_0 = 0.055\pi$, $R = 0.999$



รูปที่ 5.3 แสดงผลตอบสนองเฟสดีเลย์ของออลพาสฟิลเตอร์เมื่อ $\omega_0 = 0.055\pi, R = 0.999$



รูปที่ 5.4 แสดงผลตอบสนองเฟสดีเลย์ของออลพาสฟิลเตอร์เมื่อ $\omega_0 = 0.055\pi, R = 0.999$ และ
กำลังฮาร์โมนิกที่



รูปที่ 5.5 แสดงผลตอบสนองเฟสดีเลย์ของออลพาสฟิลเตอร์เมื่อ $\omega_0 = 0.055\pi, R = 0.999$ ที่เหลือ
ฮาร์โมนิกที่ 4,8,12,16

5.2. เอฟเฟกของสัญญาณเสียงดิจิทัล

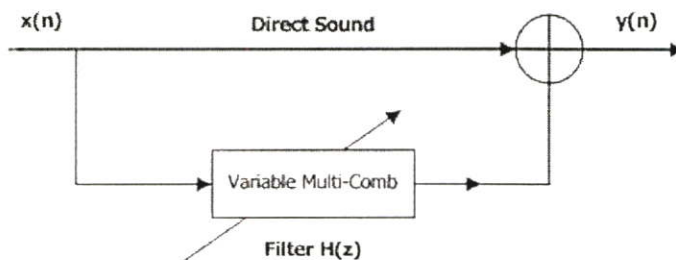
เอฟเฟกทางเสียงดังเช่น ดีเลย์ (Delay) เอคโค (Echo) รีโอบเบชั่น (Reverberation) คอมบ์ฟิลเตอร์ และแฟรงกิ้ง (Frangling) คลอรัส พิทช์ชิฟ สเตอริโออิมเมจจิง เป็นกระบวนการที่อยู่ในขั้นตอนการผลิตเสียงดนตรี บางส่วนได้ถูกนำมาใช้ในระบบเสียงบ้านและรถยนต์ เอฟเฟกเหล่านี้จะถูกสร้างขึ้นโดยตัวประมวลผลสัญญาณดิจิทัล ซึ่งอาจจะแยกเป็นโมดูลต่างหากหรือสร้างรวมไว้ในคีย์บอร์ดสเตชัน

ตัวประมวลผลเอฟเฟกทางเสียง โดยทั่วไปจะอยู่ในรูปแบบคังรูป

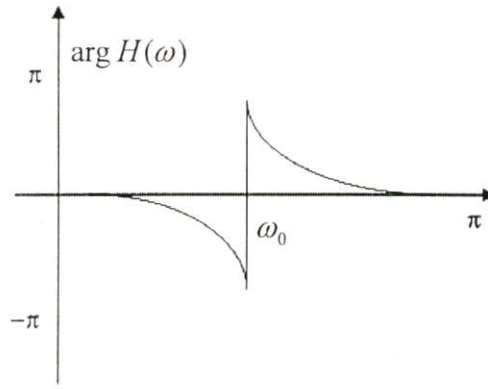


รูปที่ 5.6 แสดงระบบการประมวลผลสัญญาณเสียง

เฟสซิง หรือเฟสชิฟท์ทิง คือเอฟเฟกทางเสียงชนิดหนึ่งเป็นเอฟเฟกของเครื่องดนตรีจำพวกกีตาร์ คีย์บอร์ด โวคอลลิส สร้างขึ้นโดยนำสัญญาณเสียงผ่านคอมบ์ฟิลเตอร์และนำเอาที่พุทรวมเข้ากับสัญญาณอินพุท ซึ่งเอฟเฟกนี้ทำให้เกิดความแตกต่างของเสียงโดยการกำจัดเสียง ณ ตำแหน่งของฮาร์โมนิกของคอมบ์ฟิลเตอร์ โดยที่สามารถกำหนดตำแหน่งของฮาร์โมนิก จำนวนฮาร์โมนิกได้โดยอิสระ ดังเช่นรูปที่ 5.4 แสดงคอมบ์ฟิลเตอร์ ณ ความถี่ฮาร์โมนิกที่ต้องการกำจัด และผลตอบสนองของเฟสของมัน

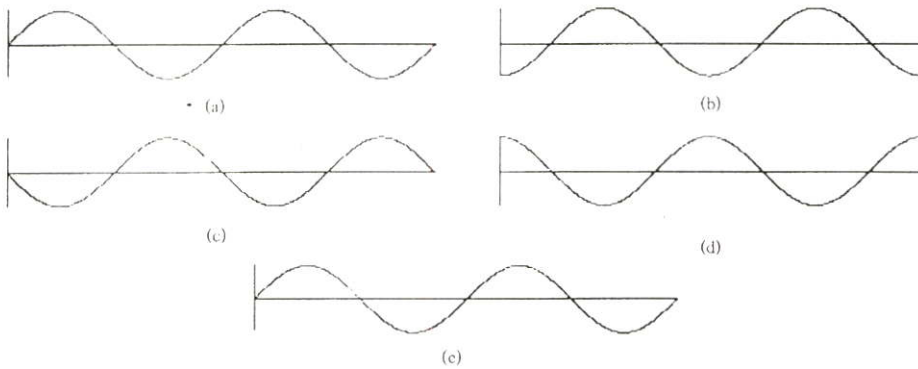


รูปที่ 5.7 แสดงการสร้าง เอฟเฟกเฟสชิฟท์ติง



รูปที่ 5.8 แสดงผลตอบสนองเฟส ณ ตำแหน่งของซี

จาก [4] ได้แสดงให้เห็นว่าการเปลี่ยนแปลงของเฟส ณ ความถี่ฮาร์โมนิกของสัญญาณเสียงนั้น จะทำให้เกิดความแตกต่างในการได้ยินในบางกรณี ดังเช่นการเปลี่ยนแปลงเฟสของสัญญาณดังรูป ที่ 5.9 เมื่อนำสัญญาณในรูป 5.9 (a) และ 5.9 (c) รวมเข้าด้วยกันแล้วผลตอบสนองขนาดก็จะกลายเป็น 0 เป็นต้น



รูปที่ 5.9 แสดงสัญญาณไซน์ที่มีการขีฟที่เฟสไปด้วยค่าต่างๆ a. สัญญาณไซน์ b. สัญญาณไซน์ขีฟที่เฟสไป $\pi/2$ c. สัญญาณไซน์ขีฟที่เฟสไป π d. สัญญาณไซน์ขีฟที่เฟสไป $3\pi/2$

5.3 การวิเคราะห์ สักระหะห์สัญญาณเสียงจากเครื่องดนตรี [5]

สัญญาณเสียงที่เกิดจากเครื่องดนตรีโดยทั่วไปจะมีโครงสร้างเป็นฮาร์โมนิก ซึ่งสัญญาณดนตรีดังกล่าวแสดงโดยโมเดลทางคณิตศาสตร์ดังต่อไปนี้

$$x(t) = a(t) \sum_{m=1}^{\infty} c_m \cos(2\pi m f_0 t + \phi_m) \quad (5.6)$$

เมื่อ

f_0 คือความถี่หลักมูลหรือพิทช์

c_m คือขนาด และ ϕ_m คือเฟสของฮาร์โมนิกที่ m

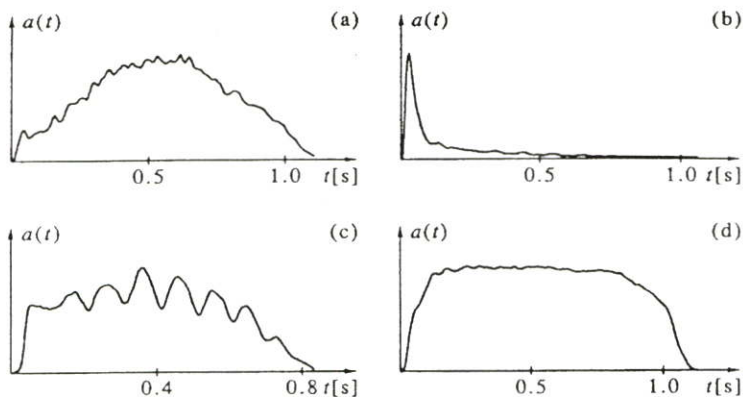
$a(t)$ คือฟังก์ชันขอบเขต ซึ่งเป็นสัญญาณความถี่ต่ำ ซึ่งโมดูลเท่ากับขนาดของสัญญาณ

ความถี่ f_0 จะกำหนดโดยโน้ตที่เล่น ในดนตรีตะวันตก ความถี่ของเสียงดนตรีจะเป็นดัง
สูตรต่อไปนี้

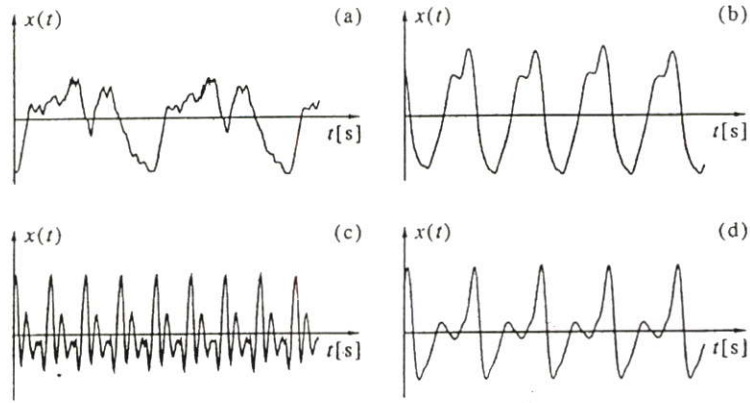
$$f_i = f_{ref} q^i, q = 2^{1/12} \quad (5.7)$$

เมื่อ f_{ref} คือความถี่อ้างอิง ซึ่งความถี่อ้างอิงมาตรฐานคือ 440 Hz และโน้ตที่ความถี่นี้คือ A (หรือ ลา) อัตราส่วน $2^{1/12}$ ก็คือเซมิโทน โน้ต B,C,D,E,F,G ๖ (หรือ ที โด เร มี ฟา ซอล ตามลำดับ) คือ 2 3 5 7 8 และ 10 เซมิโทนเหนือโน้ต A ($i = 2,3,5,7,8,10$) ซึ่งเรียกว่าโน้ตธรรมชาติ ระหว่าง A และ B ยังมีโน้ต A-Sharp หรือ B-Flat และระหว่าง C และ D, D และ E, F และ G ,G และ A ก็มี Sharp และ Flat เช่นเดียวกัน โน้ตเซมิโทน 12 ตัวเหนือ A ก็จะเรียกว่า A อีกครั้งและเรียกว่าออกเตฟที่สูงกว่า

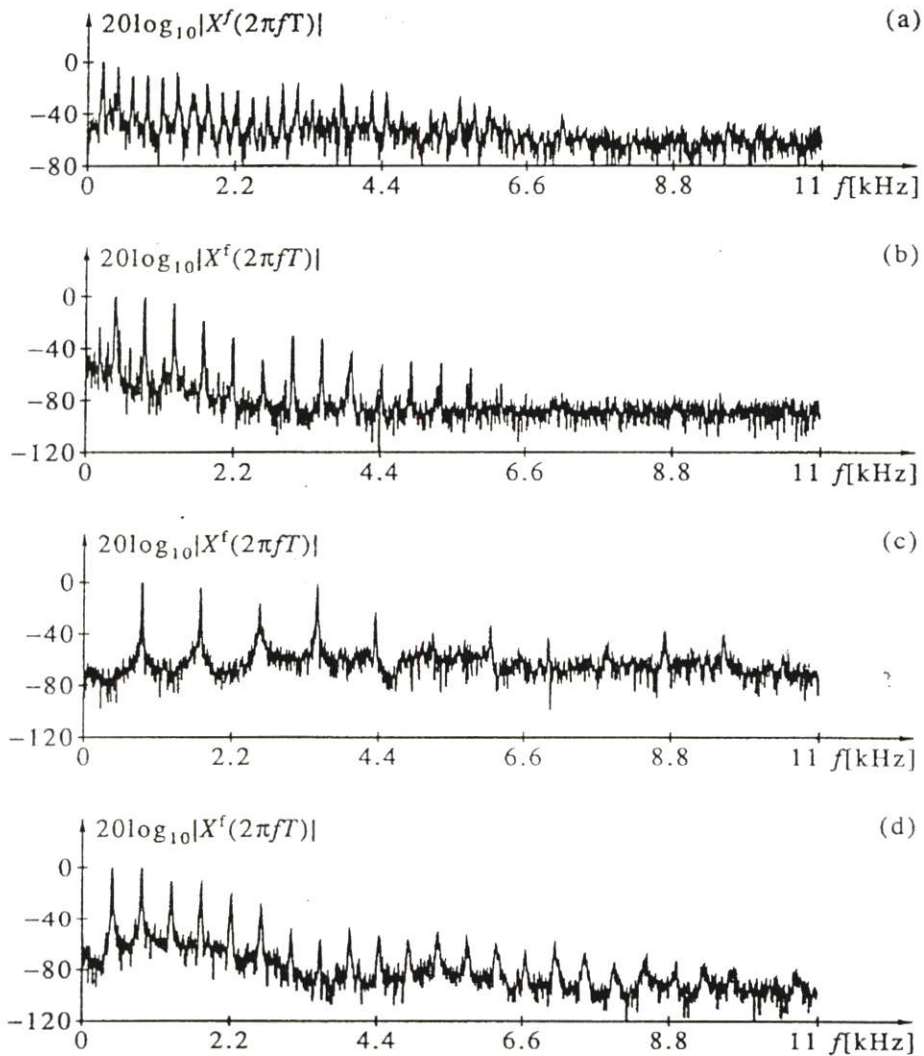
โครงสร้างฮาร์โมนิกของเครื่องดนตรีก็คือลำดับของฮาร์โมนิกที่สัมพันธ์กับความถี่หลักมูลซึ่งมันขึ้นอยู่กับชนิดของเครื่องดนตรี ลักษณะจำเพาะของอุปกรณ์แต่ละตัว โน้ตและวิธีเล่น เครื่องดนตรีต่างชนิดกันจะมีโครงสร้างฮาร์โมนิกต่างกัน นอกจากโครงสร้างฮาร์โมนิกแล้ว ฟังก์ชันขอบเขตก็จะทำให้เสียงที่ได้ยินมีความแตกต่างกัน โดยในกรณีนี้เฟสจะมีความสำคัญเพียงเล็กน้อย



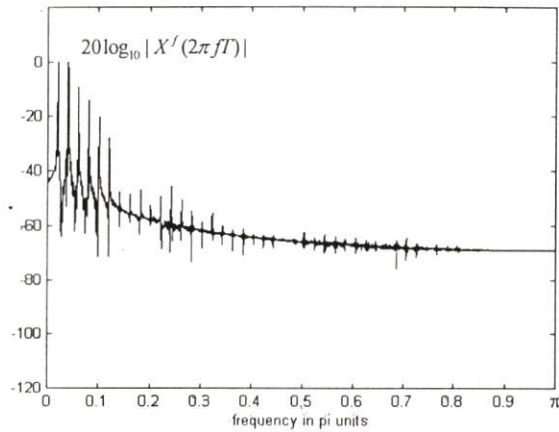
รูปที่ 5.10 แสดงฟังก์ชันขอบเขตของสัญญาณเสียงจากเครื่องดนตรี a. เซลโล (Cello) b. กีตาร์ (Classical guitar) c. ฟลูต (Flute) d. เฟรนช์ฮอร์น (French horn)



รูปที่ 5.11 แสดงรูปคลื่นที่เกิดจากเครื่องดนตรีชนิดต่างๆ เมื่อเล่นโน้ต A เป็นเวลา 10 มิลลิวินาที a. เซลโล(Cello) b. กีตาร์(Classical guitar) c. ฟลูต (Flute)d. เฟรนช์ฮอร์น (French horn)

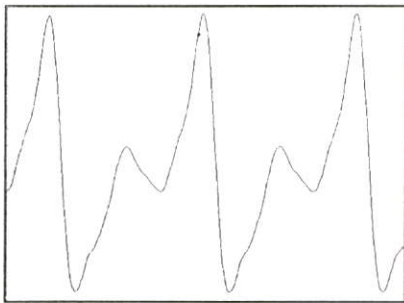


รูปที่ 5.12 แสดงโครงสร้างฮาร์โมนิกเมื่อเล่นโน้ต A เป็นเวลา 186 มิลลิวินาที a. เซลโล(Cello) b. กีตาร์(Classical guitar) c. ฟลูต (Flute)d. เฟรนช์ฮอร์น (French horn)

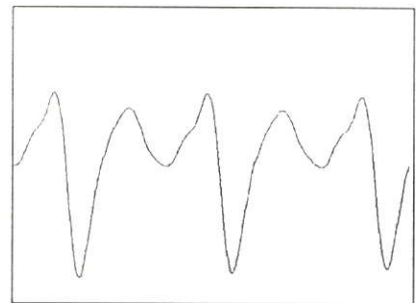


รูปที่ 5.13 แสดงสเปกตรัมของเฟร็นซ์ฮอร์น(8192 จุด)

รูปที่ 5.10 และ 5.11 แสดงฟังก์ชัน $a(t)$ และรูปคลื่นที่เกิดจากเครื่องดนตรีต่างชนิดกันเมื่อเล่นโน้ต A นอกจากนี้จากรูปที่ 5.12 แสดงถึง โครงสร้างฮาร์โมนิกของเครื่องดนตรีแต่ละประเภท ซึ่งจากข้อมูล $a(t)$ และ โครงสร้างฮาร์โมนิก สามารถสังเคราะห์ วิเคราะห์ ปรับแต่งสัญญาณเสียงดนตรีโดยใช้การประมวลผลสัญญาณดิจิทัล และคอมพิวเตอร์ก็มีบทบาทในการสร้างและปรับแต่งในส่วนของโครงสร้างฮาร์โมนิกของเครื่องดนตรีเพื่อให้ได้เสียงที่ต้องการดังรูปที่ 5.13a-5.13d ซึ่งแสดงรูปคลื่นของ เฟร็นซ์ฮอร์นเมื่อมีการกำจัดฮาร์โมนิกต่างๆ กัน โดยพิจารณาความถี่หลักมูลจากรูปที่ 5.12



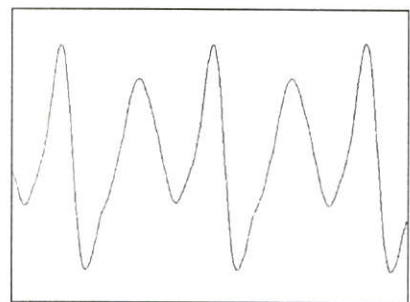
a.



b.



c.



d.

รูปที่ 5.14 แสดงรูปคลื่นของเฟร็นซ์ฮอร์น โดยรูป a ไม่มีการกรองฮาร์โมนิกใดๆ รูป b กรองทุกฮาร์โมนิก รูป c ไม่กรองฮาร์โมนิกที่ 1 รูป d ไม่กรองฮาร์โมนิกที่ 2 เมื่อกำหนดให้ $(\omega_0 = 0.02\pi, R = 0.999)$

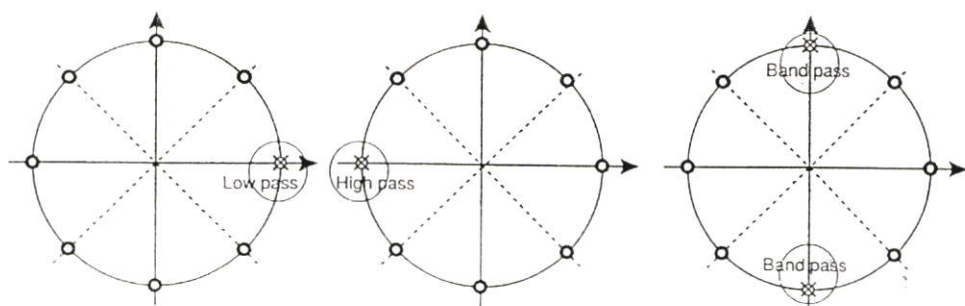
5.4 การปรับแต่งเอฟไออาร์คอมบ์ฟิลเตอร์[5]

จากทรานสเฟอร์ฟังก์ชันของเอฟไออาร์คอมบ์ฟิลเตอร์ดังต่อไปนี้

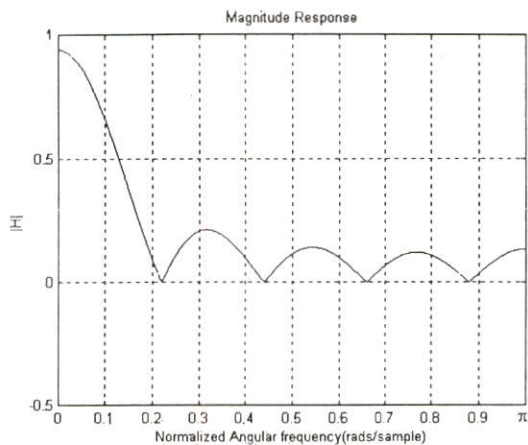
$$H(z) = \frac{Y(z)}{X(z)} = \frac{1}{D} * (1 - z^{-D}) \quad (5.8)$$

ซึ่งเป็นทรานสเฟอร์ฟังก์ชันในกรณีที่ซีโรสมมาตร ถ้าในกรณีที่ซีโรไม่สมมาตรแล้วจะพบว่าทรานสเฟอร์ฟังก์ชันของคอมบ์ฟิลเตอร์ชนิดนี้ก็คือเทอมเศษของคอมบ์ฟิลเตอร์ดังสมการที่ (4.3)นั่นเอง

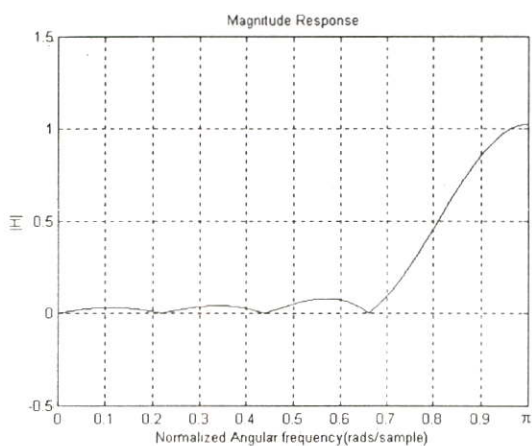
นอกจากการนำไปใช้ประโยชน์ในลักษณะคอมบ์ฟิลเตอร์โดยทั่วไปแล้ว ยังสามารถคัดแปลงทรานสเฟอร์ฟังก์ชันของมันให้กลายเป็นทรานสเฟอร์ฟังก์ชันชนิดอื่นดังเช่น ตัวกรองความถี่ต่ำผ่าน ตัวกรองความถี่สูงผ่าน ตัวกรองช่วงความถี่ผ่าน โดยการกำจัดซีโรบางตัวออกไป หรือจากทรานสเฟอร์ฟังก์ชันในบทที่ 4 ก็คือคำนวณเฉพาะเทอมเศษเท่านั้น การแปลงเป็นคอมบ์ฟิลเตอร์ประเภทต่างๆดังที่กล่าวมานั้นขึ้นอยู่กับตำแหน่งของซีโรที่กำจัดตั้งในรูปที่ 5.12 และผลตอบสนองความถี่กำจัดซีโรซึ่งทำการแปลงเป็นฟิลเตอร์อื่นๆดังในรูปที่ 5.13 ,5.14 และ 5.15 ตามลำดับ



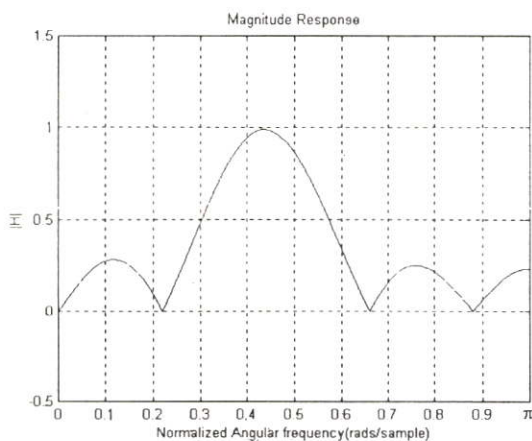
รูปที่ 5.15 แสดงตำแหน่งของซีโรเมื่อต้องการแปลงเป็นฟิลเตอร์อื่นๆ



รูปที่ 5.16 แสดงตำแหน่งของซีโรเมื่อต้องการแปลงเป็นตัวกรองความถี่ต่ำผ่าน เมื่อ $\omega_0 = 0.22\pi$



รูปที่ 5.17 แสดงตำแหน่งของซีโรเมื่อต้องการแปลงเป็นตัวกรองความถี่สูงผ่าน เมื่อ $\omega_0 = 0.22\pi$



รูปที่ 5.18 แสดงตำแหน่งของซีโรเมื่อต้องการแปลงเป็นตัวกรองความถี่ช่วงความถี่ผ่าน เมื่อ $\omega_0 = 0.22\pi$

คอมพิวเตอร์ชนิดนี้มีข้อดีก็คือเป็นวิธีที่ง่ายในการออกแบบและการเปลี่ยนเป็นฟิลเตอร์ประเภทอื่น โดยเฉพาะเมื่อนำไปสร้างบนตัวประมวลผลสัญญาณดิจิทัลนั้นก็สามารถทำได้โดยง่าย โดยเฉพาะในกรณีที่ซีโรว์สมมาตรและ D เป็นค่ายกกำลัง 2 ซึ่งเทคนิคในการเขียนโปรแกรมก็ต้องการเพียงการหวนเวลาของอินพุตไป D และการชิฟท์ขวาซึ่งก็คือการหาร (เพื่อหาค่า D) เท่านั้น แต่อย่างไรก็ตามถ้ากล่าวถึงในด้านเสถียรภาพแล้ววิธีการนี้ให้ผลไม่ดีนักเนื่องจากในกรณีที่เราต้องการกำจัดซีโรว์ที่ 0 และ π ซึ่งก็คือการนำโพลที่ 0 และ π ไปวางถ้าระบบมีการคำนวณที่ไม่เที่ยงตรงพอแล้วจะทำให้เกิดโพลที่ตำแหน่งดังกล่าวซึ่งส่งผลให้ระบบเกิดการออสซิลเลทหรือไม่เสถียรนั่นเอง

บทที่ 6

สรุปผลการวิจัยและข้อเสนอแนะ

6.1 สรุปผลการวิจัย

จากผลการศึกษาการออกแบบ และวิธีคำนวณสัมประสิทธิ์ของดิจิทัลคอมบ์ฟิลเตอร์ ซึ่งออกแบบโดยวิธีต่างๆ ไม่ว่าจะเป็นการวางซีโรและโพลแบบสมมาตรและไม่สมมาตร หรือการออกแบบโดยอาศัยฮอโลกราฟฟิลเตอร์ก็ตามล้วนแต่อาศัยความสำคัญของตำแหน่งโพลและซีโร และจากการวิจัยที่ช่วยให้การคำนวณสัมประสิทธิ์ของดิจิทัลคอมบ์ฟิลเตอร์อยู่ในรูปแบบความสัมพันธ์ที่ชัดเจนของตำแหน่งของซีโรและโพลและค่าสัมประสิทธิ์ โดยไม่ต้องอาศัยการคูณตัวประกอบของราก สามารถนำไปใช้ในกรณีที่ต้องการสร้างฟิลเตอร์ขึ้นใหม่ การกำจัดฮาร์โมนิกที่ไม่ต้องการของดิจิทัลคอมบ์ฟิลเตอร์โดยเฉพาะในกรณีหลังซึ่งเมื่อการกำจัดฮาร์โมนิกนั้นกระทำกับดิจิทัลคอมบ์ฟิลเตอร์ตัวเดิม สามารถนำวิธีดังกล่าวไปสร้างบนตัวประมวลผลสัญญาณดิจิทัล โดยไม่ต้องคูณตัวประกอบของรากขึ้นใหม่ซึ่งเป็นขั้นตอนที่ไม่สะดวกในการกระทำโดยตัวประมวลผลสัญญาณดิจิทัล ดังนั้นจากผลการวิจัยจึงกล่าวได้ว่าได้ปรับปรุงวิธีการคำนวณสัมประสิทธิ์ของดิจิทัลคอมบ์ฟิลเตอร์ให้ชัดเจนและมีความสะดวกในการนำไปสร้างบนตัวประมวลผลสัญญาณในกรณีดังกล่าวมาแล้ว

6.2 ข้อเสนอแนะ

1. ในการวิจัยที่กล่าวมานั้น ผู้วิจัยได้ให้ความสำคัญและมุ่งเน้นไปที่ตำแหน่งของฮาร์โมนิก และได้ประยุกต์โดยนำวิธีของโมเมนต์ของรากเพื่อสร้างวิธีการคำนวณสัมประสิทธิ์ขึ้น แต่นอกจากนี้ยังมีคุณลักษณะอื่น ๆ ที่สำคัญดังเช่น อัตราการลดทอน ณ ตำแหน่งของฮาร์โมนิก หรือความถี่คัทออฟ ซึ่งสามารถพัฒนาวิธีการให้ดียิ่งขึ้นโดยนำลักษณะเหล่านี้มาพิจารณาในการออกแบบด้วย
2. เมื่อนำไปสร้างบนตัวประมวลผลสัญญาณดิจิทัล สามารถปรับปรุงขั้นตอนการคำนวณดังเช่น การคูณและการหารให้อยู่ในรูปแบบของการชิฟต์เพื่อลดขั้นตอนและเวลาในการคำนวณ รวมทั้งศึกษาถึงปัจจัยต่างๆที่มีผลต่อการสร้าง ดังเช่นจำนวนบิตในการคำนวณ เพื่อลดความผิดพลาดในการคำนวณและให้ผลตอบสนองที่ใกล้เคียงกับการจำลองผลการทำงานมากขึ้น

เอกสารอ้างอิง

- [1] O. Sophocles. 1996. Introduction to Signal Processing. New Jersey: Prentice Hall.
- [2] P. Soo-Chang and T. Chien-Cheng . “A Comb Filter Design Using Fractional-Sample Delay.” IEEE Transaction on Circuit and System-II: Analog and Digital Signal Processing, vol. 45 ,no. 6, June 1998,pp 649-653.
- [2] L. Timo . et. al. “Splitting the Unit Delay.” IEEE Signal Processing magazine,Jan.,1996,pp.30-60
- [3] M. Sanjit and J. F. Kaiser. Handbook for Digital Signal Processing. A Wiley-Interscience Publication. 1993.
- [4] T. Stathaki. “Root moments: a Digital Signal-Processing Perspective.” IEE. Proc-Vis Image Signal Process, vol. 145,no. 4, August.1998. pp. 293-302
- [5] A. Antoniou . Digital Filter Analysis, Design, and Applications. Mcgraw-Hill. 1993
- [6] C. L. Nikias, and F. Liu. “Bicepstrum on Computation Based on Second and Third Order Statistics with Applications.” Proceeding of ICASSP 90,Albuquerque, New Mexico, April, 1990. pp. 2381
- [7] B. P. Bogert. “The Frequency Analysis of Time Series for Echos : Cepstrum, Pseudo-Auto Covariances, Cross-Cepstrum and Saphe-Tracking.” Proceeding of Symposium on Time Series Analysis,1963. pp. 209
- [8] D. H. Brocks. and C. L. Nikias. “The Cross-Bicepstrum:Propertes and Applications for Signal Reconstruction and System Identification.” Proceeding of ICASSP 91,Toronto, Canada, May 1991. pp. 3433
- [9] P. Henrici . Applied and Computation Complex Analysis. New York: Mcgraw-Hill. 1986.
- [10]N. E. Hurt. Phase Retrival and Zero Crossing: Mathematical method in Image Reconstruction. Kluwer Academic Publisher. 1998
- [11] R. C. Snell. and F. Milinazgo. “ Formant Location from LPC Analysis Data. IEEE Trans, 1993. Assp-1.
- [12] C. L. Nikias. and A. Petropulu. : Higher Order Spectra Analysis. Prentice Hall.1993.
- [13] DaQarta. Harmonic Distortion.[Online].Available: <http://www.daqarta.com/odhhdist.htm>.
- [14]เพ็ญฤดี ตั้งสมรพงษ์ และฟูศักดิ์ ชีวสุวิทย์. “ การกำจัดบางฮาร์โมนิกที่ไม่ต้องการของดิจิตอลคอมบ์ฟิลเตอร์”. วิศวกรรมสารลาดกระบัง, สถาบันเทคโนโลยีพระจอมเกล้าเจ้าคุณทหารลาดกระบัง, ฉบับที่2, มิถุนายน 2545. หน้า 99-104.

- [15] P. Thangsomvorapong and F. Cheevasuvit. "Specified Harmonic Removal of Digital Comb Filter by Root Moments." Proc. IEEE ICIT'02, vol. I, Bangkok, Thailand. 2002. pp. 323-326
- [16] มนต์ สัจวรศิลป์ และ วรรัตน์ ภัทรอมรกุล. คู่มือการใช้งาน Matlab ฉบับสมบูรณ์. Info Press, 2543
- [17] The Math Work Inc. The Student Edition of Matlab version 4., Prentice Hall., 1995.
- [18] I. K. Viney, J. G. Proakis. Digital Signal processing Using matlab V.4, PWS Publishing Company, 1997.
- [19] Texas Instrument, User's Guide TMS320C31, Texas Instrument., 1994.
- [20] R. Chassaing, Digital Signal Processing Laboratory Experiments Using C and TMS 320C31 DSK, John Wiley & Sons, 1999.
- [21] S. Lehman. 1996, Phase Shifting, [Online]. Available: <http://www.harmony-central.com/Effect/Articles/Phase-Shifting.htm>.
- [22] B. Porat, A Course in Digital Signal Processing, John Wiley & Sons, 1997.
- [23] J. P. Deziel, Applied Introduction to Digital Signal Processing, Prentice Hall, 2001.

ภาคผนวก

ก. บทความที่ได้รับการตีพิมพ์

1. “Specified Harmonic Removal of Digital Comb Filter by Root Moments”, Proc. IEEE ICIT’02, vol. I, Bangkok, Thailand. 2002. pp. 323-326

Specified Harmonic Removal of Digital Comb Filter by Root Moments

P. Thangsomvorapong and F. Cheevasuvit

Department of Instrumentation Engineering, Faculty of Engineering
King Mongkut's Institute of Technology Ladkrabang, Bangkok 10520, Thailand
Phone: (66-2326-4204) E-mail: s3061405@kmitl.ac.th

Abstract

This paper presents the designing of comb filter coefficients removing some undesired harmonic frequencies. The root moment method has been used to generate the desired comb filter coefficients. The proposed method is quite suitable when the relation of 2π and fundamental ω_0 is fractional.

Keywords: digital comb filter, splitting unit delay, root moments,

1. Introduction

Digital comb filter is designed for removing some undesired harmonic frequency [1] while the other frequencies are left through the output of filter. A typical one of the application is the cancellation process of interference in the recording of electrocardiogram (ECG) at which the digital comb filter plays in this role. For some applications, we want to remove some specified harmonics while maintain the DC signal and some other harmonics. Therefore, in this paper, we present a design method of the mentioned comb filter by using root moment procedures. Here, we focus to the case of the relation of which 2π and fundamental harmonic is fractional.

2. Specified Harmonic Removal of Digital Comb Filter

General form of digital comb filter is given by

$$H_c(z) = \frac{1 - z^{-D}}{1 - \rho^D z^{-D}} \quad (1)$$

where $D = 2\pi / \omega_0$, D is integer and $0 < \rho < 1$.

When D is not integer, the digital comb filter will be designed by approximating z^{-D} from all pass filter or FIR low pass filter, then put it in (1). This technique is illustrated in [1] and the transfer function of the digital comb filter is shown by

$$H_c(z) = \frac{b_0 + b_1 z^{-1} + b_2 z^{-2} + \dots + b_N z^{-N}}{a_0 + a_1 z^{-1} + a_2 z^{-2} + \dots + a_N z^{-N}} \quad (2)$$

When zeros and poles of the filter in equation (2) are considered, the frequency positions of zeros are at $k\omega_0$ on the interval $[-\pi \ \pi]$ for $-M \leq k < M$ as shown in the following

$$[-M\omega_0\pi \ \dots \ -2\omega_0\pi \ \ -\omega_0\pi \ \ 0 \ \ \omega_0\pi \ \ 2\omega_0\pi \ \ \dots \ M\omega_0\pi] \quad (3)$$

where $M = \pi / \omega_0$. The frequency positions of poles are at $k\omega_0$ too, but their magnitudes are ρ .

When we want to remove the harmonic of digital comb filter, will cancel zeros and poles of the harmonic and its conjugate out [2]. For instance, if the k^{th} harmonic is need to remove,

$$H_c'(z) = \frac{b_0 + b_1 z^{-1} + b_2 z^{-2} + \dots + b_N z^{-N}}{a_0 + a_1 z^{-1} + a_2 z^{-2} + \dots + a_N z^{-N}} \times \frac{(1 - \rho e^{jk\omega_0} z^{-1})(1 - \rho e^{-jk\omega_0} z^{-1})}{(1 - e^{jk\omega_0} z^{-1})(1 - e^{-jk\omega_0} z^{-1})} \quad (4)$$

Alternately, we can write (4) in the other form demonstrated in (5) and its order is decreased to $N-2$ as

$$H_c''(z) = \frac{b_{0_{new}} + b_{1_{new}} z^{-1} + b_{2_{new}} z^{-2} + \dots + b_{N_{new}} z^{-(N-2)}}{a_{0_{new}} + a_{1_{new}} z^{-1} + a_{2_{new}} z^{-2} + \dots + a_{N_{new}} z^{-(N-2)}} \quad (5)$$

If the number of the removed harmonics is p , the order of transfer function is $N-2p$.

From (5), the coefficients of both numerator and denominator can be derived from division or factorization of root extraction. In this paper, the root moment method is particularly applied to obtain them.

3. Root Moments

Root Moment presented by Isaac Newton is the one property of polynomial. Also he presented the well-known relationship called Newton Identities presented in [4] and [5].

Considering a linear phase FIR digital filter, its function is

$$H(z) = z^n + h_1 z^{n-1} + h_2 z^{n-2} + \dots + h_n = \prod_{i=1}^n (z - r_i) \quad (6)$$

A set of parameter S_m [3] is the function of the roots of polynomial, $H(z)$ which are known as root moments of the polynomial

$$S_m = r_1^m + r_2^m + \dots + r_n^m = \sum_{i=1}^n r_i^m. \quad (7)$$

3.1 Iterative Estimation of Root Moments

From (6) we can write $H'(z) = (H(z)/(z-r_i))$ and let $H(r_i) = 0$, so $H'(z)$ can be written as

$$H'(z) = nz^{n-1} + (S_1 + nh_1)z^{n-2} + (S_2 + h_1S_1 + nh_2)z^{n-3} + \dots + (S_m + h_1S_{m-1} + h_2S_{m-2} + \dots + nh_m)z^{n-m-1} + \dots \quad (8)$$

After the differentiation of (7), we obtain

$$H'(z) = nz^{n-1} + (n-1)h_1z^{n-2} + (n-2)h_2z^{n-3} + \dots + (n-m)h_mz^{n-m-1} + \dots \quad (9)$$

The relative equation of (8) and (9) is known by identities and shown as the following

$$S_m + h_1S_{m-1} + h_2S_{m-2} + \dots + mh_{m-n} = 0. \quad (10)$$

The Newton Identities are the relationship between root moments and polynomial coefficients. Here, the relationship between root moments and signal combination, which is product and division, will be considered.

Product: assume that $S_m^{f_1(z)}$ is root moments of polynomial $f_1(z)$, and $S_m^{f_2(z)}$ is that of polynomial $f_2(z)$. Finally, $S_m^{f(z)} = S_m^{f_1(z)} + S_m^{f_2(z)}$ is then that of polynomial $f(z)$, that is, $f(z) = f_1(z) \times f_2(z)$.

Division: alternatively, when $f(z) = f_1(z)/f_2(z)$, root moments of polynomial $f(z)$ is $S_m^{f(z)} = S_m^{f_1(z)} - S_m^{f_2(z)}$.

4. Specified Harmonics Removal of Digital Comb Filter by Root Moments

In the procedure of finding filter coefficients, we need only to calculate the numerator coefficients because the denominator coefficients can be derived from numerator coefficients and ρ . The algorithm is then shown in following steps:

1). From (4), root moments of $b_0 + b_1z^{-1} + b_2z^{-2} + \dots + b_Nz^{-N}$ is calculated as

$$S_m^n = 1 + \sum_{i=1}^M 2 \cos(mk_i\omega_0) \quad (11)$$

so we obtain

$$S_1^n, S_2^n, S_3^n, \dots, S_N^n. \quad (12)$$

Similarly, root moments of $(1 - e^{j\omega_0}z^{-1})(1 - e^{-j\omega_0}z^{-1})$ is calculated as

$$S_m^d = 2 \cos(mk\omega_0). \quad (13)$$

If we want to remove the harmonics at k_1, k_2, \dots, k_m , the root moments become

$$S_m^d = 2 \cos(mk_1\omega_0) + 2 \cos(mk_2\omega_0) + \dots + 2 \cos(mk_m\omega_0) \quad (14)$$

Similarly, to remove DC component, (14) becomes

$$S_m^d = 1 + 2 \cos(mk_1\omega_0) + 2 \cos(mk_2\omega_0) + \dots + 2 \cos(mk_m\omega_0) \quad (15)$$

Thus, we achieve the new root moments as

$$S_1^d, S_2^d, S_3^d, \dots, S_N^d. \quad (16)$$

2) The properties of root moments and signal division are considered, so the numerator root moments according to (5) can be calculated as

$$S_m^{n'} = S_m^n - S_m^d. \quad (17)$$

The new numerator root moments can be obtained by

$$S_1^{n'}, S_2^{n'}, S_3^{n'}, \dots, S_N^{n'}. \quad (18)$$

3) From Newton Identities according to (10), the numerator coefficients in (5) are calculated, we have

$$b_m = (-S_m^{n'} - b_1S_{m-1}^{n'} - b_2S_{m-2}^{n'} - \dots - b_{m-1}S_1^{n'})/m. \quad (19)$$

4) Thus, the denominator coefficients is given by

$$a_m = b_m \times \rho^m. \quad (20)$$

For instance,

$$a_2 = b_2 \times \rho^2. \quad (21)$$

5. Experimental Results

In this paper, digital comb filter is designed so as to maintain DC signal and the 9th harmonic. The parameter is defined as $\omega_0 = 0.11\pi$, $\rho = 0.999$.

The frequency response of the digital comb filter that doesn't remove any harmonics is shown in Fig. 1. Its transfer function coefficients according to (2) are given by

$$\begin{aligned} b_0 &= -b_{19} = 1.0000e+0, & b_1 &= -b_{18} = 8.1953e-1, \\ b_2 &= -b_{17} = -7.5994e-2, & b_3 &= -b_{16} = 3.1104e-2, \\ b_4 &= -b_{15} = -1.7963e-2, & b_5 &= -b_{14} = 1.2343e-2, \\ b_6 &= -b_{13} = -9.4831e-3, & b_7 &= -b_{12} = 7.9917e-3, \\ b_8 &= -b_{11} = -7.0581e-3, & b_9 &= -b_{10} = 6.6784e-3 \end{aligned}$$

$$\begin{aligned} a_0 &= 1.0000e+0, & a_1 &= 8.1871e-1, & a_2 &= 8.1871e-1, \\ a_3 &= 3.1011e-2, & a_4 &= -1.7891e-2, & a_5 &= -1.7891e-2, \\ a_6 &= -9.4264e-3, & a_7 &= 7.8565e-3, & a_8 &= 7.8565e-3, \\ a_9 &= 6.6185e-3, & a_{10} &= -6.6119e-3, & a_{11} &= -6.6119e-3, \\ a_{12} &= -7.8173e-3, & a_{13} &= 9.3606e-3, & a_{14} &= 9.3606e-3, \\ a_{15} &= 1.7695e-2, & a_{16} &= -3.0610e-2, & a_{17} &= -3.0610e-2, \\ a_{18} &= -8.0490e-1, & a_{19} &= -9.8117e-1, & a_{20} &= -9.8117e-1 \end{aligned}$$

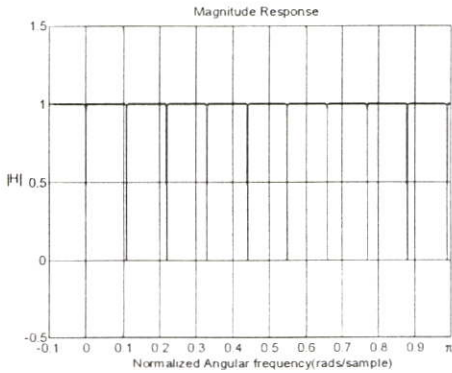


Fig. 1. The frequency response of the digital comb filter which $\omega_0 = 0.11\pi$ and $\rho = 0.999$.

To maintain DC signal and the 9th harmonic, it can be done by the following procedures:

1) According to (11), (15), and (17), the numerator root moments of the transfer function and the removal harmonic root moments are calculated, then we obtain the root moments of the new transfer function, that is

$$\begin{aligned} S_1^{n'} &= 1.7948e-1, & S_2^{n'} &= -2.1724e+0, & S_3^{n'} &= 1.6055e-1, \\ S_4^{n'} &= -2.1436e+0, & S_5^{n'} &= 1.2130e-1, & S_6^{n'} &= -2.0931e+0, \\ S_7^{n'} &= 5.8346e-2, & S_8^{n'} &= -2.0160e+0, & S_9^{n'} &= -3.5324e-2, \\ S_{10}^{n'} &= -1.9021e+0, & S_{11}^{n'} &= -1.7510e-1, & S_{12}^{n'} &= -1.7274e+0, \\ S_{13}^{n'} &= -4.0042e-1, & S_{14}^{n'} &= -1.4219e+0, & S_{15}^{n'} &= -8.4984e-1, \\ S_{16}^{n'} &= -6.5954e-1, & S_{17}^{n'} &= -2.5973e+0, & S_{18}^{n'} &= 1.5206e+1, \\ S_{19}^{n'} &= 3.7765e+0 \end{aligned}$$

2) The coefficients of transfer function maintaining DC signal and the 9th harmonic are calculated according to (19). Then

$$\begin{aligned} b_0 &= b_{16} = 1.0000e+1, & b_1 &= b_{15} = -1.7948e-1, \\ b_2 &= b_{14} = 1.1023e+0, & b_3 &= b_{13} = -2.4944e-1, \\ b_4 &= b_{12} = 1.1530e+0, & b_5 &= b_{11} = -2.8637e-1, \\ b_6 &= b_{10} = 1.1790e+0, & b_7 &= b_9 = -3.0304e-1, \\ b_8 &= 1.1872e+0 \end{aligned}$$

Hence the denominator coefficients are calculated according to (20), its frequency response is shown in Fig. 2.

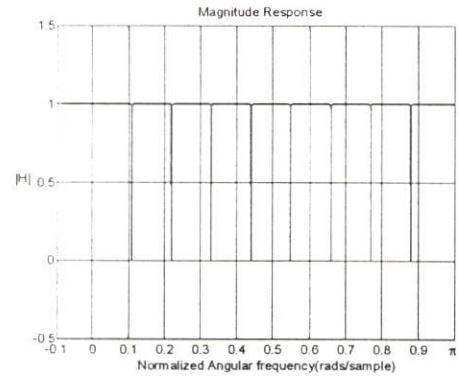


Fig. 2. The frequency response of the digital comb filter with $\omega_0 = 0.11\pi$, $\rho = 0.999$ and the 9th harmonic and DC removed.

6. Conclusions

In case of which D is not an integer value, digital comb filter is applied to remove only some specified harmonics. The root moment method is one of algorithm to solve the mentioned problem, besides the traditional one used the fractional process of root extraction. The advantage of this algorithm is less complexity of computation when compared with the old one. Especially, the case of the harmonics removal performs with the old filter because we can use the old root moments of the transfer function, and calculate the root moments of the removed term only. Therefore, the transfer function coefficients can be calculated from iteration process.

References

- [1] S.-C. Pei and C.-C. Tseng, "A Comb Filter-Design Using Fractional-Sample Delay," *IEEE Trans. on Circuits and Systems-II: and Digital Signal Processing*, vol. 45, no 6, pp. 649-653, Jun. 1998.
- [2] S. J. Orfanidis, *Introduction to Signal Processing*, Prentice-Hall, pp.253-258, 1996.
- [3] T.Stathaki, "Root Moments:a digital signal-processing perspective," *IEE Proc.-Vis. Image Signal processing*, vol.145, no. 4, pp. 293-302, Aug. 1998.
- [4] T. I.lakkso, V. Valimaki, M. Karjalainen, and U.K. Laine, "Splitting the Unit Delay," *IEEE Signal Processing Magazine*, pp. 30-60, Jan. 1996.
- [5] T.Stathaki and I. Fotinopoulos, "Equiripple Minimum Phase FIR Filter Design From Linear Phase Systems Using Root Moments," *IEEE Trans. on Circuit and Systems-II, Analog and Digital Signal processing*, vol. 48, no. 6., pp. 580-587, Jun. 2001.

ข. โปรแกรมการจำลองผลการทำงานโดยใช้ Matlab

ประกอบไปด้วยโปรแกรมในการจำลองการทำงานโดยใช้ Matlab 4 โปรแกรมดังต่อไปนี้

1. โปรแกรม FPGResponse : ใช้ในการพลอตผลตอบสนองความถี่ (ขนาด) , ผลตอบสนองเฟส, เฟสดีเลย์, กรู๊ปดีเลย์
2. โปรแกรม AllpassComb : ใช้ในการออกแบบคอมบ์ฟิลเตอร์โดยใช้การออกแบบออลพาสฟิลเตอร์ (2.3.2)
3. โปรแกรม FIRComb : ใช้ในการออกแบบคอมบ์ฟิลเตอร์โดยใช้การออกแบบเอฟไออาร์ฟิลเตอร์ (2.3.1)
4. โปรแกรม RootMoments : ใช้ในการออกแบบคอมบ์ฟิลเตอร์และกำจัดฮาร์โมนิกที่ต้องการโดยโมเมนต์ของราก (4.3)

การกำหนดตัวแปรต่างๆ

โปรแกรม FPGResponse

- a: สัมประสิทธิ์เทอมเศษของฟิลเตอร์
- b: สัมประสิทธิ์เทอมส่วนของฟิลเตอร์
- m: ผลตอบสนองความถี่ (ขนาด)
- angH: ผลตอบสนองเฟสของฟิลเตอร์
- phdelay: ผลตอบสนองเฟสดีเลย์ของฟิลเตอร์

โปรแกรม AllpassComb, โปรแกรม FIRComb

- w0: ความถี่หลักมูล ($2\pi f_0 / Fs$)
- r : ค่าคงที่เทอมเศษ (มักกำหนดให้เท่ากับ 1)
- R : ค่าคงที่เทอมส่วน
- N : คือออเดอร์ของฟิลเตอร์
- nom : คือสัมประสิทธิ์เทอมเศษ (ออลพาสฟิลเตอร์)
- denom: คือสัมประสิทธิ์เทอมส่วน (ออลพาสฟิลเตอร์)
- nom_new : คือสัมประสิทธิ์เทอมเศษ (คอมบ์ฟิลเตอร์)
- denom_new: คือสัมประสิทธิ์เทอมส่วน (คอมบ์ฟิลเตอร์)

โปรแกรม RootMoments

w0: ความถี่หลักมูล ($2\pi f_0 / Fs$)

K: คือฮาร์โมนิกที่ต้องการกำจัดอยู่ในรูปแบบของเมตริกซ์ขนาด $1 \times x$ เมื่อ x คือจำนวนฮาร์โมนิกที่ต้องการกำจัด ดังเช่น [1 2]

S: คือโมเมนต์ของรากของคอมป์ฟิลเตอร์

S_N: คือโมเมนต์ของรากของฟิลเตอร์ผลลัพธ์

a: สัมประสิทธิ์เทอมเศษของฟิลเตอร์

b: สัมประสิทธิ์เทอมส่วนของฟิลเตอร์

```

function[m,angH,phdelay]=Fpgresponse(a,b);

% To plot response
% figure1 : plot magnitude response
% figure2 : plot phase response, phase delay response
% figure3 : plot group delay response

m=0:length(a)-1;l=0:length(b)-1;
K=1600;
k=-1600:1:1600;
w=pi*k/K;
num=a*exp(-j*m*w);
den=b*exp(-j*l*w);
H=num./den;
magH=abs(H);
magHDb=20*log(magH+eps/max(magH));

figure(1);
plot(w/pi,magH);grid;axis([-1,1,-0.5,1.5]);
xlabel('Normalized Angular frequency(rads/sample)');ylabel('|H|');
title('Magnitude Response');

figure(2);
[h,w]=freqz(a,b,10000);
m=abs(h);
m=(m(2:1:10000));
angH=angle(h);
angH=unwrap(angH);
w=(w(2:1:10000));
angH=(angH(2:1:10000));
subplot(2,1,1);
plot(w/pi,angH);
grid;axis([0,1,-10*pi,pi]);

```

```

xlabel('frequency in pi unit');ylabel('Phase');
title('Phase Response');
for i=1:9999
    phdelay(i)=-1*angH(i)/w(i);
    fre(i)=w(i)/pi;
end;

subplot(2,1,2);
plot(fre,phdelay);
grid;xlabel('frequency in pi unit');
ylabel('phase delay (s)');
title('Phase Delay');
[gd,w]=grpdelay(a,b,3000);

figure(3);
plot(w/pi,gd);grid;
xlabel('frequency in pi unit');
ylabel('group delay(s)');
title('Group Delay');

%-----End-----%

function [nom,denom,nom_new,denom_new]=allpassComb(w0,r,R,alpha,N);
%To calculate allpass filter,comb filter coefficients
% allpass filter transfer function =nom/denom (|H(w)|=1,phase delay=2*pi/w0)
% comb filter transfer function = nom_new/denom_new
% =(denom-r^D*nom)/(denom-q^D-nom)

D=(2*pi/w0);
syms w;
beta=-1/2*((-1*D*w)+(N*w));

for i=1:N

```

```

    b(i,1)=sin(beta+i*w);
end;

bT=transpose(b);

sinbeta=sin(beta);
sum1=b*bT;
Q=int(sum1,w,0,alpha*pi);
sum2=b*sinbeta;
p=-1*int(sum2,w,0,alpha*pi);
sum3=sinbeta^2;
c=int(sum3,w,0,alpha*pi);

M=floor(pi/w0);
for k=1:M
    for i=1:N
        w01=k*w0;
        beta_new=-1/2*((-1*D*w01)+(N*w01));
        b_new(i,1)=sin(beta_new+i*w01);
        C(i,k)=b_new(i,1);
        f(1,k)=-1*(sin(beta_new));
    end;
end;
f(1,2)=0;
C_new=transpose(C);
f_new=transpose(f);
Q=numeric(Q);
d=inv(Q);
p=numeric(p);
result1=d*p;
result2=d*C*inv(C_new*d*C);
result3=((C_new*d*p)-f_new);

```

```

resultall=result1-(result2*result3);

nom(N+1)=1;
for i=1:N
    nom(i)=resultall(N-i+1);
end;
denom(1)=1;
for i=2:N+1
    denom(i)=resultall(i-1);
end;
[m,angH,phdelay]=Fpgrresponse(nom,denom);

nom_new=denom-nom;
denom_new=denom-(R^D*(nom));

m=0:length(nom_new)-1;l=0:length(denom_new)-1;
K=3000;
k=-3000:1:3000;
w=pi*k/K;
num=nom_new*exp(-j*m*w);
den=denom_new*exp(-j*l*w);
H=num./den;
magH=abs(H);

figure(5);
subplot(2,1,1);
plot(w/pi,magH);grid,axis([-1,1,-0.5,1.5]);
xlabel('Normalized Angular Frequency(rads/sample)');ylabel('|H|');
title('Magnitude Response');
%-----End-----%

```

```

function[b,a]=FIRComb(w0,r,R,alpha,N);
%To calculate FIR filter,comb filter coefficients
syms w;
D=2*pi/w0;
for k=0:N
    for i=0:N
        minus=i-k;
        sum1(k+1,i+1)=cos(minus*w);
    end;
end;
Q=2*int(sum1,w,0,alpha*pi);
Q=numeric(Q);

for k=0:N
    sum2(k+1,1)=cos((-1*D)+k)*w);
end;

p=2*int(sum2,w,0,alpha*pi);
p=numeric(p);

Qinv=inv(Q);
M=(floor(pi/w0));
w01=0*w0;
for i=0:N
    e_new(i+1,1)=cos(i*w01)-j*sin(i*w01);
    C(i+1,1)=real(e_new(i+1,1));
    f(1,1)=1;
end;

for k=1:2*M
    test=rem(k,2);
    test1=ceil(k/2);

```

```

for i=0:N
    w01=test1*w0;
    e_new(i+1,k+1)=cos(i*w01)-j*sin(i*w01);
    if test==1
        C(i+1,k+1)=real(e_new(i+1,k+1));
        f(1,k+1)=cos(D*w01);
    elseif test==0
        C(i+1,k+1)=imag(e_new(i+1,k+1));
        f(1,k+1)=-1*sin(D*w01);
    end;
end;
end;

C_new=transpose(C);
f_new=transpose(f);

result1=Qinv*p;
result2=Qinv*C*inv(C_new*Qinv*C);
result3=(C_new*Qinv*p)-f_new;
h=result1-(result2*result3);

figure(1);
[H,W]=freqz(h,1,800);
m=abs(H);
plot(W/pi,m);

b(1)=1-h(1);
a(1)=1-((R^D)*h(1));
for i=2:N+1
    b(i)=-1*h(i);
    a(i)=-1*((R^D)*h(i));
end;

```

```

figure(2);
[H,W]=freqz(b,a,800);
m=abs(H);
plot(W/pi,m,'r');
b(1)=1-(r^D)*h(1);
for i=2:N+1
    b(i)=-1*(r^D)*h(i);
end;
[H,W]=freqz(b,a,800);
m=abs(H);
plot(W/pi,m);axis([-1,1,-0.5,1.5]);
%-----End-----%

```

```

function [S,S_N,b,a]=RootMoments(w0,K);
%Calculate Comb Filter Coefficient by Root Moments
% K=Cancelled Harmonic

R=0.999;
M=floor(pi/w0);
number=length(K);
for m=1:(2*M+1)%Calculate Root Moments of Comb Filter
    S(m,1)=1;
end;
for m=1:(2*M+1)
    for k=2:M+1
        S(m,k)=2*cos(m*(k-1)*w0);
    end;
end;

for m=1:(2*M+1)%Calculate Root Moments of Cancelled harmonic
    S_N(m)=0;

```

```

S_M(m)=0;
for k=1:M+1;
S_N(m)=S_N(m)+S(m,k);
    end;
for k=1:number
    S_M(m)=S_M(m)+S(m,K(k)+1);
end;
S_N(m)=S_N(m)-S_M(m);%Calculate Root Moments of Result Comb Filter
end;
b(1)=1;
a(1)=1;
for m=1:(2*M+1)
    b(m+1)=0;
    for k=1:m
        b(m+1)=b(m+1)-b(k)*S_N(m-k+1);
    end;
    b(m+1)=b(m+1)/m;
    a(m+1)=b(m+1)*R^m;
end;
[m,angH,phdelay]=Fpgrresponse(b,a);
%-----End-----%

```

ก. โปรแกรมการคำนวณสัมประสิทธิ์และฟิลเตอร์ (TMS320C31)

ประกอบไปด้วยโปรแกรม 4 โปรแกรมดังต่อไปนี้

1. โปรแกรม AICCOM31.ASM :ใช้ในการจัดการอินพุต เอาท์พุท อินเทอร์รัพ พอลลิงค์โดย AIC (Analog Interface Circuit)
2. โปรแกรม RMMCAL.ASM: ใช้ในการคำนวณสัมประสิทธิ์โดยโมเมนต์ของรากและสร้างฟิลเตอร์
3. โปรแกรม RMMCOEF.COF : ไฟล์สัมประสิทธิ์ของ RMMCAL.ASM
4. โปรแกรม INV.F.ASM :ใช้ในการหารค่า $\frac{1}{n}$

*AICCOM31.ASM - AIC COMMUNICATION ROUTINES - POLLING OR INTERRUPT

```

        .data                ;assemble into data section
PBASE  .word  808000h        ;peripheral base address
SETSP  .word  0E970300h     ;serial port set-up data
ATABLE .word  AICSEC        ;SP0 AIC init table address

        .text                ;assemble into text section
AICSET  PUSH  AR0            ;save AR0
        PUSH  AR1            ;save AR1
        PUSH  R0             ;save R0
        PUSH  R1             ;save R1
        LDI   @PBASE,AR0    ;AR0 -> 808000h
        LDI   1,R0          ;timer CLK=H1/2*(AIC master CLK)
        STI   R0,*+AR0(28h) ;timer period reg(TCLK0=6.25 MHZ)
        LDI   03C1h,R0     ;init timer global register
        STI   R0,*+AR0(20h) ;reset timer
        LDI   62h,IOF      ;AIC reset = 0
        LDI   @ATABLE,AR1  ;AR1 -> AIC init data
        RPTS  99           ;repeat next instr 100 times
        NOP                    ;keep IOF low for a while
        LDI   111h,R0      ;X & R port control register data
        STI   R0,*+AR0(42h) ;FSX/DX/CLKX=SP operational pins
        STI   R0,*+AR0(43h) ;FSR/DR/CLKR=SP operational pins
        LDI   @SETSP,R0    ;RESET->SP:16 bits,ext clks,std mode
        STI   R0,*+AR0(40h) ;FSX=output&INT enable SP global reg
        LDI   0,R0         ;R0 = 0
        STI   R0,*+AR0(48h) ;clear serial port XMIT register
        OR    06h,IOF      ;bring AIC out of reset
        LDI   02h,RC       ;RC=3 to transmit 4 values
        RPTB  SECEND       ;repeat 4 data transmit of sec com
        CALL  TWAIT        ;wait for data transmit
        LDI   03h,R0       ;value for secondary XMIT request
        STI   R0,*+AR0(48h) ;secondary XMIT request to AIC

```

```

CALL  TWAIT      ;wait for data transmit

LDI   *AR1++(1),R0 ;AR1 -> next AIC init data

SECEND STI  R0,*+AR0(48h) ;DTR = current AIC data

POP   R1        ;restore R1

POP   R0        ;restore R0

POP   AR1       ;restore AR1

POP   AR0       ;restore AR0

RETS                ;return from subroutine

AICSET_I          ;---CONFIG FOR INTERRUPT -----

CALL  AICSET     ;call AICSET routine

LDI   0h,IF      ;clear IF register

OR    10h,IE     ;enable EXINT0 CPU interrupt

OR    2000h,ST   ;global interrupt enable

RETS                ;return from subroutine

;-----TRANSMIT WAIT ROUTINE-----

TWAIT  PUSH  AR0      ;save AR0

      PUSH  R0        ;save R0

      LDI  @PBASE,AR0 ;AR0 -> 0808000h

      TWI  LDI  *+AR0(40h),R0 ;R0=content of SP global control reg

      AND  02h,R0     ;see if transmit buffer is ready

      BZ   TWI       ;if not ready, try again

      POP  R0        ;restore R0

      POP  AR0       ;restore AR0

      RETS                ;return from subroutine

;-----AIC TRANSFER ROUTINE-----

AICIO_I  LDI  R7,R6     ;copy output to modify for AIC

        LSH  2,R6      ;two LSB must=0 for primary AIC comm

IO      PUSH  AR0      ;save AR0

        LDI  @PBASE,AR0 ;AR0 -> 0808000h

        STI  R6,*+AR0(48h) ;DTR = next data for AIC D/A

        LDI  *+AR0(4Ch),R6 ;R6 = DRR data from AIC A/D

        LSH  16,R6     ;left shift for sign extension

```

```

        ASH  -18,R6      ;right shift keeping sign
        POP  AR0        ;restore AR0
        RETS           ;return from subroutine
;-----AIC POLLING ROUTINE-----
AICIO_P CALL  TWAIT     ;wait for data to be transferred
        CALL  AICIO_I    ;call AIC transfer routine
        RETS           ;return from subroutine
SW_IO        PUSH  AR0     ;save AR0
        LDI  @PBASE,AR0  ;AR0 -> 0808000h
        LDI  R7,R6      ;copy output to modify for AIC
        LSH  2,R6      ;prepare for secondary AIC com
        OR   03h,R6     ;set two LSB for secondary com
        CALL  TWAIT     ;wait for data to be transferred
        CALL  IO        ;call AIC transfer routine
        CALL  TWAIT     ;wait for data to be transferred
        STI  R1,*+AR0(48h) ;DTR = next data for AIC control
        POP  AR0        ;restore AR0
        RETS           ;return from subroutine
;SUBROUTINES FOR PRIMARY OR AUXILIARY INPUT
IOPRI        PUSH  R1      ;save R1
        LDI  063h,R1    ;load secondary com data into R1
        CALL  SW_IO     ;call IO routine to switch inputs
        POP  R1        ;restore R1
        RETS           ;return from subroutine
IOAUX        PUSH  R1      ;save R1
        LDI  073h,R1    ;load secondary com data into R1
        CALL  SW_IO     ;call IO routine to switch inputs
        POP  R1        ;restore R1
        RETS           ;return from subroutine

```

*RMMCAL,Calculate Comb filter Coefficient in 4.3,Implement Comb Fiter(Direct Form I)

```

.start ".data",0x809C00 ;starting address for dat
.start ".text",0x809900 ;starting address for text
.include "RMMCOEF.cof"
.include "invf.asm"
.include "aiccom31.asm"
.entry BEGIN
.text
BEGIN      LDP  S_ADDR
           LDI  @S_ADDR,AR0
           LDI  @SN_ADDR,AR1 ;AR1 POINT TO SN
           LDI  0,IR0
CALSN      LDI  ORDER_C,RC ;RC =ORDER_C(COLUMN ORDER)
           RPTB LOOPA
           ADDF3 *AR0++,*AR1,R1
LOOPA      STF  R1,*AR1
           LDF  *++AR1,R1
           ADDI  ADD,IR0
           CMPI  ORDER_R,IR0
           BNZ  CALSN ; LOOP TO CALCULATE S_N
           LDI  @K_ADDR,AR2 ; AR2 POINT TO K_ADDR
           LDI  *AR2,R1
           CMPI  ORDER_R+1,R1
           BZ   CALS_RE ; IF K=ORDER_R1 CALCULATE S_RE
           LDI  @SD_ADDR,AR1
           LDI  0,IR0
           LDI  0,IR1
CALSD      LDI  NUMBER-1,RC
           RPTB LOOPB
           LDI  IR0,R1
           MPYI  ORDER_C+1,IR0
           LDI  IR0,IR1

```

```

LDI R1,IR0
LDI @S_ADDR,AR0 ;Calculate SD
LDF *++AR0(IR1),R1
LDI *AR2++,R1
LDI R1,IR1
ADDF3 *++AR0(IR1),*AR1,R1
LOOPB STF R1,*AR1
LDF *++AR1,R1
ADDI 1,IR0
LDI @K_ADDR,AR2
CMPI ORDER_R,IR0
BNZ CALSD
CALSD LDI @SN_ADDR,AR0 ;Calculate Result Root Moment
LDI @SD_ADDR,AR1
LDI @S_RADDR,AR2
LDI ORDER_R-1,RC
RPTB LOOPC
SUBF3 *AR1++,*AR0++,R1
LOOPC STF R1,*AR2++
LDI @S_RADDR,AR0 ;Calculate b
LDI @B_ADDR,AR1
LDI @A_ADDR,AR2
LDI @Q_MADDR,AR4
LDI @B_ADDR,AR5
LDI @RD_ADDR,AR3
LDI 0,IR0
LDI 1,IR1
LDF Q,R1
STF R1,*AR4
CALB LDF *++AR0(IR0),R1
LDI *AR5++,R1
LDI IR0,RC

```

```

RPTB  LOOPD
MPYF3 *AR0--,*AR1++,R1
LDF  0,R4
SUBF3 R1,R4,R1
ADDF3 R1,*AR5,R1
LOOPD  STF  R1,*AR5
      CMPI 0,IR0
      BZ  CALBM
      LDF  Q,R1
      MPYF3 *AR4,R1,R1
      STF  R1,*AR4
CALBM  ADDI 1,IR0
      ADDI 1,IR1
      LDF  *AR3,R1
      ADDF 1,R1
      STF  R1,*AR3
      LDF  *AR3,R0
      CALL INVFS
      MPYF3 *AR5,R0,R1 ;Calculate b
      STF  R1,*AR1
      MPYF3 *AR1,*AR4,R1 ;Calculate a
      STF  R1,*++AR2
      LDI  @S_RADDR,AR0
      LDI  @B_ADDR,AR1
      CMPI ORDER_R,IR0
      BNZ  CALB ;Calculate Y(z)
      LDI  @K_ADDR,AR2
      LDI  @OR_F,AR4
      LDI  *AR2,IR0
      CMPI ORDER_R+1,IR0
      BNZ  CAL_O
      LDI  0,IR0

```

```

        STI  IR0,*AR4
        BR   CAL_OH
CAL_O   LDI  NUMBER-1,RC
        RPTB LOOPO
        LDI  *AR2++,IR0
        LDI  *AR4,R2
        CMPI 0,IR0
        BNZ  NDC
        ADDI 1,R2
        BR   LOOPO
NDC     ADDI 2,R2
LOOPO   STI  R2,*AR4
CAL_OH  LDI  @RD_ADDR,AR3 ;
        LDI  ORDER_R,IR1
        LDI  *AR4,IR0
        SUBI IR0,IR1
        SUBI 1,IR1
        STI  IR1,*AR3 ;AR3 POINT TO ORDER OF FILTER
        ;LDI @X_ADDR,AR2
        ;LDI @OUT_ADDR,AR4
        CALL AICSET
IIR     LDI  @B_ADDR,AR0 ;AR0 points to coefficients address
        LDI  @DLY_ADDR,AR1 ;AR1 points to addr of delay samples
        LDF  *AR0++,R0
        CALL AICIO_P
        FLOAT R6,R3
        ;LDF *AR2++,R3
        LDF  R3,R2
        LDI  *AR3,R1
        LDI  R1,RC
        RPTB LOOPF
        LDF  *AR1,R4

```

```

        STF  R2,*AR1++
        MPYF3 R4,*AR0++,R0
        ADDF3 R0,R3,R3
LOOPF   LDF  R4,R2
        LDI  @A_ADDR,AR0
        LDF  *AR0++,R0
        LDI  *AR3,R1
        LDI  R1,RC
        RPTB LOOPG
        LDF  *AR1,R4
        STF  R2,*AR1++
        MPYF3 R4,*AR0++,R0
        SUBF3 R0,R3,R3
LOOPG   LDF  R4,R2
        LDI  *AR3,R1
        ADDI 1,R1
        LDI  R1,IR0
        STF  R3,*--AR1(IR0)
        ;STF R3,*AR4++
        FIX  R3,R7
        BR   IIR

```

*RMMCOEF- RMMCAL COEFFICIENT

.data

```

S      .float 1.0000e+000, 1.8818e+000,1.5410e+000 ,1.0181e+000 ,3.7476e-001
      .float -3.1287e-001, -9.6351e-001 ,-1.5002e+000, -1.8596e+000,-1.9990e+000
      .float 1.0000e+000 ,1.5410e+000 ,3.7476e-001,-9.6351e-001,-1.8596e+000
      .float -1.9021e+000, -1.0717e+000 ,2.5067e-001,1.4579e+000 ,1.9961e+000
      .float 1.0000e+000 ,1.0181e+000,-9.6351e-001,-1.9990e+000, -1.0717e+000
      .float 9.0798e-001,1.9961e+000 ,1.1242e+000,-8.5156e-001,-1.9911e+000
      .float 1.0000e+000 ,3.7476e-001,-1.8596e+000,-1.0717e+000 ,1.4579e+000
      .float 1.6180e+000 ,-8.5156e-001,-1.9372e+000 ,1.2558e-001,1.9842e+000
      .float 1.0000e+000, -3.1287e-001,-1.9021e+000 ,9.0798e-001,1.6180e+000
      .float -1.4142e+000 ,-1.1756e+000 ,1.7820e+000 ,6.1803e-001,-1.9754e+000
      .float 1.0000e+000,-9.6351e-001,-1.0717e+000,1.9961e+000,-8.5156e-001
      .float -1.1756e+000,1.9842e+000 ,-7.3625e-001, -1.2748e+000,1.9646e+000
      .float 1.0000e+000,-1.5002e+000 ,2.5067e-001,1.1242e+000,-1.9372e+000
      .float 1.7820e+000 ,-7.3625e-001,-6.7748e-001,1.7526e+000,-1.9518e+000
      .float 1.0000e+000,-1.8596e+000 ,1.4579e+000,-8.5156e-001,1.2558e-001
      .float 6.1803e-001 ,-1.2748e+000 ,1.7526e+000,-1.9842e+000,1.9372e+000
      .float 1.0000e+000,-1.9990e+000 ,1.9961e+000,-1.9911e+000,1.9842e+000
      .float -1.9754e+000 ,1.9646e+000,-1.9518e+000 ,1.9372e+000,-1.9206e+000
      .float 1.0000e+000, -1.9021e+000 ,1.6180e+000, -1.1756e+000 ,6.1803e-001
      .float -4.8998e-015 ,-6.1803e-001,1.1756e+000,-1.6180e+000,1.9021e+000
      .float 1.0000e+000, -1.5803e+000 ,4.9738e-001,7.9430e-001, -1.7526e+000
      .float 1.9754e+000 , -1.3691e+000 ,1.8822e-001,1.0717e+000, -1.8818e+000
      .float 1.0000e+000, -1.0717e+000 ,-8.5156e-001,1.9842e+000, -1.2748e+000
      .float -6.1803e-001 ,1.9372e+000 ,-1.4579e+000,-3.7476e-001,1.8596e+000
      .float 1.0000e+000, -4.3629e-001,-1.8097e+000,1.2258e+000,1.2748e+000
      .float -1.7820e+000, -4.9738e-001 ,1.9990e+000,-3.7476e-001, -1.8355e+000
      .float 1.0000e+000 ,2.5067e-001,-1.9372e+000,-7.3625e-001,1.7526e+000
      .float 1.1756e+000 ,-1.4579e+000,-1.5410e+000,1.0717e+000,1.8097e+000
      .float 1.0000e+000 ,9.0798e-001,-1.1756e+000,-1.9754e+000 ,-6.1803e-001
      .float 1.4142e+000,1.9021e+000 ,3.1287e-001,-1.6180e+000,-1.7820e+000

```

```

.float 1.0000e+000 ,1.4579e+000,1.2558e-001, -1.2748e+000,-1.9842e+000
.float -1.6180e+000,-3.7476e-001,1.0717e+000 , 1.9372e+000,1.7526e+000
.float 1.0000e+000,1.8355e+000 ,1.3691e+000, 6.7748e-001, -1.2558e-001
.float -9.0798e-001,-1.5410e+000,-1.9206e+000, -1.9842e+000, -1.7215e+000
.float 1.0000e+000,1.9961e+000,1.9842e+000, 1.9646e+000,1.9372e+000
.float 1.9021e+000,1.8596e+000,1.8097e+000 ,1.7526e+000 ,1.6887e+000
.float 1.0000e+000 ,1.9206e+000,1.6887e+000 ,1.3226e+000 ,8.5156e-001
.float 3.1287e-001 , -2.5067e-001,-7.9430e-001 , -1.2748e+000 , -1.6542e+000
X .float 1,0,2,1,4,2,0,1,1.5e+0,5.0e-1,2.0e-1,0,1,2.0e-1,4.0e+0
.float 1,5,5.0e-2,1,0,2,1,0,1,1,2,3,4,6,2,0,1,2,1

```

AICSEC.word 162Ch,1h,4892h,63h ;AIC config data, Fs = 8 kHz

```

K .int 20
QM .float 0.0
RD .float 0.0
ORF .int 0
NUMBER .set 5
ORDER_R .set 19;2M+1
ORDER_C .set 9;M
Q .set 9.9900e-001
ADD .set 1
RD_ADDR .word RD
S_ADDR .word S
K_ADDR .word K
SN_ADDR .word SN
SD_ADDR .word SD
S_RADDR .word S_R
B_ADDR .word B
A_ADDR .word A
DLY_ADDR .word DLY
X_ADDR .word X
OUT_ADDR .word OUT
Q_MADDR .word QM

```

```
OR_F .word ORF
      .brstart "SN_BUFF",20
SN    .sect  "SN_BUFF"
      .loop  20
      .float 0.0
      .endloop
      .brstart "SD_BUFF",20
SD    .sect  "SD_BUFF"
      .loop  20
      .float 0.0
      .endloop
      .brstart "S_R_BUFF",20
S_R   .sect  "S_R_BUFF"
      .loop  20
      .float 0.0
      .endloop
      .brstart "B_BUFF",22
B     .sect  "B_BUFF"
      .float 1.000e+000
      .loop  21
      .float 0.0
      .endloop
      .brstart "A_BUFF",22
A     .sect  "A_BUFF"
      .float 1.000e+000
      .loop  21
      .float 0.0
      .endloop
      .brstart "DL_BUFF",50
DLY  .sect  "DL_BUFF"
      .loop  50
      .float 0.0
```

```

        .endloop
        .brstart "OUT_BUFF",10
OUT     .sect  "OUT_BUFF"
        .loop  40
        .float 0.0
        .endloop
;-----End-----;

```

*INVF.ASM – Division Routine , Find 1/n

```

        .text
INVFS: LDF R0,R3
        ABSF R0,R0
        PUSHF R0
        POP R1
        ASH -24,R1
        NEGI R1,R1
        SUBI 1,R1
        ASH 24,R1
        PUSH R1
        POPF R1
        MPYF3 R1,R0,R2
        SUBRF 2.0,R2
        MPYF R2,R1
        MPYF3 R1,R0,R2
        SUBRF 2.0,R2
        MPYF R2,R1
        MPYF3 R1,R0,R2
        SUBRF 2.0,R2
        MPYF R2,R1
        MPYF3 R1,R0,R2
        SUBRF 2.0,R2
        MPYF R2,R1
        MPYF3 R1,R0,R2

```

SUBRF 2.0,R2

MPYF R2,R1

MPYF3 R1,R0,R2

SUBRF 2.0,R2

MPYF R2,R1

RND R1,R1

MPYF3 R1,R0,R2

SUBRF 1.0,R2

MPYF R1,R2

ADDF R2,R1

RND R1,R0

NEGF R0,R2

LDF R3,R3

LDFN R2,R0

RETS

ประวัติผู้เขียน

นางสาวเพ็ญฤดี ตั้งสมรพงษ์ เกิดเมื่อวันที่ 9 พฤศจิกายน 2518 ที่อำเภอนางรอง จ.บุรีรัมย์ จบการศึกษาระดับปริญญาตรีบัณฑิต(วิศวกรรมเทคโนโลยีการวัดคุมทางอุตสาหกรรม) จากสถาบันเทคโนโลยีพระจอมเกล้าเจ้าคุณทหารลาดกระบัง ปีการศึกษา 2540

ปี พ. ศ. 2540-2543 ทำงานในตำแหน่งผู้ปฏิบัติงานสอบเทียบ(ไฟฟ้า) ห้องปฏิบัติการสอบเทียบบริษัทแสงชัยมิเตอร์ จำกัด ปัจจุบันเป็นอาจารย์พิเศษ สถาบันเทคโนโลยีราชมงคล วิทยาเขตพณิชยการพระนคร